МИНИСТЕРСТВО ПРИРОДНЫХ РЕСУРСОВ И ЭКОЛОГИИ РОССИЙСКОЙ ФЕДЕРАЦИИ

ФЕДЕРАЛЬНОЕ АГЕНТСВО ПО НЕДРОПОЛЬЗОВАНИЮ

ФЕДЕРАЛЬНОЕ ГОСУДАРСТВЕННОЕ БЮДЖЕТНОЕ УЧРЕЖДЕНИЕ «ГИДРОСПЕЦГЕОЛОГИЯ»

ФИЛИАЛ «СИБИРСКИЙ РЕГИОНАЛЬНЫЙ ЦЕНТР ГМСН»

ИНФОРМАЦИОННАЯ СВОДКА

О ПРОЯВЛЕНИЯХ ЭКЗОГЕННЫХ ГЕОЛОГИЧЕСКИХ ПРОЦЕССОВ НА ТЕРРИТОРИИ СИБИРСКОГО ФЕДЕРАЛЬНОГО ОКРУГА
ЗА III КВАРТАЛ 2026 Г.

Директор филиала «Сибирский региональный центр ГМСН» Льготин В.А.

Начальник отдела государственного мониторинга за опасными экзогенными геологическими процессами Егоров Б.А.

Москва, 2026

СОДЕРЖАНИЕ

ВВЕДЕНИЕ 3
1. Краткая информация о случаях активизаций экзогенных геологических процессов, зафиксированных в III квартале 2026 г. на территории Сибирского федерального округа 5
1.1. Обзорная характеристика региональных особенностей развития опасных ЭГП на территории Сибирского федерального округа за III квартал 2026 г. 5
1.2. Статистические данные по количеству обследованных проявлений опасных ЭГП по территории Сибирского федерального округа за III квартал 2026 г. 8
1.3. Характеристика наиболее крупных проявлений опасных ЭГП, выявленных на территории Сибирского федерального округа в III квартале 2026 г., образование или активизация которых сопровождались негативными последствиями, в том числе ЧС или значительным ущербом. 13
ЗАКЛЮЧЕНИЕ 16
ПРИЛОЖЕНИЕ 1 Данные об активных проявлениях опасных экзогенных геологических процессов на территории Сибирского федерального округа в III квартале 2026 г. 17
ПРИЛОЖЕНИЕ 2 Фотоматериалы 98

ВВЕДЕНИЕ

Обобщение и анализ информации об активизациях опасных экзогенных геологических процессов (далее – ЭГП) и последствиях их воздействий на населенные пункты и хозяйственные объекты по территории Сибирского федерального округа в III квартале 2026 г. выполнены филиалом ФГБУ «Гидроспецгеология» «Сибирский региональный центр ГМСН» на основании оперативных материалов и информационных сводок, представленных территориальными центрами ГМСН (или организациями, исполняющими функции территориальных центров ГМСН). В свою очередь, территориальные центры ГМСН получают информацию об активизациях опасных ЭГП из следующих источников:

- наблюдения на пунктах государственной опорной наблюдательной сети (далее – ГОНС) государственного мониторинга опасных ЭГП;
- результаты проведения плановых и оперативных инженерно-геологических обследований территорий, подверженных негативному воздействию опасных ЭГП;
- проверенная информация из открытых источников.

Таким образом, в III квартале 2026 г. были проведены наблюдения на 78 пунктах ГОНС в пределах Республики Алтай, Республики Тыва, Республики Хакасия, Красноярского края, Иркутской, Кемеровской области-Кузбасса, Омской и Томской областей. На территории Новосибирской области в III квартале 2026 г. наблюдения не проводились, а по всем участкам привлекались материалы, полученные в результате ведения мониторинга по территориальной программе. На территории Алтайского края наблюдения на пунктах ГОНС в III квартале 2026 г. не проводились.

На территории Республики Алтай, Республики Тыва, Республики Хакасия, Алтайского и Красноярского краев, Иркутской, Кемеровской области-Кузбасса, Новосибирской и Томской областей были проведены плановые инженерно-геологические обследования масштаба 1:50000 участков проявления ЭГП общей протяженностью 56,5 км. Кроме того, на территории Новосибирской области проведено одно оперативное инженерно-геологическое обследование (протяженность маршрута составила 2,0 км), связанное с проседанием грунта в результате техногенной суффозии в г. Новосибирск.

Получена информация об активизации оползневого процесса на уч. а/дороги Р-257 на территории ГО г. Дивногорск Красноярского края по данным СМИ и ГУ МЧС по Красноярскому краю и процесса подтопления в с. Зыково Сосновоборского округа Красноярского края по данным Управления ГО, ЧС и ЕДДС Сосновоборского муниципального округа.

Кроме того, в пределах Байкальской природной территории проводились наблюдения на 25 автоматизированных пунктах, из них 11 находятся на территории СФО (Иркутская область), 13 – на территории ДФО (Республика Бурятия – 15, Забайкальский край – 1). Эти пункты оборудованы автоматизированными телеметрическими измерительными комплексами типа "КЕДР-ДМ Z", производят непрерывные измерения показателей активности опасных ЭГП и передают их через сотовый канал связи на сервер ФГБУ «Гидроспецгеология».

Данные, содержащиеся в сводке и отражающие результаты ведения ГМСН по подсистеме «опасные ЭГП» на территории Сибирского федерального округа, предназначены для информационного обеспечения различных ведомств и организаций, принятия управленческих решений, разработки предложений и рекомендаций, направленных на профилактику, предотвращение и ликвидацию последствий активизации опасных ЭГП.

В текстовой части информационной сводки о проявлениях ЭГП на территории Сибирского федерального округа за III квартал 2026 г. представлено краткое описание случаев активизаций опасных ЭГП, факторов их развития и негативных воздействий на населенные пункты, хозяйственные объекты и объекты инфраструктуры, а также земли различного назначения. В приложении 1 к информационной сводке содержится подробное описание случаев активизаций опасных ЭГП, их административная и координатная привязки, в приложении 2 представлены фотоматериалы.

1. Краткая информация о случаях активизаций экзогенных геологических процессов, зафиксированных в III квартале 2026 г. на территории Сибирского федерального округа

1.1. Обзорная характеристика региональных особенностей развития опасных ЭГП на территории Сибирского федерального округа за III квартал 2026 г.

Наблюдаемые в III квартале 2026 г. на территории СФО проявления ЭГП различных генетических групп в целом характеризовались низким и средним уровнем активности, реже – высокой активностью.

Режим увлажнения в III квартале 2026 г. на территории Республики Алтай был, в основном, недостаточным, либо близким к норме. Температурный режим на территории РА в III квартале 2026 г. повсеместно был близким к норме, либо несколько выше нормы, с незначительными превышениями относительно нормы до +1,5°С.

Сейсмическая активность территории АСР в 2026 г. в сравнении с предыдущим 2025 годом несколько снизилась. В III квартале 2026 г. произошло 5 событий. Подавляющая часть событий в республике приурочена к Чуйской сейсмоактивной зоне в Кош-Агачском и Улаганском районах.

Метеорологические режимообразующие факторы в III квартале 2026 г. способствовали активизации обвального, осыпного, оползневого процессам. Сейсмический фактор в высокогорных районах, наряду с температурным фактором, играл большую роль в активизации оползневых процессов.

Активность оползневого, обвального, осыпного процессов в III квартале 2026 г. в Республике Алтай в целом характеризовалась средним уровнем, соответствующим показателям 2025 г., процесса овражной эрозии – низким уровнем.

На территории Республики Тыва в июле-сентябре 2026 г. по трем метеостанциям количество осадков выпало выше нормы (111-191%), за исключением Кызыла, где в августе осадки выпали ниже нормы (27%), и Эрзина - в сентябре осадки выпали ниже нормы (48%). Лето выдалось жарким. В июле-сентябре среднемесячная температура составила 7,8-22,2°С, что выше нормы на 0,8-2,2°С.

На территории Республики Тыва и у ее границ в последние годы наблюдается повышенная сейсмическая активность. По информации МЧС Республики Тыва всего с 01.07.2026 г. по 01.10.2026 г. зарегистрировано около 12 сейсмических событий с магнитудой 2,2-5,1 с эпицентрами в горных районах. Проявлений ЭГП, связанных с эндогенными процессами, в обжитых районах не наблюдалось.

В III квартале 2026 г. проведены наблюдения на 7 участках развития процесса овражной эрозии и обвального процесса и 1 плановом инженерно-геологическом обследовании. В целом отмечена низкая активность овражной эрозии, обвального и осыпного процессов.

В Республике Хакасия избыточное количество осадков в апреле-мае (142-260 %) и июле (122-282 %), особенно выраженное для Алтае-Саянского региона, привело к региональному повышению УГВ (с. Боград, Боградский район) и незначительной активизации процесса подтопления в пгт. Майна (ГО г. Саяногорск). Однако, количество осадков около и меньше нормы в июне и августе (20-101 %) 2026 г. при повышенном, для данных месяцев, температурном режиме, стабилизировало гидрогеологическую обстановку (в некоторых случаях с понижениями УГВ и уменьшениями площадей и активностей процессов) на остальных наблюдаемых участках, особенно на территории Южно-Минусинского региона.

В III квартале 2026 г. было зафиксировано 5 активных проявлений процесса подтопления на уровне средней активности в с. Боград Боградского района и низкой активности в г. Черногорск, с. Новотроицкое Бейского района, городском округе

г. Саяногорск (пгт. Майна, урочище Ай-Дай). В 2026 г. зафиксировано 3 активных проявлений оползневого процесса. На ПН уч. а/дороги Р-257, Братский мост прирост площади оползневых тел составил 274 м^2, что выше значений 2025 г. (236 м^2). Активность оползневого процесса отмечена на уровне низкой активности.

На территории Алтайского края среднемесячные температуры в июле, августе и сентябре отмечались выше нормы на 1,4-2,3°С. Количество осадков в июле составило 166% от нормы, в августе и сентябре – дефицит осадков (85 и 47% соответственно).

В результате проведения планового инженерно-геологического обследования в окрестностях двух населенных пунктов зафиксирована активизация овражной эрозии и оползневого процесса, обусловленная эрозионной деятельностью талых и дождевых вод.

На территории Красноярского края в III квартале 2026 г. активность наиболее распространенных наблюдаемых процессов – овражная эрозия, оползневой процесс и подтопление остается на уровне и немного выше активности 2025 г.

Процесс подтопления высокого уровня активности в 2026 г. отмечался в г. Минусинске Минусинского округа, с. Богучаны Богучанского округа и п. Интикуль Балахтинско-Новоселовского округа. Средний уровень активности процесса зафиксирован в пгт. Балахта, Балахтинско-Новоселовского округа и п. Абан Абанского округа. По данным СМИ поступила информация о подтоплении грунтовыми водами частного сектора в с. Зыково Сосновоборского округа.

Активность оползневого процесса отмечалась на среднем уровне активности, на ПН Малосырский (Балахтинско-Новоселовский округ) отмечается высокая активность. Зафиксирована активизация оползневого процесса на уч. а/дороги Р-257 ГО г. Дивногорск.

Активность процесса овражной эрозии, суффозионного процесса отмечается на низком уровне, в пределах среднемноголетних значений и на уровне 2025 г. Отмечена активизация обвального процесса на ПН Куртак на уровне средней активности.

Основными факторами активности процесса овражной эрозии и оползневого процесса являются климатические особенности как зимнего, так и весенне-летнего периодов. По данным ФГБУ «Среднесибирское УГМС», в зимний период в большинстве центральных и южных районов края количество осадков составило около и выше нормы (местами 82-329 %). Чередование температурных режимов в марте (положительная аномалия на юге) и апреле (температура около нормы) привело к плавному сходу снега, что обусловило преимущественно низкий уровень активности процесса овражной эрозии на большей части пунктов наблюдений. Вместе с тем, избыточное количество осадков в летнее время года (131-322 % в июле) в центральных и южных районах стал основным фактором масштабной активизации процесса подтопления и оползневого процесса в III квартале 2026 г.

В Иркутской области основным фактором, влияющим на развитие опасных ЭГП, был метеорологический. Величина выпавших осадков в южной части Иркутской области в июле-сентябре 2026 г. изменялась от 35 до 115 мм, составляя 55-118% от нормы. Это способствовало развитию процессов подтопления, овражной эрозии, обвального процесса. Активность вышеперечисленных процессов изменялась от отсутствия до среднего уровня. На о. Ольхон величина выпавших осадков в июле - августе составила 33-55 мм (67-110% от нормы). Эоловые процессы в данных условиях характеризовались средней активностью, оползневой процесс - низкой.

В Кемеровской области-Кузбассе, по данным ФГБУ «Западно-Сибирское УГМС», среднемесячные температуры в III квартале 2026 г. фиксировались около нормы в июле и августе и выше нормы в сентябре на 2-3°С.

Количество осадков, выпавших в III квартале 2026 г., в целом по области, фиксировалось в пределах нормы (90-150% от нормы) и по территории региона распределись не равномерно. В июле в северной и центральной частях Кузбасса количество осадков фиксировалось в пределах 80-120% от нормы, по югу области – выше

нормы (150-350% от нормы). В центральной и южной частях осадки имели ливневый характер. В августе количество выпавших осадков было выше нормы повсеместно (120-160% от нормы), однако максимум сместился с юга в центр. В сентябре количество осадков в центральной и северной частях фиксировались в переделах нормы (85-115% от нормы). По количеству осадков южную часть можно условно разделить на равнинную, где выпало осадков ниже нормы (30-50% от нормы) и горную, где фиксировалось количество осадков в пределах нормы и выше (100-130% от нормы). В центральной и южной-равниной частях основная масса осадков выпала во второй декаде месяца.

Характерной особенностью данного периода стали крайняя неравномерность температурного режима и распределения осадков – длительные сухие и теплые периоды сменялись короткими, но интенсивными ливневыми дождями и резким похолоданием.

По данным Алтае-Саянского филиала Единой геофизической службы РАН, на территории Кемеровской области-Кузбасса по состоянию на 29.09.2026 г. сейсмических событий магнитудой свыше 3,0 произошло: естественной природы – 3, наведенных – 3. Магнитуда сейсмособытий варьировалась от 3,2 до 4,8 балла, интенсивность – от 3,7 до 6,1.

Показатели активности обвального процесса (пгт. Крапивинский), процесса оседания поверхности над горными выработками (г. Ленинск-Кузнецкий), процесса подтопления в гг. Междуреченск, Новокузнецк, Мариинск, Белово, пгт. Яя, с. Борисово в отчетный период соответствовали низкому уровню. Активность осыпного процесса изменялась от высокой на пункте наблюдений Мундыбаш до средней – в пгт. Темиртау (Таштагольский округ). Активность оползневого процесса оценивалась на среднем уровне (ПН уч. а/дороги Бийск – Новокузнецк, 179-188 км, Ерунаково).

В результате проведения плановых инженерно-геологических обследований зафиксированы 2 проявления процесса овражной эрозии, 1 – оползневого процесса и 1 – обвального процесса. Активность процессов преимущественно отмечается на низком уровне.

В Новосибирской области из-за аномально жаркой погоды с недобором выпавших летних осадков (61-128 % нормы, в среднем 89 %) после прохождения максимума на всех объектах наблюдается монотонное снижение уровенной поверхности грунтовых вод. С учётом преобладающей глубины залегания уровней в летне-осенний период 2026 г., уровень активности подтопления был высокий в Татарске, средний - в Бердске, Барабинске, Мошково и низкий – в Новосибирске, Чулыме, Багане, Лебедевке, Чистоозёрном, Коченёво, Купино.

В результате планового инженерно-геологического обследования зафиксирован средний уровень активности обвального процесса вдоль Новосибирского водохранилища с. Боровое Новосибирского района протяженностью 5,88 км. Выявлено 18 активных оврагов длиной от 3 до 42 м. Отступание основных вершин оврагов ориентировочно в год колеблется от 0,3 до 2,9 м при среднем 0,9 м. Процесс характеризуется низкой активностью.

В июле 2026 г. проведено оперативное инженерно-геологическое обследование участка активизации суффозионного процесса, вызванного техногенным фактором, в Ленинском районе города Новосибирска по улице Горская суммарной протяженностью 2 км.

Порыв канализационного коллектора диаметром 1,8 м на глубине 15 м вызвал обрушение грунта. Площадь провала 726 м^2, глубина 15 м. В результате техногенного суффозионного процесса повреждена водопроводная труба длиной 15 м. Авария привела к перебоям в работе коммунальных систем. Временно было отключено водоснабжение и канализация. На момент обследования развитие провала не наблюдалось, произведено укрепление стенок провала железобетонными сваями, велась засыпка пространства между стенкой обвала и сваями грунтом.

В III квартале 2026 г. на территории Омской области средняя температура воздуха была выше нормы на 1,2-4,3°С в июле-сентябре. Количество осадков в июле-сентябре выпало от 89 до 143 % от нормы. Атмосферных аномалий отмечено не было.

Отмечена активизация овражной эрозии на территории муниципального округа Калачинский район, муниципального округа Кормиловский район, муниципального округа Москаленский район, муниципального округа Нижнеомский район, Омского, Русско-Полянского и Черлакского муниципальных районах. Всего из 33 обследованных оврагов активизация процесса овражной эрозии отмечена на 19 оврагах. Активность процесса овражной эрозии на пунктах наблюдений Нижнеомский, Черлакский – низкая, на пунктах наблюдений Калининский, оз. Эбейты – средняя.

В Томской области, по данным Томского ЦГМС, филиала ФГБУ «Западно-Сибирское УГМС», в июле температурный фон отмечался около и выше нормы, в среднем температура составила порядка +20,5°С, что на +1,7°С выше нормы. Количество осадков отмечалось с небольшим превышением от нормы (110-120%), средние значения – около 80 мм. В августе температурный фон на территории Томской области составил порядка +17,5°С, что на +1,7°С выше нормы. Количество осадков выпало преимущественно выше нормы (110-120%), среднее значение по осадкам составило около 75 мм. В сентябре температурный фон на территории Томской области отмечался превышением нормы на 3,3°С, средние значения порядка +12,5°С. Количество осадков составило около 54 мм (выше нормы на 105-110%).

В течении III квартала 2025 г. на территории Томской области была зафиксирована активизация обвального процесса в Колпашевском, Кривошеинском районах и ЗАТО Северск. Активность обвального процесса в среднем характеризуется на среднем уровне. Активность оползневого процесса на территории г. Томска и процесса подтопления территории с. Озёрное Колпашевского района отмечается на низком уровне, активность подтопления в с. Кожевников Кожевниковского района – на среднем уровне.

1.2. Статистические данные по количеству обследованных проявлений опасных ЭГП по территории Сибирского федерального округа за III квартал 2026 г.

Всего на территории Сибирского федерального округа в III квартале 2026 г. было обследовано 335 проявлений ЭГП, в том числе 184 проявлений процесса овражной эрозии, 65 – оползневого процесса, 29 – осыпного процесса, 22 – процесса подтопления, 19 – обвального процесса, 7 – суффозионного процесса, 7 – процессов эоловой аккумуляции и дефляции, 2 – процесса оседания поверхности над горными выработками. 278 проявлений процессов обследованы на пунктах ГОНС, 57 – на участках проведения плановых и оперативных инженерно-геологических обследований. Кроме того, из других источников дополнительно получены сведения об 1-ом проявлении оползневого процесса (СМИ и ГУ МЧС по Красноярскому краю) и 1-ом проявлении процесса подтопления в Красноярском крае (Управление ГО, ЧС и ЕДДС Сосновоборского муниципального округа), 11 проявлениях подтопления в Новосибирской области (территориальная программа).

Из полученной первичной информации о состоянии 348 проявлений опасных ЭГП на территории Сибирского федерального округа было выявлено 273 активных проявлений, в том числе 121 проявлений процесса овражной эрозии, 58 – оползневого процесса, 32 – процесса подтопления, 29 – осыпного процесса, 19 – обвального процесса, 7- процессов эоловой аккумуляции и дефляции, 6 – суффозионного процесса, 1 – процесса оседания поверхности над горными выработками.

В отчетный период фиксировались случаи негативных воздействий ЭГП на различные объекты, всего отмечалось 145 таких случаев. Негативными воздействиями сопровождалась активизация 32 проявлений процесса подтопления, 42 проявлений

процесса овражной эрозии, 26 проявлений оползневого процесса, 26 проявлений осыпного процесса, 9 проявлений обвального процесса, 7 проявлений процессов эоловой аккумуляции и дефляции, 2 проявления суффозионного процесса, 1 проявление процесса оседания над горными выработками.

В зоне негативного воздействия опасных ЭГП оказались населенные пункты (42), линейные сооружения (автодороги общей протяженностью 3,578 км, водопровод 0,015 км), земли сельскохозяйственного назначения (0,023425 км^2 без учета Республики Алтай), земли лесного фонда (0,000695 км^2). Наибольшее количество негативных воздействий отмечалось в Республике Алтай, что связано с разрушающим воздействием оползневого процесса на сельскохозяйственные угодья и обвального и осыпного процессов на а/дороги.

Основные факторы активизации опасных ЭГП – метеорологический, гидрогеологический, техногенный, гидрологический, сейсмический.

Ниже приводится статистические данные активности ЭГП в разрезе субъектов Российской Федерации, входящих в состав Сибирского федерального округа.

Республика Алтай. Всего на территории Республики Алтай в III квартале 2026 г. было обследовано 68 проявлений ЭГП, в том числе 25 проявлений оползневого процесса, 25 – осыпного процесса, 11 – процесса овражной эрозии, 7 – обвального процесса. Из них 53 проявлений обследованы на пунктах ГОНС, 9 – на участках проведения плановых инженерно-геологических обследований.

Из полученной первичной информации о состоянии 68 проявлений опасных ЭГП на территории Республики Алтай было выявлено 62 активных проявлений, в том числе 25 – осыпного процесса, 24 – оползневого процесса, 7 – обвального процесса, 6 – процесса овражной эрозии. Активизация процессов опасных ЭГП отмечалась в 6-ти муниципальных районах (Кош-Агачский, Онгудайский, Турочакский, Улаганский, Усть-Коксинский, Шебалинский).

В отчётном периоде фиксировались случаи негативных воздействий на различные объекты вследствие активизаций опасных ЭГП, всего отмечалось 42 таких случая, в том числе 24 случая осыпного процесса, 13 – оползневого процесса, 4 – обвального процесса, 1 – процесса овражной эрозии.

В результате активизации осыпного процесса пострадали 3 населенных пункта в Онгудайском, Усть-Коксинском, Турочакском районах, 2,107 км автодорог в Кош-Агачском, Онгудайском, Улаганском районах, в том числе 2,09 км дорог с твердым покрытием, 0,017 км – дорог без покрытия. В результате активизации оползневого процесса частично разрушено 0,27 км автодорог в Онгудайском, Улаганском и Кош-Агачском районах, в том числе с твердым покрытием 0,264 км, без покрытия – 0,006 км. В результате активизации обвального процесса пострадали 1 населенный пункт в Усть-Коксинском районе, частично разрушено 0,17 км автодорог с твердым покрытием в Кош-Агачском районе и Онгудайском районах. В результате активизации процесса овражной эрозии частично разрушено 0,005 км автодорог без покрытия в Онгудайском районе.

Данные по количеству земель сельскохозяйственного назначения, подверженных оползневому и осыпному процессу, на данный момент, отсутствуют, материалы в процессе обработки.

Основными факторами активизации стали метеорологический, техногенный, гидрогеологический, сейсмогенный, гидрологический.

Республика Тыва. Всего на территории Республики Тыва в III квартале 2026 г. было обследовано 23 проявления ЭГП, в том числе 18 проявлений процесса овражной эрозии, 3 – обвального процесса, 2- осыпного процесса. Из них 21 проявлений обследованы на пунктах ГОНС, 2 – на участке проведения планового инженерно-геологического обследования.

Из полученной первичной информации о состоянии 23 проявлений опасных ЭГП на территории Республики Тыва было выявлено 18 активных проявлений, в том числе: 13– процесса овражной эрозии, 3 – обвального процесса, 2- осыпного процесса. Активизация опасных ЭГП отмечалась в 6-ти муниципальных районах (Дзун-Хемчикский, Каа-Хемский, Пий-Хемский, Улуг-Хемский, Чеди-Хольский, Сут-Хольский).

В отчетном периоде фиксировались случаи негативных воздействий на различные объекты вследствие активизаций опасных ЭГП, всего отмечалось 6 таких случаев. В результате активизации обвального процесса отмечено негативное влияние в 2-х населенных пунктах Чеди-Хольского и Дзун-Хемчикского районов, процесса овражной эрозии – в 1-ом населенном пункте Чеди-Хольского района, воздействие осыпного процесса – на участке а/дороги без покрытия длиной 0,077 км в Сут-Хольском районе.

Основной фактор активизации – метеорологический.

Республика Хакасия. Всего на территории Республики Хакасия в III квартале 2026 г. было обследовано 14 проявлений ЭГП, в том числе 8 проявлений оползневого процесса и 6 - процесса подтопления. Из них 12 проявлений обследованы на пунктах ГОНС, 2 – на участках проведения плановых инженерно-геологических обследований.

Из полученной первичной информации о состоянии 14 проявлений опасных ЭГП на территории Республики Хакасия было выявлено 8 активных проявлений, в том числе 5 – процесса подтопления и 3 – оползневого процесса. Активизация опасных ЭГП отмечалась в 3-х административных районах (Алтайский, Бейский, Боградский) и 2-х городских округах (г. Саяногорск и г. Черногорск).

В отчетном периоде фиксировались случаи негативных воздействий на различные объекты, вследствие активизаций опасных ЭГП, всего отмечалось 8 таких случаев, в том числе 5 – процесса подтопления и 3 – оползневого процесса.

Негативное влияние процесса подтопления отмечено в 4 населенных пунктах – с. Боград (Боградский район), городской округ г. Саяногорск (пгт. Майна, урочище Ай-Дай), с. Новотроицкое (Бейский район) и г. Черногорск (ГО Черногорск). Негативное влияние оползневого процесса отмечается на участке а/дороги Р-257, 430 км (0,396 км) в Алтайском районе.

Основными факторами активизации остаются метеорологический, техногенный и гидрогеологический.

Алтайский край. Всего на территории Алтайского края в III квартале 2026 г. было обследовано 10 проявлений ЭГП, в том числе 9 проявлений процесса овражной эрозии, 1 – оползневого процесса. Все проявления обследованы на участках проведения плановых инженерно-геологических обследований.

Из полученной первичной информации о состоянии 10 проявлений опасных ЭГП на территории Алтайского края было выявлено 9 активных проявлений, в том числе 8 – процесса овражной эрозии, 1 – оползневого процесса. Активизация опасных ЭГП отмечалась в 1 муниципальном округе (Зональный район) и 1 муниципальном районе (Калманский).

Негативного влияния овражной эрозии не отмечено. Потенциальное воздействие процесса овражной эрозии – разрушение с/х земель.

Основными факторами активизации опасных ЭГП остаются метеорологический.

Красноярский край. Всего на территории Красноярского края в III квартале 2026 г. было обследовано 67 проявлений ЭГП, в том числе 51 проявление процесса овражной эрозии, 6 – суффозионного процесса, 5 – процесса подтопления, 4 – оползневого процесса, 1 – обвального процесса. Из них 65 проявлений обследованы на пунктах ГОНС, 2 – на участках проведения плановых инженерно-геологических обследований. Кроме того, дополнительно получены сведения из других источников: об одном проявлении процесса подтопления (СМИ, ГУ МЧС по Красноярскому краю, ЕДДС Сосновоборского

муниципального округа) и одном проявлении оползневого процесса (СМИ, ГУ МЧС по Красноярскому краю, ЕДДС г. Дивногорска).

Из полученной первичной информации о состоянии 69 проявлений опасных ЭГП на территории Красноярского края было выявлено 44 активных проявлений, в том числе 27 – процесса овражной эрозии, 6 – процесса подтопления, 5 – оползневого процесса, 5 – суффозионного процесса и 1 – обвальный процесс. Активизация опасных ЭГП отмечалась в одном городском округе (г. Дивногорск) и 9 муниципальных округах (Абанский, Балахтинско-Новоселовский, Богучанский, Емельяновский, Идринско-Краснотуранский, Канский, Манско-Уярский, Минусинский, Сосновоборский).

В отчетном периоде фиксировались случаи негативных воздействий на различные объекты, вследствие активизаций опасных ЭГП, всего отмечалось 15 таких случаев, в том числе 7 случаев процесса овражной эрозии, 6 – процесса подтопления, 1 – оползневого процесса, 1 –суффозионного процесса.

Негативное влияние процесса подтопления отмечено в 6 населенных пунктах Абанского, Балахтинско-Новоселовского, Богучанского, Минусинского и Сосновоборского округов. Негативное влияние процесса овражной эрозии и суффозионного процесса зафиксировано на с/х угодьях Идринско-Краснотуранского и Минусинского округов площадью 0,000236 км^2 и 0,000049 км^2 соответственно. В результате активизации оползневого процесса была перекрыта дорога деляпсием на протяжении 0,07 км в городском округе г. Дивногорск.

Основными факторами активизации опасных ЭГП остаются метеорологический, гидрогеологический (наличие водоупорных пород и природные высокие УГВ) и техногенный.

Иркутская область. Всего на территории Иркутской области в III квартале 2026 г. было обследовано 56 проявлений ЭГП, в том числе 37 проявлений овражной эрозии, 8 – оползневого процесса, 7 – процессов эоловой аккумуляции и дефляции, 3 – процесса подтопления, 1 – обвального процесса. Из них 55 проявлений обследованы на пунктах ГОНС, 1 – на участке проведения планового инженерно-геологического обследования.

Из полученной первичной информации о состоянии 56 проявлений опасных ЭГП на территории Иркутской области было выявлено 45 активных проявлений, в том числе 28 – овражной эрозии, 7 – оползневого процесса, 7 – процессов эоловой аккумуляции и дефляции, 2 – процесса подтопления, 1 – обвального процесса. Активизация опасных ЭГП отмечалась в 2-х городских округах (г. Иркутск, г. Черемхово), 1-ом муниципальном округе (Нукутский) и 3-х муниципальных районах (Осинский, Ольхонский, Слюдянский).

В отчетном периоде фиксировались случаи негативных воздействий на различные объекты, вследствие активизаций опасных ЭГП, всего отмечалось 13 таких случаев, в том числе 7 случаев процессов эоловой аккумуляции и дефляции, 4 – овражной эрозии, 2 – процесса подтопления. Негативное воздействие процесса подтопления отмечено в 2-х городских округах, процесса эоловой аккумуляции и дефляции – в 3-х сельских населенных пунктах Ольхонского района. В результате активизации процесса дефляции происходит выдувание плодородного слоя почвы на землях сельскохозяйственного назначения площадью 0,016 км^2 в Ольхонском районе. В результате развития овражной эрозии площадь разрушенных сельскохозяйственных земель составила 0,000074 км^2 (Нукутский округ и Осинский район) и земель лесного фонда 0,000018 км^2 (Слюдянский район).

Основными факторами активизации опасных ЭГП стали метеорологический, техногенный, гидрогеологический и сейсмический.

Кемеровская область-Кузбасс. Всего на территории Кемеровской области-Кузбасса в III квартале 2026 г. было обследовано 32 проявления ЭГП, в том числе 13 –

оползневого процесса, 7 – процесса овражной эрозии, 6 – процесса подтопления, 2 – процесса оседания и обрушения поверхности над горными выработками, 2 – обвального процесса, 2 – осыпного процесса. Из них 23 проявлений обследованы на пунктах ГОНС, 9 – на участках проведения плановых инженерно-геологических обследований.

Из полученной первичной информации о состоянии 32 проявлений опасных ЭГП на территории Кемеровской области-Кузбасса было выявлено 25 активных проявлений, в том числе 12 – оползневого процесса, 6 – процесса подтопления, 2 – процесса овражной эрозии, 2 – обвального процесса, 2 – осыпного процесса, 1 – процесса оседания и обрушения поверхности над горными выработками. Активизация опасных ЭГП отмечалась в 3-х городских округах (г. Белово, г. Кемерово, г. Новокузнецк), 7-ми муниципальных округах (Крапивинский, Ленинск-Кузнецкий, Мариинский, Междуреченский, Новокузнецкий, Таштагольский, Яйский).

В отчетном периоде фиксировались случаи негативных воздействий на различные объекты, вследствие активизаций опасных ЭГП, всего отмечалось 17 таких случаев, в том числе 9 случаев оползневого процесса, 6 – процесса подтопления, 1 – обвального процесса, 1 – процесса оседания и обрушения поверхности над горными выработками.

В результате активизации оползневого процесса разрушаются участки автомобильной дороги регионального значения общей протяженностью 0,483 км и разрушено 0,000149 км^2 земель лесного фонда в Новокузнецком округе. Негативное воздействие процесса подтопления отмечено на территории 6-ти населенных пунктов Крапивинского, Мариинского, Междуреченского, Яйского округов и городских округов г. Белово, г. Новокузнецк. На территории пгт. Крапивинский Крапивинского округа под воздействием обвального процесса произошло обрушение территории приусадебных участков. На территории г. Ленинск-Кузнецкий Ленинск-Кузнецкого округа выявлено негативное воздействие процесса оседания и обрушения поверхности над горными выработками. Основными факторами активизации опасных ЭГП стали метеорологический, гидрогеологический и техногенный.

Новосибирская область. Всего на территории Новосибирской области в III квартале 2026 г. было обследовано 21 проявление ЭГП, в том числе 18 – процесса овражной эрозии, 2 - обвального процесса, 1 – суффозионного процесса. Проявления обследованы на участках планового и оперативного инженерно-геологических обследований. Кроме того, дополнительно получены сведения об 11 проявлениях подтопления в результате ведения мониторинга по территориальной программе.

Из полученной первичной информации о состоянии 32 проявлений опасных ЭГП на территории Новосибирской области было выявлено 32 активных проявлений, в том числе 18 – процесса овражной эрозии, 11 – процесса подтопления, 2 - обвального процесса, 1 – суффозионного процесса. Активизация опасных ЭГП отмечалась в 2-х городских округах (г. Новосибирск, г.Бердск), 1-м муниципальном округе (Татарский) и 10-ти административных районах (Баганский, Барабинский, Искитимский, Коченёвский, Купинский, Мошковский, Ордынский, Чистоозёрный, Чулымский, Новосибирский).

В отчетном периоде фиксировались случаи негативных воздействий на различные объекты, вследствие активизаций опасных ЭГП, всего отмечалось 31 таких случаев, в том числе 17 случаев процесса овражной эрозии, 11 – процесса подтопления, 2 – обвального процесса, 1 –суффозионного процесса.

Негативным воздействиям процесса подтопления подверглись 11 населенных пунктов. Под воздействием обвального процесса разрушены земли лесного фонда и сельскохозяйственного назначения в Новосибирском районе площадью 0,000528 км^2 и 0,00625 км^2 соответственно. В результате активизации овражной эрозии выведено из оборота 0,0001368 км^2 земель сельскохозяйственного назначения в Новосибирском районе. В результате техногенного суффозионного процесса повреждена водопроводная

труба длиной 0,015 км в г. Новосибирске. Основными факторами активизации опасных ЭГП стали метеорологический, гидрогеологический, техногенный.

Омская область. Всего на территории Омской области в III квартале 2026 г. было обследовано 33 проявления ЭГП на пунктах ГОНС, все проявления относятся к процессу овражной эрозии.

Из полученной первичной информации о состоянии 33 проявлений опасных ЭГП на территории Омской области было выявлено 19 активных проявлений, все относятся к процессу овражной эрозии. Активизация процессов опасных ЭГП отмечалась на территории 5-и муниципальных округов (муниципальный округ Исилькульский район, муниципальный округ Калачинский район, муниципальный округ Кормиловский район, муниципальный округ Москаленский район, муниципальный округ Нижнеомский район) и 3-х муниципальных районов (Омский, Русско-Полянский, Черлакский).

В отчетном периоде фиксировались случаи негативных воздействий на различные объекты, вследствие активизаций опасных ЭГП, всего отмечалось 11 таких случаев. В результате активизации процесса овражной эрозии разрушено 0,00068 км^2 земель сельскохозяйственного назначения на территории муниципального округа Калачинский район, муниципального округа Кормиловский район, муниципального округа Нижнеомский район, Омского, Русско-Полянского, Черлакского муниципальных районов. Основной фактор активизации – метеорологический.

Томская область. Всего на территории Томской области в III квартале 2026 г. было обследовано 11 проявлений ЭГП, в том числе 6 – оползневого процесса, 3 – обвального процесса, 2 – подтопления. Из них 10 проявлений обследованы на пунктах ГОНС, 1 – на участке планового инженерно-геологического обследования.

Из полученной первичной информации о состоянии 11 проявлений опасных ЭГП на территории Томской области было выявлено 11 активных проявлений, в том числе 6 – оползневого процесса, 3 – обвального процесса и 2 – процесса подтопления. Активизация опасных ЭГП отмечалась в 2-х городских округах (г. Томск, ЗАТО Северск) и 3-х муниципальных районах (Колпашевский, Кривошеинский, Кожевниковский).

В отчетном периоде фиксировались случаи негативных воздействий на различные объекты, вследствие активизаций опасных ЭГП, всего отмечалось 2 таких случая, все случаи относятся к процессу подтопления. Негативному воздействию процесса подтопления подверглись 2 населенных пункта Колпашевского и Кожевниковского районов.

Основными факторами активизации опасных ЭГП стали метеорологический и гидрологический, гидрогеологический.

1.3. Характеристика наиболее крупных проявлений опасных ЭГП, выявленных на территории Сибирского федерального округа в III квартале 2026 г., образование или активизация которых сопровождались негативными последствиями, в том числе ЧС или значительным ущербом.

Наиболее крупным проявлением опасных ЭГП в III квартале 2026 г. на территории Красноярского края является подтопление п. Интикуль Балахтинско-Новосёловского округа

Процесс связан с гидрогеологическими изменениями в условиях Чебаково-Балахтинской котловины, где расположен посёлок, частично находящийся на уровне и ниже зеркала оз. Интиколь.

По данным администрации Балахтинско-Новоселовского муниципального округа активизация процесса подтопления началась 28 августа 2025 г. и по состоянию на 30 сентября 2026 г. не завершилась.

Современная активность проявления выражается в устойчивом повышении уровня грунтовых вод, подтоплении 6 жилых домов (вода выше уровня пола), подполий жилых домов (88 подполья в 52 домах) и приусадебных участков (13 участков), а также нарушении функционирования детского сада (уровень воды внутри здания на 0,5 м выше уровня пола) и дома культуры.

Основными факторами активизации подтопления являются метеорологический – обильные атмосферные осадки в сентябре и ноябре 2025 г., гидрогеологический – подъем уровня грунтовых вод и гидрологический – многолетнее повышение уровня воды в оз. Интиколь.

Процесс подтопления находится на стадии активного (прогрессирующего) развития и носит площадной, постоянный и природно-техногенный характер. Литологический состав в пределах зоны проявления представлен палеозойскими породами – песчаниками, алевролитами, конгломератами с прослоями каменного угля, перекрытыми пролювиально-делювиальными и элювиальными щебнистыми суглинками и глинами мощностью 0,5-5 м. Условия развития ЭГП определяются сочетанием низменного рельефа, роста уровня воды в оз. Интиколь и отсутствием системы дренажа.

Заключением Службы строительного надзора и жилищного контроля Красноярского края № 1/26 от 21.01.2026 г. установлено нарушение условий жизнедеятельности 103 человек, проживающих в 88 квартирах (имеются трещины в печи жилого дома, деформация, гниение полов, грибок на конструктивных элементах пола, подтопление подполий варьируется от 0,2 м до 2,0 м, что в свою очередь приводит к нарушению параметров микроклимата жилого помещения, не позволяющему обеспечить соблюдение необходимых санитарно-эпидемиологических требований и гигиенических нормативов в части веществ, качества атмосферного воздуха. В результате подтопления происходит разрушение фундамента, несущих и ограждающих конструкций жилых домов.

Постановлением администрации Балахтинско-Новоселовского муниципального округа от 29.01.2026 № 136-п на территории населенного пункта введен режим функционирования «чрезвычайная ситуация», в связи с нарушением жизнедеятельности населения из-за подъема уровня грунтовых вод, в населенном пункте Интикуль. Постановлением администрации Балахтинско-Новоселовского муниципального округа от 02.02.2026 № 160-п на территории посёлка Интикуль отменен режим функционирования «чрезвычайная ситуация» и введен режим функционирования «повышенная готовность» (продолжает действовать по состоянию на 23.06.2026 г.).

Наиболее крупным проявлением опасных ЭГП в III квартале 2026 г. на территории Новосибирской области является подтопление г. Татарска, расположенного на территории Барабинской аккумулятивной равнины. Процесс подтопления здесь обусловлен весьма низкими фильтрационными свойствами пород чановской свиты, представленных илистыми суглинками, сплошным чехлом покрывающими водоупорный горизонт павлодарских глин; общим региональным подъём уровней грунтовых вод; затруднённым поверхностным стоком талых и дождевых вод с застроенной территории, обусловленным почти плоским рельефом.

Основными природными факторами активизации процесса подтопления являются метеорологический и гидрогеологический.

Триггерным техногенным фактором активизации процесса подтопления является отсутствие соответствующей вертикальной планировки при строительстве систем дренажа и ливневой канализации, которые часто выполнены без выдержанных уклонов в сторону водосборника, изолированы от него. Кроме того, значительное влияние оказывают: насыпи существующих автодорог, железнодорожных магистралей,

препятствующие поверхностному стоку; засыпка естественных водоёмов, служивших местом сбора поверхностных вод с окружающей территории; утечка воды из водонесущих коммуникаций, канализационных ям; поливные воды зелёных насаждений и приусадебных участков.

На территории г. Татарска с начала наблюдений (1983 г.) прослеживается тенденция многолетнего повышения уровней грунтовых вод с коэффициентами относительного положения уровней λ=0,7-1, в том числе в 2026 г. λ=0,8. На конец сентября уровни продолжали залегать на глубине до 1 м.

Общая площадь подтопляемой территории г. Татарска с глубиной залегания уровней до 1 м составляет 17,3 км^2. В зоне подтопления расположены объекты промышленного производства (железнодорожная станция, элеватор, пищекомбинат), территории селитебных зон. В подтопленном состоянии находится большая часть водопроводящих коммуникаций, проложенных на глубине 2-3 м. Происходит переувлажнение пониженных мест, заболачивание межгривных понижений, засоление грунтов корнеобитаемого слоя.

Водоотвод осуществляется открытым способом по следующим дренажным каналам:

- «Мохнаткин» канал глубиной около 2 м берёт начало из озёр, расположенных у ЮЗ окраины города, пересекает весь город с юга на север, собирая сточные воды придорожных канав - по улице 30 лет ВЛКСМ, вдоль железной дороги, через неё к переулку Озёрный, далее по переулку Комсомольский и далее озеро Новотроицкое;

- второй канал (обводной) отводит воды из озёр, расположенных у западной окраины, огибает территорию города с западной и СЗ стороны и севернее и южнее Татарского урочища соединяется с «Мохнаткиным» каналом;

- в южной части города – канал от элеватора до озера Бурково.

В летне-осенний период 2026 г. придорожные кюветы и магистральные каналы переполнены. Движение воды в сторону водосборников отсутствуют.

Чрезвычайных ситуаций, вызванных проявлениями ЭГП, на территории области не отмечено.

ЗАКЛЮЧЕНИЕ

Всего на территории Сибирского федерального округа в III квартале 2026 г. 273 активных проявлений, в том числе 121 проявлений процесса овражной эрозии, 58 – оползневого процесса, 32 – процесса подтопления, 29 – осыпного процесса, 19 – обвального процесса, 7- процессов эоловой аккумуляции и дефляции, 6 – суффозионного процесса, 1 – процесса оседания поверхности над горными выработками.

В отчетный период фиксировались случаи негативных воздействий ЭГП на различные объекты, всего отмечалось 145 таких случаев. Негативными воздействиями сопровождалась активизация 32 проявлений процесса подтопления, 42 проявлений процесса овражной эрозии, 26 проявлений оползневого процесса, 26 проявлений осыпного процесса, 9 проявлений обвального процесса, 7 проявлений процессов эоловой аккумуляции и дефляции, 2 проявления суффозионного процесса, 1 проявление процесса оседания над горными выработками.

В зоне негативного воздействия опасных ЭГП оказались населенные пункты (42), линейные сооружения (автодороги общей протяженностью 3,578 км, водопровод 0,015 км), земли сельскохозяйственного назначения (0,023425 км^2 без учета Республики Алтай), земли лесного фонда (0,000695 км^2). Наибольшее количество негативных воздействий отмечалось в Республике Алтай, что связано с разрушающим воздействием оползневого процесса на сельскохозяйственные угодья и обвального и осыпного процессов на а/дороги.

Основные факторы активизации опасных ЭГП – метеорологический, гидрогеологический, техногенный, гидрологический, сейсмический.

ПРИЛОЖЕНИЕ 1

Данные об активных проявлениях опасных экзогенных геологических процессов на территории Сибирского федерального округа в III квартале 2026 г.

№ проявления	Федеральный округ Российской Федерации	Субъект Российской Федерации	Административная привязка	Координаты (ГСК-2011)		Период активизации ЭГП		Генетический тип ЭГП	Основные факторы активизации ЭГП	Негативные воздействия ЭГП	Характеристика активного проявления/случая активизации опасного ЭГП	Фотоматериалы	Примечание
				широта	долгота	начало	окончание						
1	2	3	4	5	6	7	8	9	10	11	12	13	14
04-11-00014	Сибирский	Республика Алтай	Кош-Агачский район, в 9,2 км ЮЗ с. Бельтир	49,95636	88,07309	00.05.2026	00.09.2026	Оп	Атм., сейсм.	Не отмечались	В 9,2 км ЮЗ с. Бельтир Кош-Агачского района (пункт наблюдений Арка-Узук) с мая 2026 г. отмечена активизация оползневого процесса на крупном сейсмогенном оползне блокового типа. Отступание надоползневого уступа 0,5-2,0 м, в уступе многолетнемерзлые породы, блоки отпора, оплывины, поваленные деревья. Параметры оползня: длина 1145 м, ширина 569,7 м, площадь 652259 м2. Негативное воздействие: отсутствует. Литологический состав: валунно-галечный материал с супесчаным заполнителем (ледник. комплекс); суглинки туерыкской свиты. Факторы активизации: температурный режим, сейсмические события.		–
04-11-00016	Сибирский	Республика Алтай	Кош-Агачский район, в 4,5 км С. Ортолык	50,11976	88,37653	00.05.2026	00.09.2026	Оп	Атм., сейсм.	Не отмечались	В 4,5 км С с. Ортолык Кош-Агачского района (пункт наблюдений Чуйский) отмечена активизация оползневого процесса на оползне II порядка № 2А. Оползень покровный, фронтального типа. Визуальные признаки активности – трещины сдвига и растяжения свежего облика выше надоползневого уступа глубиной до 1,0 м с опусканием до 0,5 м, уступы по трещинам высотой до 1,0 м. Негативное воздействие: отсутствует. Литологический состав: супеси и суглинки с включением гравия и мелкой гальки. Факторы активизации: температурный режим, сейсмичность территории.		–
04-11-00020	Сибирский	Республика Алтай	Кош-Агачский район, в 1,8 км С с. Чаган-Узун	50,11964	88,37623	00.05.2026	00.09.2026	Оп	Атм., гидрогеол. сейсм.	Отмечались	В 1,8 км С с. Чаган-Узун Кош-Агачского района (пункт наблюдений Чуйский) отмечена активизация оползневого процесса на оползне № 30. Оползень расширился вверх по склону, выше надоползневого уступа развита новая зона оползания по трещинам растяжения и сдвига, образован второй язык. Параметры оползня: длина 482 м, ширина 52,68 м, площадь 25393 м^2. Негативное воздействие: разрушение земель с/х назначения на площади 324 м^2. Литологический состав: супеси и суглинки с включением гравия и мелкой гальки. Факторы активизации: температурный режим, выходы грунтовых вод, сейсмичность территории.		–
04-11-00021	Сибирский	Республика Алтай	Кош-Агачский район, в 2,15 км СЗ с. Чаган-Узун	50,12044	88,38221	00.05.2026	00.09.2026	Оп	Атм., гидрогеол. сейсм.	Отмечались	В 2,15 км СЗ с. Чаган-Узун Кош-Агачского района (пункт наблюдений Чуйский) отмечена активизация оползневого процесса на оползне № 34. Блоки отпора, трещины сдвига глубиной до 0,5 м, обводненность в транзите и языке. Параметры оползня: длина 308 м, ширина 41,57 м, площадь 12803 м^2. Негативное воздействие: разрушение земель с/х назначения на площади 579 м^2.		–

1	2	3	4	5	6	7	8	9	10	11	12	13	14
											Литологический состав: супеси и суглинки с включением гравия и мелкой гальки. Факторы активизации: температурный режим, выходы грунтовых вод, сейсмичность территории.		
04-11-00040	Сибирский	Республика Алтай	Кош-Агачский район, в 5,17 км С с. Ортолык	50,08678	88,49239	00.05.2026	00.09.2026	Оп	Атм., сейсм.	Не отмечались	В 5,17 км С с. Ортолык Кош-Агачского района (пункт наблюдений Чуйский) отмечена активизация оползневого процесса на оползне № 109. Высота надоползневого уступа составляет от 1,5-3 м на флангах до 8-12 м в вершине оползня, высота фронтального вала языка до 5 м. Уменьшение площади обусловлено частичным захватом массива оползнем № 112. Визуальные признаки активности – свежие трещины растяжения – сдвига глубиной 0,3-1,0 м, шириной до 0,2-0,3 м по границам оползня и на внутренних блоках. Негативное воздействие отсутствует. Литологический состав: супеси и суглинки рыже-коричневые с включением гравия и гальки. Факторы активизации: температурный режим, сейсмичность территории.		–
04-11-00043	Сибирский	Республика Алтай	Кош-Агачский район, в 5,29 км С с. Ортолык	50,08684	88,49136	00.05.2026	00.09.2026	Оп	Атм., сейсм.	Отмечались	В 5,29 км С с. Ортолык Кош-Агачского района (пункт наблюдений Чуйский) отмечена активизация оползневого процесса на оползне № 112. Высота вертикальной части надоползневого уступа 1,5-3,0 м, общая высота до 4-5 м. Признаки активности – комплекс трещин растяжения и валов выдавливания в зоне надоползневого уступа, развитие и расширение языка по правому флангу оползня в виде валов выдавливания Негативное воздействие: разрушение земель с/х назначения. Литологический состав: супеси и суглинки рыже-коричневые с включением гравия и гальки. Факторы активизации: температурный режим, сейсмичность территории.		–
04-11-00047	Сибирский	Республика Алтай	Кош-Агачский район, в 1,86 км СЗ с. Чаган-Узун	50,11770	88,38568	00.05.2026	00.09.2026	Оп	Атм., сейсм.	Отмечались	В 1,86 км СВ с. Чаган-Узун Кош-Агачского района (пункт наблюдений Чуйский) отмечена активизация оползневого процесса на крупном оползне № 115. Оползень сложный по конфигурации в плане, надоползневый уступ ступенеобразный, с 2-мя вершинами, язык оползня имеет 2 боковых ответвления по правому флангу. Высота надоползневого уступа варьирует от 3-8 м до 15 м, высота боковых уступов – до 2,8-3,2 м. Высота боковых и фронтальных уступов языка – 3-7 м. Ширина оползня варьирует в пределах 28-147 м. Отмечено повышенное увлажнение пород в зоне транзита с пятнами переувлажненных грунтов. Признаки активности – свежие трещины сдвига в транзитном лотке, зеркала скольжения в бортах транзита, трещины сдвига с выдавливанием валов на языке оползня. Негативное воздействие: разрушение земель с/х назначения. Литологический состав: супеси и суглинки с включением гравия, мелкой гальки, углистого вещества. Факторы активизации: температурный режим, сейсмичность территории.		–

1	2	3	4	5	6	7	8	9	10	11	12	13	14
04-11-00048	Сибирский	Республика Алтай	Кош-Агачский район, в 1,9 км С. Чаган-Узун	50,11970	88,37024	00.05.2026	00.09.2026	Оп	Атм., сейсм.	Отмечались	В 1,9 км С с. Чаган-Узун Кош-Агачского района (пункт наблюдений Чуйский) отмечена активизация оползневого процесса на оползне 2-го порядка № 116. Высота уступа в вершине 5 м, фронтальный вал языка наезжает на лиственницы. Параметры оползня: длина 38 м, ширина 14-22 м, площадь 601 м^2. Негативное воздействие: разрушение земель с/х назначения на площади 12 м^2. Литологический состав: супеси и суглинки с включением углистого вещества. Факторы активизации: температурный режим, сейсмичность территории.		–
04-11-00023	Сибирский	Республика Алтай	Кош-Агачский район, в 3,55 км Ю с. Чаган-Узун	50,06715	88,36534	00.05.2026	00.09.2026	Оп	Атм., сейсм.	Не отмечались	В 3,55 км Ю с. Чаган-Узун Кош-Агачского района (пункт наблюдений Чаган-Узун) отмечена активизация оползневого процесса на оползне № 55. Визуальные признаки активности: трещины растяжения и сдвига в вершине оползня и на флангах глубиной до 1,0-1,2 м, шириной до 0,7 м, с опусканием до 0,4-0,7 м. По левому флангу крупный аструктурный блок, образованный в 2025 г., где надоползневый уступ достигает высоты в вертикальной части 2,2-2,7 м, общей высоты 5 м, оперяющие трещины глубиной до 1,9 м с опусканием до 0,4 м, шириной до 0,5 м. В подошве уступа влажные грунты. Параметры оползня: длина 116 м, макс. ширина 92,84 м, площадь 10770 м^2. Негативное воздействие: отсутствует. Литологический состав: супеси и суглинки с включением гравия и мелкой гальки. Факторы активизации: температурный режим, сейсмичность территории.		–
04-11-00024	Сибирский	Республика Алтай	Кош-Агачский район, в 3,58 км Ю с. Чаган-Узун	50,06621	88,35876	00.05.2026	00.09.2026	Оп	Атм., сейсм.	Не отмечались	В 3,58 км Ю с. Чаган-Узун Кош-Агачского района (пункт наблюдений Чаган-Узун) отмечена активизация оползневого процесса на оползне № 71. Высота надоползневого уступа 1,1-1,9 м, отступание по замерам марок 0,13-1,6 м. Параметры оползня: длина 304 м, ширина 56,39 м, площадь 17143 м^2. Негативное воздействие: отсутствует. Литологический состав: супеси и суглинки с включением гравия, мелкой гальки и углистого вещества. Факторы активизации: температурный режим, сейсмичность территории.		–
04-11-00037	Сибирский	Республика Алтай	Кош-Агачский район, в 3,18 км Ю с. Чаган-Узун	50,07045	88,36701	00.05.2026	00.09.2026	Оп	Атм., сейсм.	Не отмечались	В 3,18 км Ю с. Чаган-Узун Кош-Агачского района (пункт наблюдений Чаган-Узун) отмечена активизация оползневого процесса на оползне № 106. Смещение марок составило 0,1-1,54 м. Параметры оползня: длина 292 м, ширина 61 м, площадь 14269 м^2. Негативное воздействие отсутствует. Литологический состав: супеси и суглинки с включением гравия и мелкой гальки. Факторы активизации: температурный режим, сейсмичность территории.		–

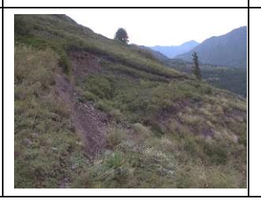
1	2	3	4	5	6	7	8	9	10	11	12	13	14
04-11-00044	Сибирский	Республика Алтай	Кош-Агачский район, в 4,02 км Ю с. Чаган-Узун	50,06457	88,35753	00.05.2026	00.09.2026	Оп	Атм., сейсм.	Не отмечались	В 4,02 км Ю с. Чаган-Узун Кош-Агачского района (пункт наблюдений Чаган-Узун) отмечена активизация оползневого процесса на оползне № 113. Отступание в вершине оползня 0,04-1,0 м по замерам марок. Параметры оползня: длина 265 м, ширина 49-78 м, в среднем 63,02 м, площадь 16700 м^2. Негативное воздействие: отсутствует. Литологический состав: супеси и суглинки с включением гравия и мелкой гальки. Факторы активизации: температурный режим, сейсмичность территории.		–
04-11-00067	Сибирский	Республика Алтай	Кош-Агачский район, в 5,1 км ЮЗ с. Бельтир	49,93440	88,14118	00.05.2026	00.09.2026	Оп	Атм., сейсм.	Отмечались	В 5,1 км ЮЗ с. Бельтир Кош-Агачского района (пункт наблюдений Чаган) отмечается активизация оползневого процесса в правом борту р. Чаган на оползне № 121. Базис оползня – днище долины реки. Параметры оползня: длина 972 м, ширина 73-352 м, средняя – 172,52 м, высота вертикальной части уступа – до 15 м, площадь 168383 м^2. Негативное воздействие: разрушение земель с/х назначения около 12995 м^2. Литологический состав: гравийно-галечные отложения с супесчаным заполнителем, с валунами. Факторы активизации: температурный режим, сейсмичность.		–
04-11-00022	Сибирский	Республика Алтай	Кош-Агачский район, в 0,17 км СВ с. Чаган-Узун	50,10656	88,36936	00.05.2026	00.09.2026	Оп	Атм., гидрогеол., сейсм.	Не отмечались	В 0,18 км СВ с. Чаган-Узун Кош-Агачского района (пункт наблюдений Чуйский тракт) отмечена активизация оползневого процесса на древнем оползне № 35. Визуальные признаки активности в зоне транзита – трещины сдвига глубиной до 1,1 м, шириной до 0,7 м и уступы высотой до 1,5-2,0 м. Параметры оползня: длина 699 м, ширина 131-332 м, в среднем 207,2 м, площадь 144833 м^2. В границах оползня развивается оползень II порядка № 35-1. Негативное воздействие отсутствует. Литологический состав: многолетнемерзлые супеси и суглинки с включением гравия и углистого вещества. Факторы активизации: температурный режим, выходы грунтовых вод, сейсмичность территории.	–	–
04-11-00049	Сибирский	Республика Алтай	Кош-Агачский район, в 0,17 км СВ с. Чаган-Узун	50,10512	88,36868	00.05.2026	00.09.2026	Оп	Атм., гидрогеол., сейсм.	Отмечались	В 0,17 км СВ с. Чаган-Узун Кош-Агачского района (пункт наблюдений Чуйский тракт) отмечена активизация оползневого процесса на оползне 2-го порядка № 35-1. Выше оползня серия трещин растяжения с сдвига дугообразной формы. Параметры оползня: длина 234 м, средняя ширина 87,97 м, стенка отрыва высотой до 5-7 м, площадь 20584 м^2. Негативное воздействие: разрушение земель с/х назначения на площади 0,00047 км^2. В зоне возможного воздействия: уч. а/дороги Р-256 на отрезке 150 м. Литологический состав: многолетнемерзлые супеси и суглинки с включением гравия и углистого вещества. Факторы активизации: температурный режим, выходы грунтовых вод, сейсмичность территории.		–

1	2	3	4	5	6	7	8	9	10	11	12	13	14
04-11-00050	Сибирский	Республика Алтай	Кош-Агачский район, в 0,17 км СВ с. Чаган-Узун	50,10354	88,37297	00.05.2026	00.09.2026	Оп	Атм., гидрогеол., сейсм.	Отмечались	В 0,17 км СВ с. Чаган-Узун Кош-Агачского района (пункт наблюдений Чуйский тракт) отмечена активизация оползневого процесса на оползне 2-го порядка № 36-1. В подошве уступа – влажные породы, озерко. Визуальные признаки активности: трещины растяжения и сдвига в границах оползня высотой до 0,65-1,4 м, шириной 0,1-0,45 м. Параметры оползня: длина 267 м, ширина до 109 м, в среднем 40,82 м, стенка отрыва высотой до 4 м, площадь 10898 м^2. Негативное воздействие: разрушение земель с/х назначения на площади 76 м^2. В зоне возможного воздействия: уч. а/дороги Р-256 на отрезке 95 м. Литологический состав: многолетнемерзлые супеси и суглинки с включением гравия и углистого вещества. Факторы активизации: температурный режим, выходы грунтовых вод, сейсмичность территории.		–
04-11-00051	Сибирский	Республика Алтай	Кош-Агачский район, в 0,3 км СВ с. Чаган-Узун	50,10780	88,36601	00.05.2026	00.09.2026	Оп	Атм., сейсм.	Отмечались	В 0,3 км СВ с. Чаган-Узун Кош-Агачского района (пункт наблюдений Чуйский тракт) отмечена активизация оползневого процесса на оползне № 97. Расширение в зоне надоползневого уступа и языка оползня. Параметры оползня: длина 219 м, ширина до 150 м, средняя – 100,32 м, площадь 22190 м^2. Негативное воздействие: разрушение земель с/х назначения на площади 242 м^2. В зоне возможного воздействия: уч. а/дороги Р-256 на отрезке 75 м. Литологический состав: супеси и суглинки с включением гравия и углистого вещества. Факторы активизации: температурный режим, сейсмичность территории.		–
04-11-00059	Сибирский	Республика Алтай	Кош-Агачский район, в 10 км ЮЗ с. Чаган-Узун	50,04292	88,25646	00.05.2026	00.09.2026	Оп	Атм., сейсм.	Отмечались	В 10 км ЮЗ с. Чаган-Узун Кош-Агачского района (пункт наблюдений Кызыл-Чин) отмечается активизация оползневого процесса на оползне № 118. Язык частично перекрывает русло р. Кызыл-Чин и размывается рекой. Параметры оползня: длина 420 м, ширина 44-184 м, средняя – 91,31 м, высота надоползневого уступа – до 15 м, высота языка 6-10 м, площадь 38354 м^2. Негативное воздействие: разрушение земель с/х назначения на площади 490 м^2. Литологический состав: супеси и суглинки с включением гравия и углистого вещества. Факторы активизации: температурный режим, сейсмичность территории.		–
04-22-00002	Сибирский	Республика Алтай	Кош-Агачский район, уч. а/дороги Кош-Агач – Джазатор, 99,72 км	49,64227	87,92759	00.05.2026	00.09.2026	Эо	Атм., техн.	Не отмечались	В Кош-Агачском районе на уч. а/дороги Кош-Агач – Джазатор, 99,72 км (пункт наблюдений Джазаторская трасса) отмечена активизация процесса овражной эрозии на овраге № 1. Вершина оврага в откосах дорожного полотна на участке водовыпуска. Параметры оврага: длина 62 м, ширина 5-19 м, площадь 445 м^2. Признаки активизации: обнаженные уступы, следы обрушения уступов в вершине оврага. Негативное воздействие отсутствует. Литологический состав: валунно-галечный материал с супесчаным заполнителем. Факторы активизации: режим увлажнения, техногенный фактор		–

1	2	3	4	5	6	7	8	9	10	11	12	13	14
											(водовыпуск).		
04-12-00017	Сибирский	Республика Алтай	Кош-Агачский район, уч. а/дороги Кош-Агач – Джазатор, 101,2-101,33 км	49,63688	87,90767	00.05.2026	00.09.2026	Ос	Атм., гидрол.	Не отмечались	В Кош-Агачском районе на уч. а/дороги Кош-Агач – Джазатор, 101,2-101,33 км (пункт наблюдений Джазаторская трасса) отмечена активизация осыпного процесса в уступе высокой террасы р. Жасатер, высота уступов 10 м. Бровка уступа в 0,2-2,0 м от отбойников. Параметры проявления: длина 180 м, средняя ширина 0,1 м, площадь 18 м^2. Негативное воздействие: отсутствует. Литологический состав: валунно-галечный материал с супесчаным заполнителем. Факторы активизации: режим увлажнения, гидрологический режим р. Жасатер.		–
04-22-00010	Сибирский	Республика Алтай	Кош-Агачский район, уч. а/дороги Кош-Агач – Джазатор, 118,0 км	49,64794	87,69308	00.05.2026	00.09.2026	Эо	Атм., техн.	Не отмечались	В Кош-Агачском районе на уч. а/дороги Кош-Агач – Джазатор, 118,0 км (пункт наблюдений Джазаторская трасса) отмечена активизация процесса овражной эрозии на овраге № 2. Вершина оврага в 3,8 м от дороги. Параметры оврага: длина 18,3 м, ширина 4-12 м, обнаженные песчаные уступы высотой до 3,3 м, площадь 189 м^2. Негативное воздействие отсутствует. Литологический состав: валунно-галечный материал с мощными прослоями песков, супесей. Факторы активизации: режим увлажнения, техногенный фактор.		–
04-11-00064	Сибирский	Республика Алтай	Кош-Агачский район, уч. а/дороги Кош-Агач – Джазатор, 135,41 км	49,69350	87,49420	00.05.2026	00.09.2026	Оп	Техн., гидрогеол., атм.	Отмечались	В Кош-Агачском районе, на уч. а/дороги Кош-Агач – Джазатор, 135,41 км (пункт наблюдений Джазаторская трасса) отмечена активизация оползневого процесса. Стенка отрыва высотой 2,0-5,0 м, вершина оползня достигает откосов дороги, трещины сдвига глубиной 0,3-1,2 м. Параметры оползня: длина 60 м, ширина 20-44 м, в среднем 31,85 м, площадь оползня 1911 м^2. Негативное воздействие: разрушен уч. а/дороги длиной 6 м. Литологический состав: валунно-галечный материал с супесчаным заполнителем. Факторы активизации: техногенный (эксплуатация дороги), гидрогеологический (пластовый выход подземных вод), режим увлажнения.		–
04-12-00018	Сибирский	Республика Алтай	Кош-Агачский район, уч. а/дороги Кош-Агач – Джазатор, 136,6-136,8 км	49,69160	87,47840	00.05.2026	00.09.2026	Ос	Атм., техн., гидрол.	Отмечались	В Кош-Агачском районе на уч. а/дороги Кош-Агач – Джазатор, 136,6-136,8 км (пункт наблюдений Джазаторская трасса) отмечена активизация осыпного процесса в уступе высокой террасы в излучине р. Жасатер. Высота уступов 7-15 м. Обнаженные уступы, трещины отпора, рытвины на бровке уступов, осыпные шлейфы в подножии. Параметры проявления: длина 280 м, средняя ширина 0,1 м, площадь оползня 28 м^2. Негативное воздействие: на уч. а/дорога длиной 12 м частичное разрушение откосов а/дороги. Литологический состав: валунно-галечный материал с песчаным заполнителем, с прослоями песков. Факторы активизации: режим увлажнения, техногенный (эксплуатация а/дороги), гидрологический режим р. Жасатер.		–

1	2	3	4	5	6	7	8	9	10	11	12	13	14
04-12-00016	Сибирский	Республика Алтай	Кош-Агачский район, в 3 км СВ с. Курай	50,26552	87,95369	00.05.2026	00.09.2026	Ос	Атм., гидрол.	Отмечались	В 3 км СВ с. Курай Кош-Агачского района (пункт наблюдений Курайский) по правобережью р. Курайка отмечена активизация осыпного процесса на уступе высокой террасы. Признаки активизации: Вертикальные и крутые обнаженные уступы высотой от 5-7 м до 10-12 м, трещины глубиной до 1,3 м, блоки отпора размером до 0,5*0,5*0,3 м, осыпные шлейфы в подошве уступов. Негативное воздействие: разрушение земель сельскохозяйственного назначения. Литологический состав: валунно-галечный материал с гравийно-супесчаным заполнителем. Факторы активизации: режим увлажнения, гидрологический режим р. Курайка.		–
04-10-00015	Сибирский	Республика Алтай	Кош-Агачский район, уч. а/дороги Р-256, 809,95-809,97 км	50,22711	87,73101	00.05.2026	00.09.2026	Об	Техн., атм.	Отмечались	В Кош-Агачском районе, на уч. а/дороги Р-256, 809,95-809,97 км отмечена активизация обвального процесса. Обвальный процесс развивается в верховых откосах расчистки высотой до 10 м в коренных породах. В подошве откоса шлейф из мелкоглыбового материала высотой до 1 м. Характерны редкие камнепады. Параметры проявления: длина 10 м, ширина 20 м, площадь 200 м^2. Негативное воздействие: частичное пересыпание обочины а/дороги на отрезке 20 м. Литологический состав: алевролиты сильнотрещиноватые. Факторы активизации: техногенный (подрезка склона), метеорологический (режим увлажнения, температурный режим).		Плановое обследование
04-12-00022	Сибирский	Республика Алтай	Кош-Агачский район, уч. а/дороги Р-256, 810,0-810,125 км	50,22778	87,73211	00.05.2026	00.09.2026	Ос	Техн., атм.	Отмечались	В Кош-Агачском районе, на уч. а/дороги Р-256, 810,0-810,125 км отмечена активизация осыпного процесса. Осыпной процесс развивается в верховых откосах расчистки высотой до 12 м в осыпном склоне. Осыпь щебнисто-мелкоглыбовая. Параметры проявления: длина 12 м, ширина 125 м, площадь 1500 м^2. Негативное воздействие: частичное пересыпание обочины а/дороги на отрезке 70 м. Литологический состав: щебнисто-глыбовый материал алевролитов, мраморизованных известняков серого цвета. Факторы активизации: техногенный (подрезка склона), метеорологический (режим увлажнения, температурный режим).		Плановое обследование
04-12-00023	Сибирский	Республика Алтай	Кош-Агачский район, уч. а/дороги Р-256, 810,515-810,665 км	50,23055	87,73796	00.05.2026	00.09.2026	Ос	Техн., атм.	Отмечались	В Кош-Агачском районе, на уч. а/дороги Р-256, 810,515-810,515 км отмечена активизация осыпного процесса. Осыпной процесс развивается в верховых откосах расчистки высотой до 8-10 м в осыпном склоне. Осыпь щебнисто-мелкоглыбовая, отдельные глыбы до 1 м в диаметре. Параметры проявления: длина 12 м, ширина 150 м, площадь 1200 м^2. Негативное воздействие: частичное пересыпание обочины а/дороги на отрезке 30 м. Литологический состав: щебнисто-глыбовый материал алевролитов, мраморизованных известняков серого цвета. Факторы активизации: техногенный (подрезка склона), метеорологический (режим увлажнения, температурный режим).		Плановое обследование

1	2	3	4	5	6	7	8	9	10	11	12	13	14
04-12-00024	Сибирский	Республика Алтай	Кош-Агачский район, уч. а/дороги Р-256, 812,88-812,95 км	50,23480	87,77019	00.05.2026	00.09.2026	Ос	Техн., атм.	Отмечались	В Кош-Агачском районе, на уч. а/дороги Р-256, 812,88-812,95 км отмечена активизация осыпного процесса. Осыпной процесс развивается в верховых откосах расчистки высотой до 7-8 м в осыпном склоне. Осыпь щебнисто-мелкоглыбовая, отдельные глыбы до 0,4 м в диаметре. Параметры проявления: длина 7 м, ширина 70 м, площадь 490 м^2. Негативное воздействие: частичное пересыпание обочины а/дороги на отрезке 30 м. Литологический состав: щебнисто-глыбовый материал алевролитов, мраморизованных известняков серого цвета. Факторы активизации: техногенный (подрезка склона), метеорологический (режим увлажнения, температурный режим).		Плановое обследование
04-12-00025	Сибирский	Республика Алтай	Кош-Агачский район, уч. а/дороги Р-256, 813,06-813,405 км	50,23504	87,77433	00.05.2026	00.09.2026	Ос	Техн., атм.	Отмечались	В Кош-Агачском районе, на уч. а/дороги Р-256, 813,06-813,405 км отмечена активизация осыпного процесса. Осыпной процесс развивается в верховых откосах расчистки высотой до 5-8 м в осыпном склоне. Осыпь щебнисто-мелкоглыбовая, отдельные глыбы до 0,5-0,7 м в диаметре. Отмечены камнепады (вывалы) крупных глыб диаметром до 1 м с верховых откосов а/дороги. Параметры проявления: длина 7 м, ширина 345 м, площадь 2415 м^2. Негативное воздействие: частичное пересыпание обочины а/дороги на отрезке 190 м. Литологический состав: щебнисто-глыбовый материал алевролитов, мраморизованных известняков серого цвета. Факторы активизации: техногенный (подрезка склона), метеорологический (режим увлажнения, температурный режим).		Плановое обследование
04-12-00026	Сибирский	Республика Алтай	Кош-Агачский район, уч. а/дороги Р-256, 813,68-813,735 км	50,23488	87,78135	00.05.2026	00.09.2026	Ос	Техн., атм.	Отмечались	В Кош-Агачском районе, на уч. а/дороги Р-256, 813,68-813,735 км отмечена активизация осыпного процесса. Осыпной процесс развивается в верховых откосах расчистки высотой до 15 м в осыпном склоне. Осыпь щебнисто-мелкоглыбовая, отдельные глыбы до 1,0 м в диаметре. Параметры проявления: длина 15 м, ширина 55 м, площадь 825 м^2. Негативное воздействие: частичное пересыпание обочины а/дороги на отрезке 30 м. Литологический состав: щебнисто-глыбовый материал алевролитов, мраморизованных известняков серого цвета. Факторы активизации: техногенный (подрезка склона), метеорологический (режим увлажнения, температурный режим).		Плановое обследование
04-12-00027	Сибирский	Республика Алтай	Кош-Агачский район, уч. а/дороги Р-256, 815,2-815,315 км	50,23272	87,80091	00.05.2026	00.09.2026	Ос	Техн., атм.	Отмечались	В Кош-Агачском районе, на уч. а/дороги Р-256, 815,2-815,315 км отмечена активизация осыпного процесса. Осыпной процесс развивается в верховых откосах расчистки высотой до 10 м в осыпном склоне. Осыпь щебнисто-мелкоглыбовая, отдельные глыбы до 1,0 м в диаметре. Параметры проявления: длина 10 м, ширина 115 м, площадь 1150 м^2. Негативное воздействие: частичное пересыпание обочины а/дороги на отрезке 15 м. Литологический состав: щебнисто-глыбовый материал алевролитов, мраморизованных известняков серого цвета.		Плановое обследование

1	2	3	4	5	6	7	8	9	10	11	12	13	14
											Факторы активизации: техногенный (подрезка склона), метеорологический (режим увлажнения, температурный режим).		
04-12-00028	Сибирский	Республика Алтай	Кош-Агачский район, уч. а/дороги Р-256, 815,42-815,59 км	50,23385	87,80375	00.05.2026	00.09.2026	Ос	Техн., атм.	Отмечались	В Кош-Агачском районе, на уч. а/дороги Р-256, 815,42-815,59 км отмечена активизация осыпного процесса. Осыпной процесс развивается в верховых откосах расчистки высотой до 6-10 м в осыпном склоне. Осыпь щебнисто-мелкоглыбовая, отдельные глыбы до 0,5 м в диаметре. Параметры проявления: длина 8 м, ширина 170 м, площадь 1360 м^2. Негативное воздействие: частичное пересыпание обочины а/дороги на отрезке 105 м. Литологический состав: щебнисто-глыбовый материал алевролитов, мраморизованных известняков серого цвета. Факторы активизации: техногенный (подрезка склона), метеорологический (режим увлажнения, температурный режим).		Плановое обследование
04-11-00057	Сибирский	Республика Алтай	Онгудайский район, уч. а/дороги в Алтайское подворье, 20,05 км	50,77968	86,47058	00.05.2026	00.09.2026	Оп	Техн., атм.	Отмечались	В Онгудайском районе на уч. а/дороги в Алтайское подворье, 20,05 км (пункт наблюдений Участок а/дороги в Алтайское подворье) отмечена активизация оползневого процесса. Протяженность оползня по дороге 204 м. Смещение марок по латерали 0,025-0,048 м, дорожное полотно опущено на 0,48 м относительно уровня 2025 г. Параметры оползня: длина 192,8 м, ширина 150-245 м, в среднем 199,71 м, площадь 38504,19 м^2. Негативное воздействие: на уч. а/дороги длиной 204 м частичное разрушение дорожного полотна (проседание на 0,21-0,48 м), деформации габионов, подпорных стенок, отбойников. Литологический состав: щебнисто-глыбовый материал с супесчаным заполнителем. Факторы активизации: техногенный (строительство и эксплуатация дороги), режим увлажнения (ливни, снеготаяние).		–
04-11-00058	Сибирский	Республика Алтай	Онгудайский район, уч. а/дороги в Алтайское подворье, 19,5 км	50,77730	86,46351	00.05.2026	00.09.2026	Оп	Техн., атм.	Не отмечались	В Онгудайском районе, выше по склону от уч. а/дороги в Алтайское подворье, 19,5 км (пункт наблюдений Подъезд к урочищу Урсул) отмечена активизация оползневого процесса на оползне № 1. Трещины и рвы глубиной 0,8-2,0 м, ширина рвов 10-15 м. Параметры оползня: длина 232 м, ширина 26-164 м, в среднем 81,9 м, площадь оползня 19000 м^2. Негативное воздействие отсутствует. В зоне возможного воздействия: уч. а/дороги длиной 200 м. Литологический состав: щебнисто-глыбовый материал с супесчаным заполнителем. Факторы активизации: техногенный (строительство и эксплуатация дороги), режим увлажнения (ливни, снеготаяние).		–
04-11-00063	Сибирский	Республика Алтай	Онгудайский район, уч. а/дороги в Алтайское подворье, 19,5 км	50,77577	86,45875	00.05.2026	00.09.2026	Оп	Техн., атм.	Не отмечались	В Онгудайском районе, выше по склону от уч. а/дороги в Алтайское подворье, 19,5 км (пункт наблюдений Подъезд к урочищу Урсул) отмечена активизация оползневого процесса на оползне № 2. Стенка отрыва высотой 4-7 м, отступание уступа 1-3 м. Параметры оползня: длина 87 м, ширина 25-70 м, в среднем 38,5 м, площадь оползня 3347 м^2.		–

1	2	3	4	5	6	7	8	9	10	11	12	13	14
											Негативное воздействие отсутствует. В зоне возможного воздействия: уч. а/дороги длиной 60 м. Литологический состав: щебнисто-глыбовый материал с супесчаным заполнителем. Факторы активизации: техногенный (строительство и эксплуатация дороги), режим увлажнения (ливни, снеготаяние).		
04-10-00005	Сибирский	Республика Алтай	Онгудайский район, уч. а/дороги Р-256 Чуйский тракт, 764,5-764,875 км, в 14 км СЗ с. Чибит	50,36351	87,27863	00.05.2026	00.09.2026	Об	Атм.	Отмечались	В Онгудайском районе, в 14 км СЗ с. Чибит на уч. а/дороги Р-256 Чуйский тракт, 764,5-764,875 км (пункт наблюдений Ярбалык) отмечена активизация обвального процесса на крутом аккумулятивно-денудационном склоне. Высота верховых откосов 10-15 м, уступы крутые, отмечены мелкие камнепады с верховых откосов в кюветы и на обочину дороги, обвальный материал – щебень, мелкие валуны и глыбы диаметром до 1,2 м. Параметры проявления: длина 15 м, средняя ширина 305 м, площадь 4575 м. Негативное воздействие: частичное пересыпание обочин и кювет а/дороги на отрезке 90 м. Литологический состав глыб: плотные серые известняки массивной текстуры. Факторы активизации: метеорологический (температура).		–
04-10-00014	Сибирский	Республика Алтай	Онгудайский район, уч. а/дороги Р-256 Чуйский тракт, 767,0-767,36 км, в 13,5 км СЗ с. Чибит	50,36368	87,30625	00.05.2026	00.09.2026	Об	Атм.	Отмечались	В Онгудайском районе, в 14 км СЗ с. Чибит на уч. а/дороги Р-256 Чуйский тракт, 767,0-767,36 км (пункт наблюдений Ярбалык) отмечена активизация обвального процесса на крутом аккумулятивно-денудационном склоне. Высота верховых откосов 5-10 м, уступы крутые, отмечены мелкие камнепады с верховых откосов в кюветы и на обочину дороги, обвальный материал – щебень, мелкие валуны и глыбы диаметром до 1,2 м. Параметры проявления: длина 10 м, средняя ширина 360 м, площадь 3600 м. Негативное воздействие: частичное пересыпание обочин и кювет а/дороги на отрезке 60 м. Литологический состав глыб: плотные серые известняки массивной текстуры. Факторы активизации: метеорологический (температура).		–
04-12-00019	Сибирский	Республика Алтай	Онгудайский район, с. Кара-Кобы	50,81298	85,58044	00.05.2026	00.09.2026	Ос	Атм., гидрол.	Отмечались	В с. Кара-Кобы Онгудайского района (пункт наблюдений Кара-Кобы) отмечена активизация осыпного процесса в уступе террасы р. Урсул. Высота уступа 7-15 м. Параметры проявления: длина 2150 м, скорость разрушения уступа максимальная 1,97 м/год, средняя 0,14 м/год, площадь 301 м^2. Негативное воздействие: разрушение ограждений в 6 усадьбах по ул. Шоссейная, 11-19, 23. Литологический состав: супесчано-песчано-гравийный материал с включениями гальки, прослоями супесей и песков в верху разреза. Факторы активизации: режим увлажнения, гидрологический режим р. Урсул.		–

1	2	3	4	5	6	7	8	9	10	11	12	13	14
04-22-00009	Сибирский	Республика Алтай	Онгудайский район, с. Кара-Кобы, уч. а/дороги Туекта – Усть-Кан, 19,96 км	50,81743	85,58706	00.05.2026	00.09.2026	Эо	Атм., техн.	Не отмечались	В с. Кара-Кобы Онгудайского района, на уч. а/дороги Туекта – Усть-Кан, 19,96 км (пункт наблюдений Кара-Кобы) отмечена активизация процесса овражной эрозии в уступе высокой террасы р. Урсул. Параметры оврага № 4: длина 41,22 м, максимальная ширина 19,27 м, средняя – 12,41 м, площадь 541,34 м^2. Признаки активизации: обнаженные уступы, переуглубление тальвега оврага. Негативное воздействие отсутствует. Литологический состав: супесчано-песчано-гравийный материал с включениями гальки, с прослоями супесей. Факторы активизации: режим увлажнения, техногенный (водовыпуск).		–
04-12-00020	Сибирский	Республика Алтай	Онгудайский район, уч. а/дороги в с. Инегень, серпантин от моста через Катунь	50,38672	86,66862	00.05.2026	00.09.2026	Ос	Техн., атм., гидрол.	Отмечались	В Онгудайском районе на уч. а/дороги в с. Инегень (пункт наблюдений Участок а/дороги в с. Инегень) отмечена активизация осыпного процесса. Признаки активности: осыпные шлейфы, по бровке уступа развиты рытвины и промоины глубиной 0,5-1,0 м, диаметр рытвин и промоин в вершинах до 1,0 м. Негативное воздействие: разрушение а/дороги без покрытия на отрезке 5 м. Литологический состав: гравийно-мелкогалечный материал с песчаным заполнителем, с прослоями песков и гравия. Факторы активизации: строительство а/дороги, режим увлажнения, гидрологический режим р. Катунь.		–
04-22-00011	Сибирский	Республика Алтай	Онгудайский район, уч. а/дороги в с. Инегень	50,38686	86,66978	00.05.2026	00.09.2026	Эо	Техн., атм.	Отмечались	В Онгудайском районе на серпантине а/дороги в с. Инегень (пункт наблюдений Участок а/дороги в с. Инегень) отмечена активизация процесса овражной эрозии, овраг № 1. Высота вертикальных уступов в вершине оврага 1-1,5 м, в транзитной части – до 4,0 м, ширина варьирует в пределах 2,0-15,5 м. Признаки активизации: обнаженные уступы, расширение вершины и транзита. Негативное воздействие: на отрезке а/дороги длиной 5 м разрушены дорожное полотно и отбойники дороги. Литологический состав: гравийно-мелкогалечный материал с песчаным заполнителем. Факторы активизации: техногенный, режим увлажнения.		–
04-12-00004	Сибирский	Республика Алтай	Улаганский район, уч. а/дороги Акташ – Улаган, 12,5-13,3 км, восточный борт	50,40116	87,60498	00.05.2026	00.09.2026	Ос	Техн., атм., гидрогеол.	Отмечались	В Улаганском районе на уч. а/дороги Акташ – Улаган, 12,5-13,3 км (пункт наблюдений Чибитский каньон) отмечена активизация осыпного процесса в восточном борту дороги. Высота уступов до 12 м. Маломощные осыпные шлейфы, камнепады, оползание блоков с деревьями, фрагментарно пластовые выходы подземных вод. Параметры проявления: длина 15 м, ширина 550 м, площадь 8250 м^2. Негативное воздействие: частичное пересыпание осыпного материала на обочину а/дороги на отрезке 140 м. Литологический состав: глыбово-щебнистый материал с супесчано-дресвяным заполнителем. Факторы активизации: строительство а/дороги, режим увлажнения, малодебитные пластовые выходы подземных вод.		–

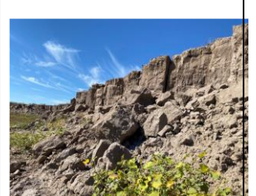
1	2	3	4	5	6	7	8	9	10	11	12	13	14
04-12-00005	Сибирский	Республика Алтай	Улаганский район, уч. а/дороги Акташ – Улаган, 11,8-12,3 км, восточный борт	50,39547	87,61045	00.05.2026	00.09.2026	Ос	Техн., атм.	Отмечались	В Улаганском районе на уч. а/дороги Акташ – Улаган, 11,8-12,3 км (пункт наблюдений Чибитский каньон) отмечена активизация осыпного процесса в восточном борту дороги. Высота обнаженных уступов до 10 м. Маломощные осыпные шлейфы, мелкие камнепады, оплывины. Параметры проявления: длина 12 м, ширина 420 м, площадь 5040 м^2. Негативное воздействие: пересыпание обочины а/дороги на отрезке 325 м. Литологический состав: глыбово-щебнистый материал с супесчано-дресвяным заполнителем. Факторы активизации: строительство а/дороги, режим увлажнения.		–
04-12-00006	Сибирский	Республика Алтай	Улаганский район, уч. а/дороги Акташ – Улаган, 11,1-11,6 км, восточный борт	50,39106	87,61408	00.05.2026	00.09.2026	Ос	Техн., атм.	Отмечались	В Улаганском районе на уч. а/дороги Акташ – Улаган, 11,1-11,6 км (пункт наблюдений Чибитский каньон) отмечена активизация осыпного процесса в восточном борту дороги. Высота обнаженных уступов 6-10 м, транзитный путь в среднем 8 м, маломощные осыпные шлейфы, пересыпание а/дороги. Параметры проявления: длина 8 м, ширина 370 м, площадь 2960 м^2. Негативное воздействие: мелкое пересыпание обочины а/дороги на отрезке 110 м. Литологический состав: глыбово-щебнистый материал с супесчано-дресвяным заполнителем. Факторы активизации: строительство а/дороги, режим увлажнения.		–
04-12-00007	Сибирский	Республика Алтай	Улаганский район, уч. а/дороги Акташ – Улаган, 8,7-9,3 км, восточный борт	50,37082	87,62716	00.05.2026	00.09.2026	Ос	Техн., атм.	Отмечались	В Улаганском районе на уч. а/дороги Акташ – Улаган, 8,7-9,3 км (пункт наблюдений Чибитский каньон) отмечена активизация осыпного процесса в восточном борту дороги. Высота обнаженных уступов 4-8 м, средний транзитный путь 8 м, маломощные осыпные шлейфы, мелкое пересыпание. Параметры проявления: длина 7 м, ширина 590 м, площадь 4130 м^2. Негативное воздействие: мелкое пересыпание обочины а/дороги на отрезке 215 м. Литологический состав: глыбово-щебнистый материал с супесчано-дресвяным заполнителем. Факторы активизации: строительство а/дороги, режим увлажнения.		–
04-11-00065	Сибирский	Республика Алтай	Улаганский район, уч. а/дороги Акташ – Улаган, 8,5-8,6 км	50,36832	87,63053	00.05.2026	00.09.2026	Оп	Техн., атм.	Отмечались	В Улаганском районе, на уч. а/дороги Акташ – Улаган, 8,5-8,6 км (пункт наблюдений Чибитский каньон) отмечена активизация оползневого процесса. В техногенных расчистках серия мелких оползней и оплывин, блоки отпора и оползания с деревьями и кустарниками. Параметры проявления: длина 12 м, ширина 85 м, площадь 1020 м^2. Негативное воздействие: частично перекрыт уч. а/дороги длиной 60 м. Литологический состав: глыбово-щебнистый материал с супесчаным заполнителем. Факторы активизации: техногенный (строительство а/дороги), режим увлажнения.		–

1	2	3	4	5	6	7	8	9	10	11	12	13	14
04-12-00002	Сибирский	Республика Алтай	Улаганский район, уч. а/дороги Акташ – Улаган, 8,0-8,15 км, восточный борт	50,36500	87,63400	00.05.2026	00.09.2026	Ос	Техн., атм.	Отмечались	В Улаганском районе на уч. а/дороги Акташ – Улаган, 8,0-8,15 км (пункт наблюдений Чибитский каньон) отмечена активизация осыпного процесса в восточном борту дороги. Осыпь высотой 80-100 м, мелкие камнепады, пересыпание рыхлого материала на обочину а/дороги, редкие поваленные деревья в транзитной части осыпи. Параметры осыпи: длина 183 м, ширина 85 м, площадь 13171 м^2. Негативное воздействие: частичное пересыпание осыпного материала на обочину а/дороги и автомобильную стоянку на отрезке 60 м. Литологический состав: щебнисто-глыбовый материал. Факторы активизации: строительство а/дороги, режим увлажнения.		–
04-12-00008	Сибирский	Республика Алтай	Улаганский район, уч. а/дороги Акташ – Улаган, 7,7-8,0 км, западный борт	50,36346	87,63212	00.05.2026	00.09.2026	Ос	Техн., атм.	Отмечались	В Улаганском районе на уч. а/дороги Акташ – Улаган, 7,7-8,0 км (пункт наблюдений Чибитский каньон) отмечена активизация осыпного процесса в западном борту дороги. Высота обнаженных уступов до 30 м, маломощные осыпные шлейфы, мелкие камнепады со скальных уступов коренных пород. Параметры проявления: длина 15 м, ширина 130 м, площадь 1950 м^2. Негативное воздействие: мелкое пересыпание обочины а/дороги на отрезке 45 м. Литологический состав: глыбово-щебнистый материал с супесчано-дресвяным заполнителем. Факторы активизации: строительство а/дороги, режим увлажнения.		–
04-12-00009	Сибирский	Республика Алтай	Улаганский район, уч. а/дороги Акташ – Улаган, 6,9-7,4 км, западный борт	50,35792	87,63567	00.05.2026	00.09.2026	Ос	Техн., атм.	Отмечались	В Улаганском районе на уч. а/дороги Акташ – Улаган, 6,9-7,4 км (пункт наблюдений Чибитский каньон) отмечена активизация осыпного процесса в западном борту дороги. Высота обнаженных уступов до 10 м, маломощные осыпные шлейфы, мелкое пересыпание, оплывины, трещины отседания. Параметры проявления: длина 8 м, ширина 360 м, площадь 2880 м^2. Негативное воздействие: мелкое пересыпание обочины а/дороги на отрезке 115 м. Литологический состав: глыбово-щебнистый материал с супесчано-дресвяным заполнителем. Факторы активизации: строительство а/дороги, режим увлажнения.		–
04-12-00010	Сибирский	Республика Алтай	Улаганский район, уч. а/дороги Акташ – Улаган, 6,1-6,8 км, западный борт	50,35301	87,63996	00.05.2026	00.09.2026	Ос	Техн., атм.	Отмечались	В Улаганском районе на уч. а/дороги Акташ – Улаган, 6,1-6,8 км (пункт наблюдений Чибитский каньон) отмечена активизация осыпного процесса в западном борту дороги. Высота обнаженных уступов 6-10 м, маломощные осыпные шлейфы, пересыпание, редко оплывины. Параметры проявления: длина 8 м, ширина 665 м, площадь 5320 м^2. Негативное воздействие: мелкое пересыпание обочины а/дороги на отрезке 370 м. Литологический состав: глыбово-щебнистый материал с супесчано-дресвяным заполнителем. Факторы активизации: строительство а/дороги, режим увлажнения.		–

1	2	3	4	5	6	7	8	9	10	11	12	13	14
04-12-00011	Сибирский	Республика Алтай	Улаганский район, уч. а/дороги Акташ – Улаган, 5,7-6,1 км, западный борт	50,34808	87,64240	00.05.2026	00.09.2026	Ос	Техн., атм.	Отмечались	В Улаганском районе на уч. а/дороги Акташ – Улаган, 5,7-6,1 км (пункт наблюдений Чибитский каньон) отмечена активизация осыпного процесса в западном борту дороги. Высота обнаженных уступов 6-10 м, маломощные осыпные шлейфы, поваленные деревья, одиночные камнепады. Параметры проявления: длина 15 м, ширина 170 м, площадь 2550 м^2. Негативное воздействие: мелкое пересыпание обочины а/дороги на отрезке 20 м. Литологический состав: глыбово-щебнистый материал с супесчано-дресвяным заполнителем. Факторы активизации: строительство а/дороги, режим увлажнения.		–
04-12-00003	Сибирский	Республика Алтай	Улаганский район, уч. а/дороги Акташ – Улаган, 5,3-5,6 км, восточный борт	50,34509	87,64391	00.05.2026	00.09.2026	Ос	Техн., атм.	Отмечались	В Улаганском районе на уч. а/дороги Акташ – Улаган, 5,3-5,6 км (пункт наблюдений Чибитский каньон) отмечена активизация осыпного процесса в восточном борту дороги. Осыпь высотой 60-130 м, нижняя часть подрезана расчисткой, мелкое пересыпание рыхлого материала в кюветы а/дороги. Параметры осыпи: длина 61,7 м, ширина 223 м, площадь 13757 м^2. Негативное воздействие: пересыпание обочины а/дороги на отрезке 175 м. Литологический состав: щебнисто-глыбовый материал. Факторы активизации: строительство а/дороги, режим увлажнения.		–
04-12-00012	Сибирский	Республика Алтай	Улаганский район, уч. а/дороги Акташ – Улаган, 4,6-4,9 км, восточный борт	50,33899	87,64218	00.05.2026	00.09.2026	Ос	Техн., атм.	Отмечались	В Улаганском районе на уч. а/дороги Акташ – Улаган, 4,6-4,9 км (пункт наблюдений Чибитский каньон) отмечена активизация осыпного процесса в восточном борту дороги. Высота обнаженных уступов 6-8 м, маломощные осыпные шлейфы, мелкое пересыпание. Параметры проявления: длина 10 м, ширина 118 м, площадь 1180 м^2. Негативное воздействие: мелкое пересыпание обочины а/дороги на отрезке 45 м. Литологический состав: глыбово-щебнистый материал с супесчано-дресвяным заполнителем. Факторы активизации: строительство а/дороги, режим увлажнения.		–
04-10-00009	Сибирский	Республика Алтай	Усть-Коксинский район, с. Тюнгур	50,15663	86,28876	00.05.2026	00.09.2026	Об	Атм., гидрол.	Не отмечались	На въезде в с. Тюнгур Усть-Коксинского района (пункт наблюдений Участок а/дороги в с. Тюнгур) отмечена активизация обвального процесса в уступе высокой террасы р. Катунь. Параметры проявления: длина 1470 м, скорость разрушения уступа максимальная 1,05 м/год, средняя 0,12 м/год, площадь 180 м^2. Негативное воздействие отсутствует. Литологический состав: гравийно-галечный материал с песчаным заполнителем, с прослоями супесей, с включениями валунов. Факторы активизации: режим увлажнения, гидрологический режим р. Катунь.		–
04-22-00005	Сибирский	Республика Алтай	Усть-Коксинский район, с. Тюнгур, уч. а/дороги на въезде в село, 58,7 км	50,15799	86,29045	00.05.2026	00.09.2026	Эо	Атм., техн.	Не отмечались	В Усть-Коксинском районе на уч. а/дороги в с. Тюнгур, 58,7 км (пункт наблюдений Участок а/дороги в с. Тюнгур) отмечена активизация процесса овражной эрозии в уступе высокой террасы р. Катунь. Параметры оврага №1: длина 48,38 м, средняя ширина 39,73 м, площадь 1922 м^2. Признаки		–

1	2	3	4	5	6	7	8	9	10	11	12	13	14
											активизации: обнаженные уступы, обрушения блоков отпора в уступах. Негативное воздействие отсутствует. Литологический состав: гравийно-галечный материал с песчаным заполнителем, с прослоями супесей. Факторы активизации: режим увлажнения, техногенный (водовыпуск).		
04-22-00006	Сибирский	Республика Алтай	Усть-Коксинский район, с. Тюнгур, уч. а/дороги на въезде в село, 58,94 км	50,15937	86,29348	00.05.2026	00.09.2026	Эо	Атм., техн.	Не отмечались	В Усть-Коксинском районе на уч. а/дороги в с. Тюнгур, 58,94 км (пункт наблюдений Участок а/дороги в с. Тюнгур) отмечена активизация процесса овражной эрозии в уступе высокой террасы р. Катунь. Параметры оврага № 2: длина 81,35 м, средняя ширина 20,4 м, площадь 1663 м^2. Признаки активизации: обнаженные уступы, обрушения блоков отпора в уступах. Негативное воздействие отсутствует. Литологический состав: гравийно-галечный материал с песчаным заполнителем, с прослоями супесей. Факторы активизации: режим увлажнения, техногенный (водовыпуск).		–
04-12-00014	Сибирский	Республика Алтай	Усть-Коксинский район, с. Усть-Кокса	50,26743	85,63322	00.05.2026	00.09.2026	Ос	Атм., гидрол.	Отмечались	В с. Усть-Кокса Усть-Коксинского района (пункт наблюдений Усть-Кокса) отмечена активизация осыпного процесса на высокой террасе р. Катунь на отрезке 1052 м, высота уступов до 15 м, скорость разрушения уступа максимальная – 1,79 м/год, средняя – 0,09 м/год, площадь 94,7 м2. Негативное воздействие: частичное разрушение ограждений 2 усадьб по ул. Набережная, 127, 129. Литологический состав: валунно-галечный материал с гравийно-супесчаным заполнителем, с прослоями песков, супесей. Триггерный фактор: режим увлажнения, гидрологический режим р. Катунь.		–
04-10-00007	Сибирский	Республика Алтай	Усть-Коксинский район, уч. а/дороги Усть-Кокса - Мараловодка, 21-22 км	50,12385	85,46899	00.05.2026	00.09.2026	Об	Атм., гидрол.	Не отмечались	В Усть-Коксинском районе на уч. а/дороги Усть-Кокса – Мараловодка, 21-22 км (пункт наблюдений Участок а/дороги в Мараловодку) отмечена активизация обвального процесса на левобережной высокой террасе р. Катунь протяженностью 374 м, высота уступов 7 м. Разрушение уступа до 4,31 м/год, в среднем 0,79 м/год, площадь разрушения 296 м^2. Негативное воздействие отсутствует. Литологический состав: валунно-галечный материал с гравийно-супесчаным заполнителем. Факторы активизации: режим увлажнения, гидрологический режим р. Катунь.		–
04-10-00008	Сибирский	Республика Алтай	Усть-Коксинский район, с. Верх-Уймон	50,22058	85,72820	00.05.2026	00.09.2026	Об	Атм., гидрол.	Отмечались	В с. Верх-Уймон Усть-Коксинского района (пункт наблюдений Уймонская протока) отмечена активизация обвального процесса на высокой пойме протяженностью 295 м, высота уступа 3,99 м. Разрушение уступа до 0,79 м/год, в среднем 0,25 м/год, площадь разрушения 74 м^2. Негативное воздействие: разрушение огорода и ограждений усадьбы по ул. Набережная, 64. Литологический состав: валунно-галечный материал с гравийно-супесчаным заполнителем, с прослоями супесей. Факторы активизации: режим увлажнения, гидрологический режим р. Катунь.	–	–

1	2	3	4	5	6	7	8	9	10	11	12	13	14
04-10-00010	Сибирский	Республика Алтай	Усть-Коксинский район, уч. а/дороги Усть-Кокса – Мараловод-ка, 2-3 км	50,25426	85,58281	00.05.2026	00.09.2026	Об	Атм., гидрол.	Не отмечались	В Усть-Коксинском районе на уч. а/дороги Усть-Кокса – Мараловодка, 2-3 км (пункт наблюдений Подсолодка) отмечена активизация обвального процесса на уступе первой террасы длиной 817 м, высота уступов 3,4 м. Разрушение уступа – до 1,87 м/год, в среднем 0,42 м/год, Негативное воздействие отсутствует. Литологический состав: валунно-галечный материал с гравийно-песчаным заполнителем. Факторы активизации: режим увлажнения, гидрологический режим р. Катунь.	–	–
04-12-00015	Сибирский	Республика Алтай	Турочакский район, с. Верх-Бийск	52,03634	87,08786	00.05.2026	00.09.2026	Ос	Атм., гидрол.	Отмечались	В с. Верх-Бийск Турочакского района на ул. Береговая (пункт наблюдений Верх-Бийск) отмечена активизация осыпного процесса в уступе высокой террасы на отрезке 800 м, скорость разрушения максимальная 0,64 м/год, средняя 0,17 м/год, площадь 136 м^2, высота уступа 8 м. Негативное воздействие: разрушение ограждений, огородов в 7 усадьбах по ул. Береговая, 4, 6, 8, 10, 14, 16, 18. Литологический состав: валунно-галечный материал с песчаным заполнителем, с прослоями песка и супесей. Факторы активизации: режим увлажнения, гидрологический режим р. Бия.	–	–
04-11-00069	Сибирский	Республика Алтай	Шебалинский район, с. Каспа, ул. Чанкыр, 1	51,11656	85,99125	00.05.2026	00.09.2026	Оп	Атм., гидрогеол.	Не отмечались	В с. Каспа Шебалинского района отмечается активизация оползневого процесса на аккумулятивном склоне южной экспозиции. Базис оползня – пойма реки. Параметры оползня: длина 215 м, ширина до 70 м, средняя – 50,82 м, высота вертикальной части уступа – до 3,5 м, площадь 10926 м^2. Признаки активности: трещины сдвига и растяжения глубиной 0,2-1,0 м, шириной до 0,2-0,3 м; высота вертикальных обнаженных надоползневых уступов по бортам 1,0-2,5 м, в вершине оползня – до 3,5 м; в транзитном лотке зеркала скольжения, в днище ложбины прерывистый малодебитный ручей и пятна влажности. Высота боковых валов воздымания достигает 1-1,5 м, фронтального вала языка – 2,0 м. Негативное воздействие: отсутствует, в потенциальной опасности 1 усадьба. Литологический состав: супеси и суглинки с включениями щебня и мелких глыб до 40 %. Факторы активизации: режим увлажнения, наличие малодебитных родников.		Плановое обследование
17-12-00012	Сибирский	Республика Тыва	Сут-Хольский район, уч.а/дороги Чадан – Суг-Аксы, 21 км, южный склон	51,37536	91,29176	00.04.2026	00.08.2026	Ос	Атм., техн.	Отмечались	В Сут-Хольском районе на уч. а/дороги Чадан – Суг-Аксы, 21 км (южный склон) отмечается активизация осыпного процесса. Длина проявления 13,7 м, ширина – 196,4 м. Отмечается наличие свежих осыпей, скопление осыпных масс в кювете и на обочине а/дороги протяженностью 0,025 км. Литологический состав горных пород: суглинки, щебень, гравий, супеси, пески. Фактор активизации: метеорологический, техногенный.		Плановое обследование

1	2	3	4	5	6	7	8	9	10	11	12	13	14
17-12-00013	Сибирский	Республика Тыва	Сут-Хольский район, уч.а/дороги Чадан – Суг-Аксы, 21 км, северный склон	51,37557	91,29210	00.04.2026	00.08.2026	Ос	Атм., техн.	Отмечались	В Сут-Хольском районе на уч. а/дороги Чадан – Суг-Аксы, 21 км (северный склон) в Сут-Хольском районе отмечается активизация осыпного процесса. Длина проявления 17,1 м, ширина – 125,5 м. Отмечается наличие свежих осыпей, скопление осыпных масс в кювете и на обочине а/дороги протяженностью 0,052 км. Литологический состав горных пород: суглинки, щебень, гравий, супеси, пески. Фактор активизации: метеорологический, техногенный.		Плановое обследование
17-10-00001	Сибирский	Республика Тыва	Чеди-Хольский район, с. Сайлыг	51,12082	93,67677	00.07.2026	00.08.2026	Об	Атм.	Отмечались	В с. Сайлыг Чеди-Хольского района (пункт наблюдений Сайлыгский) из-за продолжительных осадков отмечалась активизация обвального процесса вдоль террасовидного уступа длиной 815 м, высотой 13 м. На отдельных участках зафиксированы обрушения, осыпания грунта, продвижение кромки бровки уступа от 0,1 до 0,2 м, средняя величина обрушения 0,13 м. Литологический состав горных пород: супеси, пески с дресвой, щебнем, с прослоями супеси, обломочного материла. Фактор активизации: атмосферные осадки. Разрушаются огороды, заборы приусадебных участков по ул. Горького, 8, 14.		–
17-22-00024	Сибирский	Республика Тыва	Чеди-Хольский район, с. Сайлыг	51,12311	93,69004	00.07.2026	00.08.2026	Эо	Атм.	Отмечались	В с. Сайлыг Чеди-Хольского района (пункт наблюдений Сайлыгский) из-за продолжительных осадков отмечалась активизация овражной эрозии. Длина оврага №4 составляет 8,33 м, ширина 9,1 м, глубина до 10 м. Отмечаются свежие обрушения грунта на дне оврага. Литологический состав горных пород: супеси с дресвой, щебнем, с прослоями супеси, обломочного материала. Фактор активизации: атмосферные осадки. Разрушение приусадебного участка по ул. Горького, 12.		–
17-22-00025	Сибирский	Республика Тыва	Чеди-Хольский район, с. Сайлыг	51,12311	93,69035	00.07.2026	00.08.2026	Эо	Атм.	Отмечались	В с. Сайлыг Чеди-Хольского района (пункт наблюдений Сайлыгский) из-за продолжительных осадков отмечалась активизация овражной эрозии. Длина оврага №5 составляет 13,2 м, ширина 9,7 м, глубина до 10 м. Отмечаются свежие обрушения грунта на дне оврага. Литологический состав горных пород: супеси с дресвой, щебнем, с прослоями супеси, обломочного материала. Фактор активизации: атмосферные осадки. Разрушение приусадебного участка по ул. Горького, 12.		–
17-10-00002	Сибирский	Республика Тыва	Дзун-Хемчикский район, с. Хорум-Даг	51,27801	91,05026	00.07.2026	00.08.2026	Об	Атм.	Отмечались	В с. Хорум-Даг Дзун-Хемчикского района (пункт наблюдений Хорум-Дагский) отмечена активизация обвального процесса вдоль уступа 1-ой террасы р. Чыргакы. Максимальная высота уступа 4,3 м, длина 439 м. Зафиксированы свежие обвалы грунта на уступе на локальных участках, отседание блоков шириной до 2 м, величина разрушения уступа 0,8-3 м, средняя 1,6 м. Уступ сложен легко размываемыми аллювиальными песчаными и супесчаными отложениями с гравием и галькой, стенка обрывистая, часто с отрицательным уклоном. Фактор активизации: атмосферные осадки. Наблюдается		–

1	2	3	4	5	6	7	8	9	10	11	12	13	14
											обрушение приусадебных участков и разрушение ограждений по ул. Мира, 1, 1 а, 3.		
17-10-00003	Сибирский	Республика Тыва	Чеди-Хольский район, с. Элегест	51,36532	93,96851	00.07.2026	00.08.2026	Об	Атм.	Не отмечались	В с. Элегест Чеди-Хольского района (пункт наблюдений Элегестинский) отмечена активизация обвального процесса на уступе на излучине левой протоки р. Элегест. Длина проявления 106 м, высота уступа 3,5-5 м. Наблюдаются трещины отпора, блоки отпора размером 0,3*0,45*0,5 м. Величина разрушения уступа в среднем 0,5 м. Литологический состав: пески, супеси с прослоями галечно-гравийного материала. Фактор активизации: атмосферные осадки. Негативное воздействие отсутствует.		–
17-22-00001	Сибирский	Республика Тыва	Пий-Хемский район, уч. а/дороги Р-257, 740 км, в районе с. Уюк	52,08109	94,03460	00.07.2026	00.08.2026	Эо	Атм.	Не отмечались	В Пий-Хемском районе вдоль уч. а/дороги Р-257 в районе с. Уюк (пункт наблюдений Уюкский) наблюдалась активизации процесса овражной эрозии. Длина оврага 1501 м, ширина 9,4 м, глубина 0,9-2,5 м. Отмечаются свежие обрушения грунта по бортам оврага на локальных участках, трещины отрыва, стенки оврага с отрицательным уклоном, прирост оврага по длине не зафиксирован. Активность низкая. Литологический состав горных пород: суглинки с дресвой и щебнем до 20-30%, с прослоями дресвяно-щебнистых отложений. Фактор активизации: атмосферные осадки в июне- июле. Негативное воздействие отсутствует.		–
17-22-00006	Сибирский	Республика Тыва	Каа-Хемский район, с. Сизим	51,31980	95,94523	00.07.2026	00.08.2026	Эо	Атм.	Не отмечались	В с. Сизим Каа-Хемского района (пункт наблюдений Сизимский) отмечена активизация процесса овражной эрозии. Длина оврага № 2 – 60,1 м, ширина 7,2 м, глубина 2,5 м. Зафиксированы свежие обрушения по бортам, блоки отрыва размером 0,04*0,03*0,05 м. Литологический состав горных пород: пески, супеси с прослоями гальки, гравия. Фактор активизации: атмосферные осадки. Негативное воздействие отсутствует.	–	–
17-22-00008	Сибирский	Республика Тыва	Каа-Хемский район, с. Сизим	51,31977	95,94473	00.07.2026	00.08.2026	Эо	Атм.	Не отмечались	В с. Сизим Каа-Хемского района (пункт наблюдений Сизимский) отмечена активизация процесса овражной эрозии. Длина оврага № 4 – 30,6 м, ширина до 3 м, глубина до 1,48 м. Зафиксированы обрушения грунта по бортам и в вершине. Прирост в вершине оврага 0,5 м, продольный профиль ступенчатый, стенки оврага обрывистые. Литологический состав горных пород: пески, супеси с прослоями гальки, гравия. Фактор активизации: атмосферные осадки. Негативное воздействие отсутствует.		–
17-22-00009	Сибирский	Республика Тыва	Каа-Хемский район, с. Сизим	51,32063	95,94403	00.07.2026	00.08.2026	Эо	Атм.	Не отмечались	В с. Сизим Каа-Хемского района (пункт наблюдений Сизимский) отмечена активизация процесса овражной эрозии. Длина оврага № 5 – 26,4 м, ширина 6,3 м, глубина 2,6 м. Зафиксирован прирост вершины на 0,1 м, в нижней части стенки с отрицательным уклоном, свежие обрушения грунта вдоль левых стенок шириной 0,10 м. Литологический состав горных пород: пески, супеси с прослоями гальки, гравия. Фактор активизации: атмосферные осадки. Негативное воздействие отсутствует.		–

1	2	3	4	5	6	7	8	9	10	11	12	13	14
17-22-00010	Сибирский	Республика Тыва	Каа-Хемский район, с. Сизим	51,32093	95,94394	00.07.2026	00.08.2026	Эо	Атм.	Не отмечались	В с. Сизим Каа-Хемского района (пункт наблюдений Сизимский) отмечена активизация процесса овражной эрозии. Длина оврага № 6 – 62,0 м, ширина 5,8 м, глубина до 2,5 м. Отмечаются свежие обрушения обрывистые стенки, средняя ширина 5,8 м, обваливание грунта по правому и левому бортам отвершка, прирост вершины отвершка 0,15 м. Литологический состав горных пород: пески, супеси с прослоями гальки, гравия. Фактор активизации: атмосферные осадки. Негативное воздействие отсутствует.		–
17-22-00011	Сибирский	Республика Тыва	Каа-Хемский район, с. Сизим	51,32047	95,94307	00.07.2026	00.08.2026	Эо	Атм.	Не отмечались	В с. Сизим Каа-Хемского района (пункт наблюдений Сизимский) отмечена активизация процесса овражной эрозии. Длина оврага № 7 – 39,65 м, ширина 15,7 м, глубина 3,4 м. Зафиксированы прирост вершины 0,2 м, трещины отседания. Литологический состав горных пород: пески, супеси с прослоями гальки, гравия. Фактор активизации: атмосферные осадки. Негативное воздействие отсутствует.		–
17-22-00012	Сибирский	Республика Тыва	Улуг-Хемский район, уч. а/дороги Шагонар – Эйлиг-Хем, 10 км, в 16,13 км В с. Эйлиг-Хем	51,61839	92,91466	00.07.2026	00.08.2026	Эо	Атм.	Не отмечались	В Улуг Хемском районе, вдоль уч. а/дороги Шагонар – Эйлиг-Хем, 10 км, в 16,13 км В с. Эйлиг-Хем (пункт наблюдений Эйлиг-Хемский) отмечена активизация процесса овражной эрозии. Длина оврага №1 составляет 112,9 м, ширина 4,9 м, глубина 1,2 м. Прирост в вершине составил 0,2 м, наблюдаются свежие обрушения грунта вдоль стенок, трещины отрыва, ниши в бортах глубиной 0,35-0,5 м. Литологический состав горных пород: дресвяно-щебенистые отложения с суглинком, с прослоями суглинков. Фактор активизации: атмосферные осадки. Негативное воздействие отсутствует.		–
17-22-00013	Сибирский	Республика Тыва	Улуг-Хемский район, уч. а/дороги Шагонар – Эйлиг-Хем, 10 км, в 15,94 км В с. Эйлиг-Хем	51,62538	92,91000	00.07.2026	00.08.2026	Эо	Атм.	Не отмечались	В Улуг-Хемском районе, вдоль уч. а/дороги Шагонар – Эйлиг-Хем, 10 км, в 15,94 км В с. Эйлиг-Хем (пункт наблюдений Эйлиг-Хемский) отмечена активизация процесса овражной эрозии. Длина оврага №2 составляет 169 м, ширина до 5,6 м, глубина 1,2 м. Отмечаются свежие обрушения грунта по стенкам оврага. Литологический состав горных пород: дресвяно-щебенистые отложения с суглинком, с прослоями суглинков. Фактор активизации: атмосферные осадки. Негативное воздействие отсутствует.		–
17-22-00015	Сибирский	Республика Тыва	Улуг-Хемский район, уч. а/дороги Шагонар – Эйлиг-Хем, 21 км, в 10,3 км СВ с. Эйлиг-Хем	51,63890	92,79200	00.07.2026	00.08.2026	Эо	Атм.	Не отмечались	В Улуг-Хемском районе, вдоль уч. а/дороги Шагонар – Эйлиг-Хем, 21 км, в 10,3 км СВ с. Эйлиг-Хем (пункт наблюдений Эйлиг-Хемский) зафиксирована активизация процесса овражной эрозии. Длина оврага №4 составляет 321 м, средняя ширина 9,2 м, глубина до 1,2 м. Длина оврага уменшилась на 299,6 м за счет засыпки при дорожных работах (47 м со стороны устья и 252,6 м со стороны вершины). Отмечаются свежие обрушения грунта по стенкам оврага. Литологический состав горных пород: дресвяно-щебенистые отложения с суглинком, с	–	–

1	2	3	4	5	6	7	8	9	10	11	12	13	14
											прослоями суглинков. Фактор активизации: атмосферные осадки. Негативное воздействие отсутствует.		
17-22-00017	Сибирский	Республика Тыва	Улуг-Хемский район, уч. а/дороги Шагонар – Эйлиг-Хем, 32 км, в 1,46 км СЗ с. Эйлиг-Хем	51,61957	92,64848	00.07.2026	00.08.2026	Эо	Атм.	Не отмечались	В Улуг-Хемском районе, вдоль уч. а/дороги Шагонар – Эйлиг-Хем, 32 км, в 1,46 км СЗ с. Эйлиг-Хем (пункт наблюдений Эйлиг-Хемский) отмечена активизация процесса овражной эрозии. Длина оврага №6 составляет 131,8 м, ширина 5,3 м, глубина 1,9 м. Наблюдаются свежие обрушения грунта по стенкам оврага, прирост в вершине до 0,2 м, прирост в вершинах отвершков 0,1-0,2 м. Литологический состав горных пород: дресвяно-щебенистые отложения с суглинком, с прослоями суглинков. Фактор активизации: атмосферные осадки. Негативное воздействие отсутствует.	–	–
17-22-00018	Сибирский	Республика Тыва	Дзун-Хемчикский район, уч. а/дороги Р-257, 1018 км, восточная окраина г. Чадан	51,29356	91,60403	00.07.2026	00.08.2026	Эо	Атм.	Не отмечались	В Дзун-Хемчикском районе, вдоль уч. а/дороги Р-257, 1018 км, в районе г. Чадан (пункт наблюдений Чаданский) отмечена активизация процесса овражной эрозии. Длина оврага №1 составляет 1163,8 м, максимальная ширина 35 м, средняя ширина 14,7 м, глубина 5,5 м. Отмечаются свежие обрушения грунта по стенкам, продвижение вершин оврага в среднем 0,13 м. Литологический состав горных пород: пески, супеси с прослоями дресвяно-щебнистого материала. Фактор активизации: атмосферные осадки. Негативное воздействие отсутствует.		–
19-13-00002	Сибирский	Республика Хакасия	г. Черногорск	53,82755	91,30448	01.01.2026	Не завершилась	Пт	Атм., техн.	Отмечались	В г. Черногорск (пункт наблюдений г. Черногорск) продолжается развитие процесса подтопления. Подтопление на участке сохраняется в районе ул. Белинского и Чернышевского, однако отмечается снижение его площади и активности относительно прошлых лет. УГВ в зоне подтопления варьирует от 2,0 м и ниже по ул. Белинского до 2,2-2,5 м и ниже по ул. Чернышевского. Процесс носит в основном постоянный характер с продолжительностью подтопления 365 дней в году. Площадь подтопления составляет около 0,05 км^2. На площади подтопления развиты аллювиальные гравийно-галечниковые отложения, пески и суглинки. Факторы активизации – осадки весенне-летнего периода, возможные утечки канализационных и водопроводных сетей.		–
19-13-00014	Сибирский	Республика Хакасия	Боградский район, с. Боград	54,23135	90,83016	08.01.2026	Не завершилась	Пт	Атм., гидрогеол.	Отмечались	По данным МЧС Республики Хакасия 8 января 2026 г. впервые поступила информация о выходе грунтовых вод в погребе частного жилого дома в с. Боград Боградского района. По результатам обследования отмечается подтопление подполий и погребов отмечается по ул. Советская. УГВ при этом варьирует от 1,5 м до 0,0 м и выше поверхности земли. Вдоль ул. Советской отмечается большое количество покинутых и заброшенных домовладений. Жители были вынуждены покинуть своё жильё вследствие деформации несущих конструкций жилых домов, оград, погребов и иных хозяйственных сооружений, сделав их эксплуатацию		Плановое обследование

1	2	3	4	5	6	7	8	9	10	11	12	13	14
											невозможной и небезопасной. Дополнительную нагрузку на гидрогеологическую систему осуществляет асфальтированная дорога, расположенная между ул. Советской и остальными улицами. Лишённая организованной дренажной системы, а также водоотводящих труб, дорога выполняет роль искусственного водораздела, препятствуя распределению грунтовых вод на смежные улицы и усугубляя ситуацию с подтоплением на данной территории. Площадь подтопления составляет около 0,27 км^2. На площади подтопления развиты глины, пески и суглинки четвертичного возраста. Факторы активизации – осадки весенне-летнего периода, региональный подъём УГВ.		
19-13-00001	Сибирский	Республика Хакасия	городской округ г. Саяногорск, пгт. Майна	53,99474	91,48774	00.04.2026	Не завершилась	Пт	Гидрол., техн., атм.	Отмечались	В пгт. Майна, ГО г. Саяногорска (пункт наблюдений пгт. Майна) с апреля 2026 г. зафиксирована активизация процесса подтопления. Подтопление подполий и погребов отмечается частично по ул. Кирова (УГВ около 1,0 м) и Калинина (УГВ от 1,4 до 1,0 м). УГВ поднимались в период обильного таяния снега (весной) и после прохождения сильных дождей (летом). Площадь подтопления составляет около 0,07 км^2. На площади подтопления развиты аллювиальные отложения третьей надпойменной террасы верхнеплейстоценового возраста (a3III), представленные галечниками, песками и суглинками. Факторы активизации – гидрологический режим реки, объёмы сбросов воды СШ ГЭС и осадки весенне-летнего периода.	–	–
19-13-00008	Сибирский	Республика Хакасия	г. Саяногорск, урочище Ай-Дай	53,06679	91,35926	00.04.2026	Не завершилась	Пт	Атм., сейсм., техн.	Отмечались	В г. Саяногорск, урочище Ай-Дай с апреля 2026 г. зафиксирована активизация процесса подтопления. Подтопление подвалов и погребов в 2026 г. отмечалось частично по ул. Полевая (УГВ около 2,0 м), Воздвиженская (УГВ 2,0 м) и Нагорная (вода из погреба откачивается хозяином дома в постоянном режиме). Подъём УГВ отмечается в период обильного таяния снега (весной) и после прохождения сильных дождей (летом). По ул. Нагорная и Воздвиженская подтопление носит постоянный характер. Площадь подтопления составляет около 0,13 км^2. На участке развиты делювиально-пролювиальные отложения верхнеплейстоцен-голоценового возраста (dpIII-H), представленные щебнем, суглинками, супесями и глинами. Факторы активизации – осадки весенне-летнего периода, активные сейсмические движения природного и техногенного характера, интенсивные буровзрывные работы при разработке карьеров и разрезов месторождений каменного угля.	–	Плановое обследование

1	2	3	4	5	6	7	8	9	10	11	12	13	14
19-13-00005	Сибирский	Республика Хакасия	Бейский район, с. Новотроицкое	53,15644	91,05284	00.04.2026	Не завершилась	Пт	Атм.	Отмечались	В с. Новотроицкое Бейского района (пункт наблюдений с. Новотроицкое) с апреля 2026 г. отмечается активизация процесса подтопления. На момент обследования северная часть села частично подтоплена (УГВ составляют 0,30-1,34 м). В весеннее время года УГВ поднимаются до 0,0 м, из-за чего гниют доски пола, деформируются фундаменты и стены жилых домов. Впервые в отчетном году подтопленным оказался погреб по ул. Коржукова, 24, жители отмечали повышение УГВ после прохождения сильных дождей. Площадь подтопления составляет около 0,19 км^2. На площади подтопления развиты глины, пески и суглинки четвертичного возраста. Фактор активизации – осадки весенне-летнего периода.		–
19-11-00002	Сибирский	Республика Хакасия	Алтайский район, уч. а/дороги Р-257, 430 км, в районе моста «Братский»	53,62699	91,54768	00.04.2026	00.09.2026	Оп	Атм., гидрогеол., техн.	Отмечались	В Алтайском районе, вдоль левого склона участка а/дороги Р-257 Абакан – Кызыл, 430 км (пункт наблюдений уч. а/дороги Р-257, Братский мост) наблюдалась активизация оползневого процесса. В 2026 г. зафиксировано отступание стенки отрыва на 0,2 м на протяжении всей ширины оползня. Максимальная высота стенки отрыва увеличилась на 0,7 м. Длина оползня 25,2 м, ширина 75 м, мощность 3,7 м. Негативное воздействие заключается в вывалах оползневых масс на полотно дороги на протяжении 75 м, для уборки которых привлекается тяжелая техника. Литологический состав горных пород на участке – аллювиальные пески, галечники и бурые глины нижнеплиоценового возраста (aN2). Факторы активизации – осадки весенне-летнего периода, УГВ техногенного водоносного горизонта, образованного при поливе дачного массива, расположенного на поверхности террасы р. Енисей и постоянные динамические нагрузки на полотно дороги.		–
19-11-00003	Сибирский	Республика Хакасия	Алтайский район, уч. а/дороги Р-257, 430 км, в районе моста «Братский»	53,62598	91,54769	00.04.2026	00.09.2026	Оп	Атм., гидрогеол., техн.	Отмечались	В Алтайском районе, вдоль правого склона участка а/дороги Р-257 Абакан – Кызыл, 430 км (пункт наблюдений уч. а/дороги Р-257, Братский мост) наблюдалась активизация оползневого процесса (оползень № 1). Отступание стенки отрыва левого блока на 60-метровом участке составило 0,7 м. Отступание стенки отрыва центрального блока на 120-метровом участке составило в среднем 1,0 м. На северо-восточной окраине оползня, где ранее был зафиксирован оползающий блок протяженностью 55 м и шириной 0,5 м, отмечаются свежие трещины отрыва видимой глубиной около 1,2 м, отделяющие новые блоки максимальной шириной до 0,8 м. В основаниях стенок отрыва зафиксировано просачивание грунтовых вод на поверхность. Длина оползня 51 м, ширина 190 м, мощность 4 м. Негативное воздействие заключается в вывалах оползневых масс на полотно дороги на протяжении 190 м, для уборки которых привлекается тяжелая техника. Литологический состав горных пород на		–

1	2	3	4	5	6	7	8	9	10	11	12	13	14
											участке – аллювиальные пески, галечники и бурые глины нижнеплиоценового возраста (aN2). Факторы активизации – осадки весенне-летнего периода, УГВ техногенного водоносного горизонта, образованного при поливе дачного массива, расположенного на поверхности террасы р. Енисей и постоянные динамические нагрузки на полотно дороги.		
19-11-00004	Сибирский	Республика Хакасия	Алтайский район, уч. а/дороги Р-257, 430 км, в районе моста «Братский»	53,62451	91,54494	00.04.2026	00.09.2026	Оп	Атм., гидрогеол., техн.	Отмечались	В Алтайском районе, вдоль правого склона участка а/дороги Р-257 Абакан – Кызыл, 430 км (пункт наблюдений уч. а/дороги Р-257, Братский мост) наблюдалась активизация оползневого процесса (оползень № 2). Отступания стенки отрыва основной бровки вверх по склону составило около 1,0 м. Вдоль основной бровки также отмечаются новые трещины, отделяющие блоки шириной от 0,3 до 1,8 м. Протяженность оползня вдоль бровки склона увеличилась на 0,5 м. Полевая дорога над бровкой склона полностью разрушена. Зафиксировано развитие промоины в левом борту оползня, глубина провала в вершине промоины составляет 1,1 м, ширина в вершине – 0,6 м. Левый борт промоины активно рушится. Длина оползня 39,5 м, ширина 131,5 м, мощность 3,6 м. Негативное воздействие заключается в вывалах оползневых масс на полотно дороги на протяжении 131 м, для уборки которых привлекается тяжелая техника. Литологический состав горных пород на участке – аллювиальные пески, галечники и бурые глины нижнеплиоценового возраста (aN2). Факторы активизации – осадки весенне-летнего периода, УГВ техногенного водоносного горизонта, образованного при поливе дачного массива, расположенного на поверхности террасы р. Енисей и постоянные динамические нагрузки на полотно дороги.		–
22-22-00051	Сибирский	Алтайский край	муниципальный округ Зональный район, в 0,7 км СВ с. Новая Чемровка	52,61310	85,06482	00.04.2026	00.10.2026	Эо	Атм.	Не отмечались	В 0,7 км СВ с. Новая Чемровка муниципального округа Зональный район с апреля 2026 г. отмечена активизация овражной эрозии. Процесс в стадии развития, базисом служит р. Чемровка. Длина оврага 155 м, средняя ширина 7 м, средняя глубина 3 м, площадь 2505 м^2. Отмечен размыв вершинной части и боковых склонов оврага. Овражная эрозия развивается в отложениях надпойменной террасы долины р. Оби, 4 Q_{II-III}, представленных суглинками. Фактор активизации: интенсивное снеготаяние, атмосферные осадки. В зоне потенциального воздействия – земли сельскохозяйственного назначения. Сооружения инженерной защиты отсутствуют.		Плановое обследование
22-22-00013	Сибирский	Алтайский край	муниципальный округ Зональный район, в 0,57 км СВ с. Новая Чемровка	52,61286	85,06653	00.04.2026	00.10.2026	Эо	Атм.	Не отмечались	В 0,57 км СВ с. Новая Чемровка муниципального округа Зональный район с апреля 2026 г. отмечена активизация овражной эрозии. Процесс в стадии развития, базисом служит р. Чемровка. Длина оврага 393 м, средняя ширина 19,5 м, средняя глубина 4 м, площадь 7851 м^2. Отмечен размыв вершинной части, боковых склонов и устьевой части оврага. Овражная		Плановое обследование

1	2	3	4	5	6	7	8	9	10	11	12	13	14
											эрозия развивается в отложениях надпойменной террасы долины р. Оби, 4 Q_{II-III}, представленных суглинками. Фактор активизации: интенсивное снеготаяние, атмосферные осадки. В зоне потенциального воздействия – земли сельскохозяйственного назначения. Сооружения инженерной защиты отсутствуют.		
22-11-00056	Сибирский	Алтайский край	Калманский район, в 1,0 км Ю с. Бураново	53,02750	83,62039	00.04.2026	Не завершилась	Оп	Атм., гидрол.	Не отмечались	В 1,0 км Ю с. Бураново Калманского района с апреля 2026 г. отмечена активизация оползневого процесса. Оползень в стадии затухания, базисом служит левый береговой склон долины р. Обь. Длина оползня 77,5 м, ширина 67,63 м, площадь 5241 м^2. Предыдущая активизация оползневого процесса зафиксирована в начале июня 2025 г. за год прирост площади составил 84,1 м^2. Оползневой процесс развивается в суглинках полигенетических отложений краснодубровской свиты, pq Q_{I-II} kd. Факторы активизации: интенсивное таяние снега, атмосферные осадки и подмыв основания склона водами реки. Сооружения инженерной защиты отсутствуют.		Плановое обследование
22-22-00052	Сибирский	Алтайский край	Калманский район, в 1,0 км Ю с. Бураново	53,02768	83,61974	00.04.2026	Не завершилась	Эо	Атм.	Не отмечались	В 1,0 км Ю с. Бураново Калманского района с апреля 2026 г. отмечена активизация овражной эрозии. Процесс в стадии развития, базисом служит р. Обь. Длина оврага 69 м, средняя ширина 10 м, средняя глубина 8 м, площадь 690 м^2. Отмечен размыв вершинной части и на правом склоне оврага. Овражная эрозия развивается в полигенетических отложениях краснодубровской свиты, pq Q_{I-II} kd, представленных суглинками. Фактор активизации: интенсивное снеготаяние, атмосферные осадки. В зоне потенциального воздействия – земли сельскохозяйственного назначения. Сооружения инженерной защиты отсутствуют.		Плановое обследование
22-22-00053	Сибирский	Алтайский край	Калманский район, в 1,6 км Ю с. Бураново	53,02189	83,61880	00.04.2026	Не завершилась	Эо	Атм.	Не отмечались	В 1,6 км Ю с. Бураново Калманского района с апреля 2026 г. отмечена активизация овражной эрозии. Процесс в стадии развития, базисом служит р. Обь. Длина оврага 41 м, средняя ширина 13 м, средняя глубина 6 м, площадь 533 м^2. Отмечен размыв вершинной части и на боковых склонах оврага. Овражная эрозия развивается в полигенетических отложениях краснодубровской свиты, pq Q_{I-II} kd, представленных суглинками. Фактор активизации: интенсивное снеготаяние, атмосферные осадки. В зоне потенциального воздействия – земли сельскохозяйственного назначения. Сооружения инженерной защиты отсутствуют.		Плановое обследование
22-22-00054	Сибирский	Алтайский край	Калманский район, в 1,9 км Ю с. Бураново	53,01967	83,61757	00.04.2026	Не завершилась	Эо	Атм.	Не отмечались	В 1,9 км Ю с. Бураново Калманского района с апреля 2026 г. отмечена активизация овражной эрозии. Процесс в стадии развития, базисом служит р. Обь. Длина оврага 201,5 м, средняя ширина 41,18 м, средняя глубина 5 м, площадь 8298 м^2. Отмечен размыв вершинной части и на боковых склонах оврага. Овражная эрозия развивается в полигенетических отложениях краснодубровской		Плановое обследование

1	2	3	4	5	6	7	8	9	10	11	12	13	14
											свиты, pq Q_{I-II} kd, представленных суглинками. Фактор активизации: интенсивное снеготаяние, атмосферные осадки. В зоне потенциального воздействия – земли сельскохозяйственного назначения. Сооружения инженерной защиты отсутствуют.		
22-22-00055	Сибирский	Алтайский край	Калманский район, в 1,9 км Ю с. Бураново	53,01905	83,61806	00.04.2026	Не завершилась	Эо	Атм.	Не отмечались	В 1,9 км Ю с. Бураново Калманского района с апреля 2026 г. отмечена активизация овражной эрозии. Процесс в стадии развития, базисом служит р. Обь. Длина оврага 99 м, средняя ширина 25 м, средняя глубина 4 м, площадь 2475 м^2. Отмечен размыв вершинной части и на боковых склонах оврага. Овражная эрозия развивается в полигенетических отложениях краснодубровской свиты, pq Q_{I-II} kd, представленных суглинками. Фактор активизации: интенсивное снеготаяние, атмосферные осадки. В зоне потенциального воздействия – земли сельскохозяйственного назначения. Сооружения инженерной защиты отсутствуют.		Плановое обследование
22-22-00056	Сибирский	Алтайский край	Калманский район, в 2,1 км Ю с. Бураново	53,01785	83,61716	00.04.2026	Не завершилась	Эо	Атм.	Не отмечались	В 2,1 км Ю с. Бураново Калманского района с апреля 2026 г. отмечена активизация овражной эрозии. Процесс в стадии развития, базисом служит р. Обь. Длина оврага 186 м, средняя ширина 36 м, средняя глубина 8 м, площадь 7262 м^2. Отмечен размыв вершинной части и на боковых склонах оврага. Овражная эрозия развивается в полигенетических отложениях краснодубровской свиты, pq Q_{I-II} kd, представленных суглинками. Фактор активизации: интенсивное снеготаяние, атмосферные осадки. В зоне потенциального воздействия – земли сельскохозяйственного назначения. Сооружения инженерной защиты отсутствуют.		Плановое обследование
22-22-00057	Сибирский	Алтайский край	Калманский район, в 2,2 км Ю с. Бураново	53,01726	83,61765	00.04.2026	Не завершилась	Эо	Атм.	Не отмечались	В 2,2 км Ю с. Бураново Калманского района с апреля 2026 г. отмечена активизация овражной эрозии. Процесс в стадии развития, базисом служит р. Обь. Длина оврага 108 м, средняя ширина 43,8 м, средняя глубина 10 м, площадь 4731 м^2. Отмечен размыв вершинной части и на левом боковом склоне оврага. Овражная эрозия развивается в полигенетических отложениях краснодубровской свиты, pq Q_{I-II} kd, представленных суглинками. Фактор активизации: интенсивное снеготаяние, атмосферные осадки. В зоне потенциального воздействия – земли сельскохозяйственного назначения. Сооружения инженерной защиты отсутствуют.		Плановое обследование
24-13-00001	Сибирский	Красноярский край	Минусинский округ, г. Минусинск	53,70044	91,71870	01.01.2026	Не завершилась	Пт	Атм.	Отмечались	В г. Минусинске Минусинского округа (пункт наблюдений Минусинск) продолжается развитие процесса подтопления. Подтопленными остаются северная и восточная окраины города (около 50 подворий в мкр. Дружба и Энергетик, в районе Цыганского болота). Наиболее подвержены подтоплению ул. Комсомольская, Кутузова, Невского, Молодежная, Красноярская, Утро Сентябрьское, Енисейская, Ленина, и Манская, УГВ изменяется от 1,6 м до 0,0 м и выше уровня		–

1	2	3	4	5	6	7	8	9	10	11	12	13	14
											поверхности земли. По ул. Московская, Трактовая, Усинская, им. М.И. Глушкова, а также по пер. Тальскому и Московскому проезду процесс подтопления проявляется в меньше степени, однако УГВ составляют 1,5-3,8 м. Режим подтопления для большинства участков практически круглогодичный, но наиболее высокие уровни отмечаются весной. Площадь подтопления ориентировочно составляет около 1,22 км^2. На площади подтопления развиты четвертичные пески, супеси с низкими фильтрационными свойствами, подстилаемые водоупорными глинистыми отложениями. Фактор активизации – избыточное количество осадков в весенне-летнее время.		
24-13-00013	Сибирский	Красноярский край	Балахтинско-Новосёловский округ, п. Интикуль	54,95273	90,58448	01.01.2026	Не завершилась	Пт	Атм., гидрогеол., гидрол.	Отмечались	В п. Интикуль Балахтинско-Новоселовского округа продолжается активизация процесса подтопления. В 2026 г. подтопление погребов и подполий отмечалось по ул. Щетинкина, Октябрьская (УГВ 0,3-0,0 м и выше уровня поверхности земли), Карла Маркса, Молодёжная и Степная (УГВ 1,5 м и ниже). Воздействию подвержены 6 жилых домов, 13 приусадебных участков, 88 подполий в 52 жилых домах и 2 СЗО. Площадь подтопления составляет около 0,34 км^2. На площади подтопления развиты нерасчленённые палеозойские породы, перекрытые пролювиально-делювиальными и элювиальными щебнистыми суглинками и глинами мощностью 0,5-5 м. Факторы активизации – метеорологический (обильные осадки весенне-летнего периода 2026 г.), гидрогеологический (подъем грунтовых вод), гидрологический (увеличение за последние годы уровня воды в оз. Интиколь).		Плановое обследование
24-13-00010	Сибирский	Красноярский край	Богучанский округ, с. Богучаны	58,38391	97,48274	00.03.2026	Не завершилась	Пт	Атм., техн.	Отмечались	В с. Богучаны Богучанского округа (пункт наблюдений с. Богучаны) с марта 2026 г. отмечается активизация процесса подтопления. Подтопление погребов и подполий зафиксировано по ул. Совхозная, 40 лет Победы, пер. Толстого, Тургенева и Шевченко (УГВ -0,8-0,0 м) и по ул. Луговая, Аэровокзальная, Советская, Ленина, а также пер. Механизаторов, Кирова и Маяковского (УГВ 2,2-1,5 м). Практически повсеместно отмечаются деформация несущих конструкций жилых зданий, вспучивание грунта, полов, автомобильных дорог, увядание берёз, деформация столбов и дорожных знаков. Режим подтопления для некоторых участков круглогодичный, наиболее высокие уровни отмечаются весной. Площадь подтопления составляет около 0,76 км^2. На площади подтопления развиты средне-четвертичные аллювиальные отложения, представленные песками с линзами галечников и суглинков мощностью до 10-15 м. Факторы активизации – метеорологический (обильные осадки весенне-летнего периода 2026 г.) и техногенный (недостаточная эффективность работы водопонизительных скважин, утечка водопровода).	–	–

1	2	3	4	5	6	7	8	9	10	11	12	13	14
24-13-00002	Сибирский	Красноярский край	Балахтинско-Новоселовский округ, пгт. Балахта, северо-восточная часть	55,39214	91,63146	00.04.2026	Не завершилась	Пт	Гидрогеол., атм., техн.	Отмечались	В пгт. Балахта Балахтинско-Новоселовского округа (пункт наблюдений Балахта) с апреля 2026 г. наблюдается активизация процесса подтопления. УГВ в погребах и подпольях составляли 0,0-1,5 м в северо-восточной (ул. Ленина) и 1,2-4,0 м в юго-восточной (ул. Молодёжная, Новосёловская, Борисевича, Овражная и Сибирская) частях посёлка. Круглый год вода стоит в погребах и подпольях по ул. Ленина, Молодёжная и Борисевича, в остальных случаях жители отмечают активизацию процесса весной (в период обильного таяния снега), летом и осенью (в периоды сильных дождей). Площадь подтопления составляет около 1,07 км^2. На площади подтопления развиты четвертичные пески, супеси, суглинки (часто лессовидными), подстилаемые песчаниками, туфопесчаниками, аргиллитами и алевролитами нижнего карбона. Факторы активизации – наличие слабопроницаемых отложений, значительные осадки зимне-весеннего периода и строительство объектов без водопропускных систем.	–	–
24-13-00005	Сибирский	Красноярский край	Абанский округ, п. Абан	56,68568	96,07280	00.04.2026	Не завершилась	Пт	Атм., гидрол., гидрогеол.	Отмечались	В п. Абан Абанского округа с апреля 2026 г. наблюдается активизация процесса подтопления. Подтопление погребов и подполий отмечалось по ул. Озёрная, Примакова, Болотная (УГВ 0,5-1,5 м), 1 Мая, Комсомольская, Луговая, Чернышевского (УГВ 1,0 м и ниже) и Набережная (УГВ 1,5 м и ниже). Площадь подтопления составляет около 0,49 км^2. На площади подтопления развиты четвертичные отложения, представленные песками, галечниками, супесями и суглинками. Факторы активизации – значительные осадки зимне-весеннего периода, высокий уровень воды в оз. Абан и подъем грунтовых вод.	–	Плановое обследование
24-11-00002	Сибирский	Красноярский край	Емельяновский округ, СВ окраина п. 13-ти Борцов, левый борт р. Кача	56,22238	92,33381	00.04.2026	00.09.2026	Оп	Атм., гидрол.	Не отмечались	В Емельяновском округе, в северо-восточной части п. Памяти 13 Борцов (пункт наблюдений Стеклозавод), на левом берегу р. Кача развивается оползневой процесс. Длина оползня 200 м, ширина 300 м, площадь – 40631 м^2, мощность 12 м. Наиболее активна приурезовая часть оползневого массива, где колебания смещения реперов составили от +27 до -1767 мм. Юго-западная и западная части чаще испытывали нисходящие смещения. Смещение реперов здесь колебались +24 до -77 мм. Оползневой процесс развивается на древнеоползневом склоне, в суглинках и супесях с щебнем, галькой и дресвой нижнечетвертичного возраста подстилаемых корой выветривания среднеюрских отложений (глины, алевролиты, аргиллиты). Базисом эрозии является р. Кача. Факторами активизации являются обильные осадки весенне-летних месяцев и высокие уровни р. Кача, что привело к подмыву основания оползневого склона.	–	–

1	2	3	4	5	6	7	8	9	10	11	12	13	14
24-11-00003	Сибирский	Красноярский край	Балахтинско-Новоселовский округ, правый склон долины р. Чулым, в 4,7 км ЮВ д. Малые Сыры	55,46910	91,61166	00.04.2026	00.09.2026	Оп	Атм., гидрол.	Не отмечались	В Балахтинско-Новоселовском округе, на правом склоне долины р. Чулым, в 4,7 км ЮВ д. Малые Сыры (пункт наблюдений Малосырский) развивается оползневой процесс. Длина оползня-потока 280 м, ширина 300 м, площадь 80750 м^2. Вдоль левого борта зафиксированы свежие оползания и вывалы грунта. Колебания смещений здесь составили от +18 мм до -557 мм. Базисом эрозии является р. Чулым. Оползневой процесс развивается в четвертичных суглинках, супесях, иловатых песках, подстилаемых юрскими пластичными глинами. Факторы активизации - осадки весенне-летних месяцев и подъем уровня р. Чулым во время паводка, что привело к подмыву основания оползневого склона.		–
24-11-00004	Сибирский	Красноярский край	Балахтинско-Новоселовский округ, правый склон долины р. Чулым, в 4,3 км ЮВ д. Малые Сыры	55,47382	91,61077	00.04.2026	00.09.2026	Оп	Атм., гидрол.	Не отмечались	В Балахтинско-Новоселовском округе, на правом склоне долины р. Чулым, в 4,3 км ЮВ д. Малые Сыры (пункт наблюдений Малосырский) развивается оползневой процесс. Длина блокового оползня 500 м, ширина 420 м, площадь 117600 м^2. По визуальным оценкам вдоль бровки стенки отрыва древнего оползня отмечается большое количество свежих обрушений и оползаний пород. Колебания смещений составили от +115 мм до -531 мм. Базисом эрозии является р. Чулым. Оползневой процесс развивается в четвертичных суглинках, супесях, иловатых песках, подстилаемых юрскими пластичными глинами. Факторы активизации - осадки весенне-летних месяцев и подъем уровня р. Чулым во время паводка, что привело к подмыву основания оползневого склона.		–
24-11-00007	Сибирский	Красноярский край	Манско-Уярский округ, транссибирская ж.д. магистраль, 4215 км, в 0,6 км ЮВ о.п. Косогор	55,82618	94,11179	00.04.2026	00.09.2026	Оп	Атм., гидрогеол., техн.	Не отмечались	В Манско-Уярском округе, в 0,6 км ЮВ о.п. Косогор (пункт наблюдений Балайский Косогор) развивается оползневой процесс. В средней части оползневого склона длиной 350 м, шириной 250 м и площадью 87500 м^2 проходит полотно Транссибирское ж.д. магистрали. Амплитуды вертикальных смещений реперов колеблются от +33 мм до -57 мм, что говорит о снижении активности глубинных оползневых смещений относительно 2025 г. Оползневой склон сложен делювиально-пролювиальными лессовидными суглинками и супесями, подстилаемые корой выветривания нижнеюрских песчаников, алевролитов и аргиллитов. Юрские породы характеризуются сильной обводнённостью, что предопределило развитие на склоне глубинного оползня. Визуально оползневые деформации не фиксируются. Базисом эрозии является р. Балай. Факторы активизации – метеорологический (осадки весенне-летних месяцев), гидрогеологический (степень обводненности пород в подошве оползня) и техногенный (динамические нагрузки от проходящего транспорта).		–

1	2	3	4	5	6	7	8	9	10	11	12	13	14
24-17-00008	Сибирский	Красноярский край	Манско-Уярский округ, транссибирская ж.д. магистраль, в 0,4 км ЮВ о.п. Косогор	55,82832	94,11088	00.04.2026	00.09.2026	Су	Атм., гидрогеол.	Не отмечались	В Манско-Уярском округе, в 0,4 км ЮВ о.п. Косогор (пункт наблюдений Балайский Косогор) развивается суффозионная воронка площадью 7,59 м^2. В 2026 г. площадь воронки увеличилась на 4,09 м^2, а глубина – до 2,4 м. Литологический состав пород на участке представлен делювиально-пролювиальными лессовидными суглинками и супесями, подстилаемые корой выветривания нижнеюрских песчаников, алевролитов и аргиллитов. Факторы активизации - обильные осадки весенне-летнего периода и уровень грунтовых вод.		–
24-22-00027	Сибирский	Красноярский край	Идринско-Краснотуранский округ, в 0,28 км С с. Краснотуранск	54,32664	91,57361	00.04.2026	00.08.2026	Эо	Атм.	Не отмечались	В Идринско-Краснотуранском округе, в 0,28 км С с. Краснотуранск (пункт наблюдений Краснотуранск), по древнему логу развивается овраг. Длина оврага 583,1 м, ширина до 20 м, глубина до 25 м. Зафиксировано отступание в вершине на 2,1 м. По левому борту (на протяжении 25 м, шириной 0,5 м) отмечаются незначительные осыпания площадью около 12,5 м^2. В днище оврага водобойный колодец диаметром около 2 м. Базисом эрозии является залив Сыда. Овражная эрозия развивается на площади распространения делювиально-пролювиальных лессовидных суглинков и супесей четвертичного возраста. Фактор активизации: осадки весенне-летнего периода.		–
24-22-00041	Сибирский	Красноярский край	Идринско-Краснотуранский округ, вдоль а/дороги Минусинск – Беллык, 93 км, в 2,8 км СЗ д. Белоярск	54,41270	91,65957	00.04.2026	00.08.2026	Эо	Атм.	Отмечались	В Идринско-Краснотуранском округе, в 2,8 км СЗ д. Белоярск, на 93 км а/дороги Минусинск – Беллык (пункт наблюдений уч. а/дороги Минусинск – Беллык, 93 км) от водопропускной трубы под полотном дороги развивается овраг. Вершина оврага укреплена крупноглыбовым материалом, и активизация процесса заключается в обрушении бортов оврага, что привело к увеличению площади оврага. Протяженность оврага 600 м, ширина до 19 м, глубина до 10 м. Базисом эрозии является залив Уза. Процесс овражной эрозии развивается в делювиально-пролювиальных лессовидных суглинках и супесях четвертичного возраста. Фактор активизации - осадки весенне-летнего периода. Негативное воздействие заключается в выводе из оборота с/х угодий площадью около 11,0 м^2.		–
24-22-00039	Сибирский	Красноярский край	Идринско-Краснотуранский округ, уч. а/дороги Минусинск-Беллык, 98 км, в 2 км З д. Уза	54,43355	91,58460	00.04.2026	00.08.2026	Эо	Атм.	Отмечались	В Идринско-Краснотуранском округе, в 2 км З д. Уза (пункт наблюдений уч. а/дороги Минусинск – Беллык, 98 км), на землях с/х назначения по линии стока оврага «Центральный» развивается овраг «Основной». Протяженность оврага 1070,3 м, ширина до 20 м, глубина до 15 м. Отступание в вершине оврага составило 0,3 м, левого отвершка на 3,6 м. Средняя скорость процесса для оврага 1,95 м. Базисом эрозии является р. Камышта. Процесс овражной эрозии развивается в делювиально-пролювиальных лессовидных суглинках и супесях четвертичного возраста Фактор активизации - осадки весенне-летнего периода. Негативное воздействие заключается в выводе из оборота с/х угодий		–

1	2	3	4	5	6	7	8	9	10	11	12	13	14
											площадью около 74,0 м^2.		
24-22-00069	Сибирский	Красноярский край	Идринско-Краснотуранский округ, вдоль а/дороги на д. Листвягово, в 5,5 км СВ д. Листвягово	54,00305	91,73085	00.04.2026	00.08.2026	Эо	Атм.	Отмечались	В Идринско-Краснотуранском округе, в 5,5 км СВ д. Листвягово (пункт наблюдений с/х угодья Краснотуранского района), вдоль а/дороги на д. Листвягово отмечена активизация овражной эрозии. Протяженность оврага №3 составляет около 1113,9 м, ширина от 8 до 20 м, глубина до 6,5 м. Овраг имеет три вершины и отвершки. Отступание в вершинах составило 1,5-1,9 м, отступание в вершинах отвершков по левому борту составило 0,5-1,0 м. Отмечается образование нового суффозионного колодца диаметром 1,5 м и видимой глубиной до 1,8 м. На дне колодца сформирован суффозионный канал. Средняя скорость развития процесса для оврага 0,69 м. Базисом эрозии является овраг, расположенный ниже по линии стока. Процесс овражной эрозии развивается в делювиально-пролювиальных лессовидных супесях и суглинках четвертичного возраста. Фактор активизации – осадки весенне-летнего периода. Негативное воздействие заключается в выводе из оборота с/х угодий площадью около 18,2 м^2.		–
24-22-00070	Сибирский	Красноярский край	Идринско-Краснотуранский округ, вдоль а/дороги на д. Листвягово, в 5,5 км СВ д. Листвягово	54,00011	91,73896	00.04.2026	00.08.2026	Эо	Атм.	Отмечались	В Идринско-Краснотуранском округе, в 5,5 км СВ д. Листвягово (пункт наблюдений с/х угодья Краснотуранского района), вдоль а/дороги на д. Листвягово отмечена активизация овражной эрозии. Протяженность оврага №4 602 м, ширина изменяется от 0,9 до 15 м, глубина до 4 м. Активизация процесса происходит за счет отступания вершины оврага на 0,5 м, вершины отвершка на 9,5 м, обрушения по правому борту оврага. Средняя скорость развития процесса для оврага 5,0 м. Базисом эрозии является Тубинский залив. Процесс овражной эрозии развивается в делювиально-пролювиальных лессовидных супесях и суглинках четвертичного возраста. Фактор активизации – осадки весенне-летнего периода. Негативное воздействие заключается в выводе из оборота с/х угодий площадью около 80,0 м^2.		–
24-22-00053	Сибирский	Красноярский край	Минусинский округ, в 7 км В с. Мал. Минуса	53,74433	91,90345	00.04.2026	00.08.2026	Эо	Атм.	Отмечались	В Минусинском округе, в 7 км В с. Мал. Минуса (пункт наблюдений Спартак), на частных с/х угодьях зафиксирована активизация оврага № 3. Протяженность оврага составила 97,7 м, ширина 8,6 м, глубина 3,0 м. По правому борту оврага отмечаются следы свежих обрушений шириной 0,5 м на протяжении 1,0 м и незначительных осыпаний на протяжении 11,1 м. По левому борту оврага отступание отвершка 1 составило 5,5 м и зафиксировано образование нового отвершка длиной 4,0 м, шириной 2,1 м. Средняя скорость развития процесса составила 3,17 м. Базисом эрозии является русло оврага, развивающегося ниже по линии стока. Овраг развивается в делювиально-пролювиальных лессовидных супесях и суглинках. Фактор активизации - осадки весенне-летнего периода.		–

1	2	3	4	5	6	7	8	9	10	11	12	13	14
											Негативное воздействие заключается в выводе из оборота с/х угодий площадью около 19,9 м^2.		
24-22-00056	Сибирский	Красноярский край	Минусинский округ, в 7 км В с. Мал. Минуса	53,74385	91,90091	00.04.2026	00.08.2026	Эо	Атм.	Отмечались	В Минусинском округе, в 7 км В с. Мал. Минуса (пункт наблюдений Спартак), на частных с/х угодьях зафиксирована активизация оврага № 6. Протяженность оврага 87 м, ширина в вершине 19 м, глубина 2,5 м. Отступание в правой вершине оврага составило 1,0 м, в левой – 0,5 м. Отмечаются значительные обрушения в бортах вершин. Средняя скорость развития оврага составляет 0,75 м. Базисом эрозии является русло оврага, развивающегося ниже по линии стока. Овраг развивается в делювиально-пролювиальных лессовидных супесях и суглинках. Фактор активизации - осадки весенне-летнего периода. Негативное воздействие заключается в выводе из оборота с/х угодий площадью около 8,8 м^2.		–
24-22-00021	Сибирский	Красноярский край	Минусинский округ, п. Суходол	53,78123	91,78299	00.04.2026	00.08.2026	Эо	Атм.	Не отмечались	В Минусинском округе, вдоль восточной окраины п. Суходол (пункт наблюдений Суходол) по руслу пересыхающего руч. Харасуг развивается современный овраг. Протяженность оврага составляет 1361,5 м, ширина до 60 м, глубина до 12 м. Активизация процесса происходит за счет роста вершин оврага на 7,0 м, старой вершины оврага на 1,5 м и отвершков на 0,7-2,0 м. Средняя скорость развития процесса для оврага составила 0,87 м. Базисом развития процесса является р. Минусинка. В зоне потенциального воздействия опоры ЛЭП. Литологический состав горных пород на участке представлен делювиально-пролювиальными лессовидными суглинками, супесями. Фактор активизации - осадки весенне-летнего периода.		–
24-22-00025	Сибирский	Красноярский край	Минусинский округ, восточная окраина п. Пригородный	53,54459	92,03138	00.04.2026	00.08.2026	Эо	Атм.	Не отмечались	В Минусинском округе, вдоль восточной окраины п. Пригородный (пункт наблюдений Пригородный) отмечена активизация процесса овражной эрозии. Протяженность оврага Восточный увеличилась до 614,5 м, ширина 15-70 м, глубина – до 15 м. Отступание вершины оврага составило 1,3 м, вершины отвершка по правому борту – 0,7 м. Борта вершин активно рушатся. Средняя скорость развития процесса 0,67 м. Базисом развития процесса овражной эрозии на участке является р. Лугавка. Овраг развивается на площади распространения делювиальных лессовидных супесей и суглинков. Фактор активизации - осадки весенне-летнего периода.		–
24-22-00026	Сибирский	Красноярский край	Минусинский округ, с. Новотроицкое, южная окраина	53,85692	91,80239	00.04.2026	00.08.2026	Эо	Атм.	Не отмечались	В Минусинском округе, вдоль южной окраины с. Новотроицкое (пункт наблюдений Новотроицкое) зафиксирована активизация процесса овражной эрозии. Протяженность оврага составила 833,8 м, ширина до 100 м, глубина до 15 м. Отступание вершины оврага составило 1,2 м, в вершинах отвершков – 0,4-0,5 м. Средняя скорость развития процесса 0,21 м. Базисом эрозии является р. Мокрая Бедра. Овраг развивается в делювиально-пролювиальных лессовидных супесях и суглинках.		–

1	2	3	4	5	6	7	8	9	10	11	12	13	14
											Фактор активизации - осадки весенне-летнего периода.		
24-17-00003	Сибирский	Красноярский край	Минусинский округ, в 12,3 км севернее с. Городок	54,03556	91,77361	00.04.2026	00.08.2026	Су	Атм.	Отмечались	В Минусинском округе, в 12,3 км С с. Городок, на частных (заброшенных) с/х угодьях (пункт наблюдений с/х угодья Минусинского района) развивается суффозионный процесс. Активизация процесса заключалась в обрушении поверхности земли над суффозионными каналами на всем протяжении участка. Отмечается образование нового отвершка длиной 2,1-3,5 м, шириной 1,1-3,0 м, глубиной 1,3-3,7 м. Протяженность всего участка проявления суффозии 420 м, площадь 1505,74 м^2. Базисом эрозии является склон долины р. Туба. Суффозионный процесс развивается в верхнечетвертичных делювиально-пролювиальных лессовидных супесях и суглинках. Фактор активизации - осадки весенне-летнего периода. Негативное воздействие заключается в выводе из оборота с/х угодий площадью около 48,7 м^2.		–
24-22-00088	Сибирский	Красноярский край	Минусинский округ, в 11,5 км С с. Городок	54,01898	91,77216	00.04.2026	00.08.2026	Эо	Атм.	Отмечались	В Минусинском округе, в 11,5 км С с. Городок, на частных (заброшенных) с/х угодьях (пункт наблюдений с/х угодья Минусинского района) зафиксирована активизация овражной эрозии. Протяженность оврага №1до 3455,5 м, ширина от 0,5 до 20 м, глубина от 0,5 до 5,5 м. Отступание вершины оврага составило 1,5 м, вершин отвершков – 1,0-2,0 м. Борта оврага активно обрушаются. Отмечается образование нового отвершка просадочного типа длиной 5,7 м, шириной 6,0-9,2 м и глубиной 2,2 м. Базисом эрозии является залив Туба. Овраг развивается в верхнечетвертичных делювиально-пролювиальных лессовидных супесях и суглинках. Фактор активизации - осадки весенне-летнего периода. Негативное воздействие заключается в выводе из оборота с/х угодий площадью около 24,3 м^2.		–
24-22-00089	Сибирский	Красноярский край	Минусинский округ, в 9,3 км С с. Городок	54,00954	91,77089	00.04.2026	00.08.2026	Эо	Атм.	Не отмечались	В Минусинском округе, в 9,3 км С с. Городок, на частных (заброшенных) с/х угодьях (пункт наблюдений с/х угодья Минусинского района) зафиксирована активизация овражной эрозии. Протяженность оврага №2 около 226 м, ширина от 2 до 9 м, глубина от 0,5 до 4,1 м. Вершина оврага отступила на 1,0 м. По левому борту оврага на протяжении 5,0 м отмечается обрушение шириной 0,8 м. Базисом эрозии является залив Туба. Проявление развивается в верхнечетвертичных делювиально-пролювиальных лессовидных супесях и суглинках. Фактор активизации - осадки весенне-летнего периода.		–

1	2	3	4	5	6	7	8	9	10	11	12	13	14
24-22-00090	Сибирский	Красноярский край	Минусинский округ, в 9,3 км С с. Городок	54,00698	91,77216	00.04.2026	00.08.2026	Эо	Атм.	Не отмечались	В Минусинском округе, в 9,3 км С с. Городок, на частных (заброшенных) с/х угодьях (пункт наблюдений с/х угодья Минусинского района) зафиксирована активизация овражной эрозии. Протяженность оврага №3 около 75,9 м, ширина достигает 12,5 м, глубина – 4,5 м. Вершина оврага отступила на 0,9 м. К вершине ведет слабовыраженная в рельефе ложбина стока. Через 70 м русло резко выполаживается и теряется в рельефе. Базисом эрозии является залив Туба. Проявление развивается в верхнечетвертичных делювиально-пролювиальных лессовидных супесях и суглинках. Фактор активизации - осадки весенне-летнего периода.		–
24-22-00031	Сибирский	Красноярский край	Канский округ, правый борт долины р. Кан, в 0,5 км З с. Анцирь	56,26363	95,48919	00.04.2026	00.07.2026	Эо	Атм.	Не отмечались	В Канском округе, в 0,5 км З с. Анцирь (пункт наблюдений уч. а/дороги Анцирь – Хаерино) на первом (верхнем) уступе древнеоползневого склона правого борта р. Кан зафиксирована активизация овражной эрозии. Протяженность оврага №1 160,5 м, ширина до 20 м, глубина до 12 м. Отступание вершины отвершка по правому борту оврага составило 0,5 м. По левому борту на протяжении 20 м отмечается свежая трещина отрыва шириной 0,1-0,2 м. Средняя скорость развития оврага 0,125 м. Комплексы горных пород, затронутые проявлением представлены современными аллювиальными песками, супесями и суглинками. Фактор активизации – осадки весенне-летних месяцев.		–
24-22-00032	Сибирский	Красноярский край	Канский округ, правый борт долины р. Кан, в 0,5 км З с. Анцирь	56,26211	95,49097	00.04.2026	00.07.2026	Эо	Атм.	Не отмечались	В Канском округе, в 0,5 км З с. Анцирь (пункт наблюдений уч. а/дороги Анцирь – Хаерино) на втором (нижнем) уступе древнеоползневого склона правого борта р. Кан зафиксирована активизация овражной эрозии. Протяженность оврага №2 178 м, ширина до 20 м, глубина до 12 м. Активизация процесса отмечается в обрушении бортов вершины оврага, отступании вершин отвершков на 0,3-0,8 м и образовании нового отвершка длиной 3 м, шириной 1,6-4,5 м. Средняя скорость развития оврага 0,315 м. Комплексы горных пород, затронутые проявлением представлены современными аллювиальными песками, супесями и суглинками. Фактор активизации – осадки весенне-летних месяцев.		–
24-22-00034	Сибирский	Красноярский край	Канский округ, правый борт долины р. Кан, в 0,5 км З с. Анцирь	56,26373	95,49124	00.04.2026	00.07.2026	Эо	Атм.	Не отмечались	В Канском округе, в 0,5 км З с. Анцирь (пункт наблюдений уч. а/дороги Анцирь – Хаерино), на первом уступе древнеоползневого склона правого борта р. Кан зафиксирована активизация овражной эрозии. Протяженность оврага №4 109,5 м, ширина до 16 м, глубина до 6 м. Вершина оврага отступила на 1,5 м. Обрушения в бортах вершины отмечаются на протяжении 14,0 м и 9,0 м. В устьевой части оврага зафиксирован новый суффозионный провал длиной 0,7 м, шириной 0,6 м и глубиной 0,5 м. Средняя скорость развития оврага составила 0,75 м. Комплексы горных пород, затронутые проявлением представлены современными аллювиальными		–

1	2	3	4	5	6	7	8	9	10	11	12	13	14
											песками, супесями и суглинками. Фактор активизации – осадки весенне-летних месяцев.		
24-17-00005	Сибирский	Красноярский край	Канский округ, правый борт долины р. Кан, в 0,5 км З с. Анцирь	56,26249	95,49162	00.04.2026	00.07.2026	Су	Атм.	Не отмечались	В Канском округе, 0,5 км З с. Анцирь (пункт наблюдений уч. а/дороги Анцирь – Хаерино) на втором (нижнем) уступе древнеоползневого склона правого борта р. Кан развивается суффозионный провал № 2 длиной 6 м, шириной 5 м, глубиной 3,2 м, площадью 30 м^2. В бортах провала просматриваются суффозионные каналы. Отмечается увеличение видимой глубины провала на 0,7 м. Комплексы горных пород, затронутые проявлением представлены современными аллювиальными песками, супесями и суглинками. Фактор активизации – осадки весенне-летних месяцев.		–
24-22-00028	Сибирский	Красноярский край	Балахтинско-Новоселовский округ, вдоль правой стороны а/дороги Р-257, 242 км, в 3,5 км З с. Новоселово	55,00679	90,90319	00.04.2026	00.08.2026	Эо	Атм.	Не отмечались	В Балахтинско-Новоселовском округе, в 3,5 км З с. Новоселово, вдоль правой стороны а/дороги Р-257 (пункт наблюдений уч. а/дороги Р-257, 242 км) развивается овраг «Правый» каскадного типа. Протяженность оврага 1136,5 м, ширина 5-6 м, глубина 0,5-1,8 м. Зафиксировано отступание в вершине оврага на 0,5 м, вершине отвершка 1 – на 1,0 м. Средняя скорость развития оврага составила 0,75 м. Базисом эрозии оврага является лог Борозда. Литологический состав горных пород на участке представлен делювиально-пролювиальными лессовидными суглинками, супесями. Фактор активизации - осадки весенне-летнего периода.	–	–
24-22-00029	Сибирский	Красноярский край	Балахтинско-Новоселовский округ, вдоль левой стороны а/дороги Р-257, 242 км, в 3,5 км З с. Новоселово	55,00810	90,90891	00.04.2026	00.08.2026	Эо	Атм.	Не отмечались	В Балахтинско-Новоселовском округе, в 3,5 км З с. Новоселово, вдоль левой стороны а/дороги Р-257 (пункт наблюдений уч. а/дороги Р-257, 242 км) развивается овраг «Левый» каскадного типа. Протяженность оврага 1075 м, ширина до 10 м, глубина до 4,5 м. Овраг имеет две вершины. отмечено активное обрушение бортов в привершинных частях левой и правой вершин и далее по правому и левому бортам оврага на протяжении 8,6 м и 168,0 м шириной обрушения 0,3 м и 0,5 м соответственно. Базисом эрозии является лог Борозда. Литологический состав горных пород на участке представлен делювиально-пролювиальными лессовидными суглинками, супесями. Фактор активизации осадки весенне-летнего периода.		–
24-22 00065	Сибирский	Красноярский край	Балахтинско-Новоселовский округ, в 0,15 км С п. Аешка	54,92440	90,84678	00.04.2026	00.08.2026	Эо	Атм.	Не отмечались	В Балахтинско-Новоселовском округе, в 0,15 км С п. Аешка (пункт наблюдений Аешка) зафиксирована активизация овражной эрозии. Протяженность оврага №3 составляет 50 м, ширина до 3,5 м, глубина 2 м. В устьевой части оврага отмечается новый участок переуглубления русла длиной 2,0 м, шириной 0,5 м и глубиной 1,3 м. Базис эрозии – р. Дальняя Речка. На площади развития процесса распространены делювиально-пролювиальные лессовидные супеси и суглинки. Фактор активизации - осадки весенне-летних месяцев.	–	–

1	2	3	4	5	6	7	8	9	10	11	12	13	14
24-22 00066	Сибирский	Красноярский край	Балахтинско-Новоселовский округ, п. Аешка, В окраина	54,92293	90,85782	00.04.2026	00.08.2026	Эо	Атм.	Не отмечались	В Балахтинско-Новоселовском округе, на В окраине п. Аешка (пункт наблюдений Аешка) зафиксирована активизация овражной эрозии. Протяженность оврага №4 составляет 230 м, ширина до 10 м, глубина 10 м. Отступание в вершине отвершка составило 0,5 м. В привершиной части отвершка отмечаются следы свежих осыпаний и обрушений. Вершина оврага, как и дно и левый борт правого отвершка завалены стройматериалами и с/х отходами, а также интенсивно задернованы. Базис эрозии – р. Дальняя Речка. На площади развития процесса распространены делювиально-пролювиальные лессовидные супеси и суглинки. Фактор активизации - осадки весенне-летних месяцев.		–
24-22 00067	Сибирский	Красноярский край	Балахтинско-Новоселовский округ, п. Аешка, СВ окраина	54,92487	90,85594	00.04.2026	00.08.2026	Эо	Атм.	Не отмечались	В Балахтинско-Новоселовском округе, на СВ окраине п. Аешка (пункт наблюдений Аешка) зафиксирована активизация овражной эрозии. Протяженность оврага №5 составляет 151,5 м, ширина до 5,5 м, глубина 3,5 м. Отступание в вершине оврага составило 1,0 м, отмечено обрушение грунтта по правому борту. Базис эрозии – р. Дальняя Речка. На площади развития процесса распространены делювиально-пролювиальные лессовидные супеси и суглинки. Фактор активизации - осадки весенне-летних месяцев.		–
24-22-00002	Сибирский	Красноярский край	Балахтинско-Новоселовский округ, юго-западная окраина п. Приморск	55,19524	91,87720	00.04.2026	00.08.2026	Эо	Атм.	Не отмечались	В Балахтинско-Новоселовском округе, на юго-западной окраине п. Приморск (пункт наблюдений Приморск) в правом борту залива развивается овраг № 2 с тремя вершинами. Протяженность оврага 16 м, ширина от 2 до 20 м, глубина 2-4 м. По правому борту вершины №3 отмечаются следы свежих обрушений, а также трещина шириной раскрытия от 0,1 до 0,3 м и видимой глубиной около 0,3 м. По левым бортам вершин №1 и №2 на протяжении 6,6 м и 2,0 м зафиксированы следы свежих обрушений и осыпаний шириной 0,5 м и 0,2 м соответственно. Овраг развивается в делювиально-пролювиальных лессовидных суглинках и супесях четвертичного возраста. Факторы активизации – атмосферные осадки, снеготаяние.		–
24-22-00004	Сибирский	Красноярский край	Балахтинско-Новоселовский округ, юго-западная окраина п. Приморск	55,19867	91,87567	00.04.2026	00.08.2026	Эо	Атм.	Не отмечались	В Балахтинско-Новоселовском округе, на юго-западной окраине п. Приморск (пункт наблюдений Приморск) в правом борту залива развивается овраг №4, двойная вершина которого засыпана и спланирована. Протяженность оврага 95 м, ширина от 3 до 15,5 м, ориентировочная глубина оврага 11-12 м. Отвершек I порядка по левому борту оврага имеет 2 вершины. Левая вершина завалена мусором и брёвнами, правая засыпана и спланирована. Отступание в левой вершине составило около 0,5 м. По левому борту левой вершины отвершка I порядка отмечаются следы свежих обрушений. Средняя скорость развития процесса 0,17 м. Овраг развивается в делювиально-пролювиальных	–	–

1	2	3	4	5	6	7	8	9	10	11	12	13	14
											лессовидных суглинках и супесях четвертичного возраста. Факторы активизации – атмосферные осадки, снеготаяние.		
24-22-00012	Сибирский	Красноярский край	Балахтинско-Новоселовский округ, в 0,5 км ЮВ п. Куртак	55,14563	91,55207	00.04.2026	00.08.2026	Эо	Атм.	Не отмечались	В Балахтинско-Новоселовском округе, в 0,5 км ЮВ п. Куртак (пункт наблюдений Куртак), зафиксирована активизация оврага № 8. Протяженность оврага увеличилась до 15,7 м, ширина от 1,3 до 12,4 м, глубина 3,7-4,5 м. Отступание в вершине составило 0,5 м. Базис эрозии – Красноярское вдхр. Овраг развивается в делювиально-пролювиальных лессовидных суглинках и супесях четвертичного возраста. Фактор активизации - осадки весенне-летних месяцев.		–
24-22-00015	Сибирский	Красноярский край	Балахтинско-Новоселовский округ, в 0,6 км ЮВ п. Куртак	55,14661	91,55533	00.04.2026	00.08.2026	Эо	Атм.	Не отмечались	В Балахтинско-Новоселовском округе, в 0,6 км ЮВ п. Куртак (пункт наблюдений Куртак), зафиксирована активизация оврага № 11. Протяженность оврага 4,8 м, ширина 6,4 м, глубина 5,1 м. Отступание вершины составило 1,0 м. Дно в вершине провалилось на 1,4 м. Овраг развивается на участке уступа, в отседающем блоке, в делювиально-пролювиальных лессовидных суглинках и супесях четвертичного возраста. Базис эрозии – Красноярское вдхр. Фактор активизации - осадки весенне-летних месяцев.		–
24-22-00016	Сибирский	Красноярский край	Балахтинско-Новоселовский округ, в 0,9 км В п. Куртак	55,14876	91,55896	00.04.2026	00.08.2026	Эо	Атм.	Не отмечались	В Балахтинско-Новоселовском округе, в 0,9 км В п. Куртак (пункт наблюдений Куртак), зафиксирована активизация оврага № 12. Протяженность оврага 27,5 м, ширина до 15 м, глубина 5,2 м. Отступание вершины составило 1,0 м. Левый борт в верхней части оврага на протяжении 4,0 м активно обрушается. Ширина блоков обрушения около 2 м. Базис эрозии – Красноярское вдхр. Овраг развивается в делювиально-пролювиальных лессовидных суглинках и супесях четвертичного возраста. Фактор активизации - осадки весенне-летних месяцев.		–
24-22-00017	Сибирский	Красноярский край	Балахтинско-Новоселовский округ, в 1,0 км В п. Куртак	55,14957	91,56181	00.04.2026	00.08.2026	Эо	Атм.	Не отмечались	В Балахтинско-Новоселовском округе, в 1 км В п. Куртак (пункт наблюдений Куртак), зафиксирована активизация оврага №13. Протяженность оврага увеличилась до 31 м, ширина до 10 м, глубина до 6 м. Активизация овражной эрозии проявилась в отступании вершины оврага на 1,0 м. По правому и левому бортам оврага на протяжении 30,0 м, также, отмечаются обрушения шириной 1,0 м и 1,5 м соответственно. Базис эрозии – Красноярское вдхр. Овраг развивается в делювиально-пролювиальных лессовидных суглинках и супесях четвертичного возраста. Фактор активизации - осадки весенне-летних месяцев.		–

1	2	3	4	5	6	7	8	9	10	11	12	13	14
24-17-00002	Сибирский	Красноярский край	Балахтинско-Новоселовский округ, в 0,5 км В п. Куртак	55,14600	91,55313	00.04.2026	00.08.2026	Су	Атм.	Не отмечались	В Балахтинско-Новоселовском округе, в 0,5 км В п. Куртак (пункт наблюдений Куртак), на уступе Красноярского вдхр. зафиксировано увеличение площади суффозионного провала №1 на 6,85 м^2. Провал в плане неправильной формы, длина увеличилась до 7,25 м, ширина до 5,9 м, глубина до 4,5 м, площадь до 44,25 м^2. Суффозионный процесс развивается в делювиально-пролювиальных лессовидных суглинках и супесях четвертичного возраста. Фактор активизации - осадки весенне-летних месяцев.		–
24-17-00007	Сибирский	Красноярский край	Балахтинско-Новоселовский округ, в 0,5 км ЮВ п. Куртак	55,14553	91,55164	00.04.2026	00.08.2026	Су	Атм.	Не отмечались	В Балахтинско-Новоселовском округе, в 0,5 км ЮВ п. Куртак (пункт наблюдений Куртак), на уступе Красноярского вдхр. зафиксировано увеличение площади суффозионного провала №2 на 68,4 м^2. Провал в плане неправильной формы, длина увеличилась до 8,6 м, ширина до 8,1 м, глубина до 3,6 м, площадь до 69,66 м^2. Суффозионный процесс развивается в делювиально-пролювиальных лессовидных суглинках и супесях четвертичного возраста. Фактор активизации - осадки весенне-летних месяцев.		–
24-10-00001	Сибирский	Красноярский край	Балахтинско-Новоселовский округ, в 0,5 км В п. Куртак	55,14573	91,55309	00.04.2026	00.08.2026	Об	Атм.	Не отмечались	В Балахтинско-Новоселовском округе, в 0,5 км В п. Куртак (пункт наблюдений Куртак), на уступе Красноярского вдхр. зафиксирована активизация обвального процесса, развивающегося вдоль уступа высотой 15-20 м и протяженностью 750 м. В 2026 г. отмечается несколько участков с активными обрушениями. Отступание уступа в среднем составляет 0,31 м. Уступ сложен делювиально-пролювиальными лессовидными суглинками и супесями четвертичного возраста. Фактор активизации - осадки весенне-летних месяцев.	–	–
24-11-00014	Сибирский	Красноярский край	городской округ г. Дивногорск, уч. а/дороги Р-257 Енисей, 81 км, в 5 км С п. Верхняя Бирюса	55,95898	91,91898	06.07.2026	06.07.2026	Оп	Атм.	Отмечались	В ГО г. Дивногорск на уч. а/дороги Р-257 Енисей, 81 км, в 5 км севернее п. Верхняя Бирюса по данным СМИ и ГУ МЧС по Красноярскому краю от 06.07.2026 г. была получена информация об активизации оползневого процесса. Приблизительные длина и ширина оползня составили 15 и 70 м соответственно. Оползневой процесс носил разовый характер и ранее на данном участке не фиксировался. Негативное воздействие заключается в вывалах оползневых масс на полотно дороги на протяжении около 70 м, для уборки которых привлекалась тяжелая техника. Было введено временное ограничение движения на трассе Р-257 «Енисей», 79-82 км. Процесс развивается в нерасчлененных отложениях нижнего и среднего девона, представленных порфиритами, прослоями песчаника, алевролитами и туфоконгломератами. Фактор активизации – обильные осадки в июле 2026 г.	–	Данные СМИ, ГУ МЧС по Красноярскому краю, ЕДДС г. Дивногорска
24-13-00014	Сибирский	Красноярский край	Сосновоборский округ, с. Зыково	55,96561	93,16194	00.08.2026	Не завершилась	Пт	Атм.	Отмечались	В с. Зыково Сосновоборского округа согласно данным СМИ от 01.09.2026 г. с августа 2026 г. отмечена активизация процесса подтопления. По	–	Данные СМИ, ГУ МЧС по

1	2	3	4	5	6	7	8	9	10	11	12	13	14
											данным ЕДДС на 02.09.2026 г. УГВ 0,0-0,2 м и выше уровня поверхности земли отмечались по ул. Советская, Совхозная, Свободы, Линейная и частично Южной. Подтоплены 2 жилых дома и 29 приусадебных участков. Площадь подтопления предположительно составляет около 0,65 км^2. На площади подтопления развиты четвертичные отложения, представленные песками и галечниками, которые подстилаются песчаниками, известняками, реже алевролитами и мергелями среднего девона. Фактор активизации – обильные осадки весенне-летнего периода 2026 г.		Красноярскому краю, ЕДДС Сосновоборского муниципального округа
38-22-00005	Сибирский	Иркутская область	Осинский район, в 0,265 км ЮВ с. Бильчир	53,55622	103,72113	00.05.2026	Не завершилась	Эо	Атм.	Не отмечались	В 0,265 км ЮВ с. Бильчир Осинского района (пункт наблюдений Бильчир-2) с мая 2026 г. отмечалась активизация овражной эрозии. Овраг № 1 имеет длину 28,52 м, ширину 2,6 м и глубину 0,45 м. В вершине отмечаются мелкие осыпания. У оврага имеется небольшой отвершек длиной 3,7 м, шириной 0,79 м. Изменений в размерах проявления относительно 2025 г. не выявлено. Литологический состав пород представлен суглинками и супесями. Фактор активизации процесса – метеорологический (выпадение атмосферных осадков, интенсивный поверхностный сток в периоды ливней и весеннего снеготаяния).		–
38-22-00006	Сибирский	Иркутская область	Осинский район, в 0,265 км ЮВ с. Бильчир	53,55614	103,72074	00.05.2026	Не завершилась	Эо	Атм.	Не отмечались	В 0,265 км ЮВ с. Бильчир Осинского района (пункт наблюдений Бильчир-2) с мая 2026 г. отмечалась активизация овражной эрозии. Овраг № 2 имеет длину 70,3 м, ширину 8,2 м и глубину 3,2 м. В центральной части оврага борта свободны от растительности, хорошо просматриваются трещины, осыпания, фрагменты отсевшей бровки, в днище – слабые следы течения воды. Размеры проявления не изменились. Литологический состав пород представлен суглинками и супесями. Фактор активизации процесса – метеорологический (выпадение атмосферных осадков, интенсивный поверхностный сток в периоды ливней и весеннего снеготаяния).		–
38-22-00007	Сибирский	Иркутская область	Осинский район, в 0,29 км ЮВ с. Бильчир	53,55589	103,72080	00.05.2026	Не завершилась	Эо	Атм.	Не отмечались	В 0,29 км юго-восточнее с. Бильчир Осинского района (пункт наблюдений Бильчир-2) с мая 2026 г. отмечалась активизация овражной эрозии. Овраг № 3 имеет длину 56,2 м, ширину 2,5 м и глубину 1,1 м. Прирост вершины оврага составил 0,2 м, ширина и глубина остались без изменения. Литологический состав пород представлен суглинками и супесями. Фактор активизации процесса – метеорологический (выпадение атмосферных осадков, интенсивный поверхностный сток в периоды ливней и весеннего снеготаяния).		
38-22-00009	Сибирский	Иркутская область	Осинский район, в 0,615 км СВ с. Бильчир	53,56559	103,73385	00.05.2026	Не завершилась	Эо	Атм.	Отмечались	В 0,615 км северо-восточнее с. Бильчир Осинского района (пункт наблюдений Бильчир-2) с мая 2026 г. отмечалась активизация овражной эрозии. Овраг № 5 имеет длину 522,1 м, ширину 4,12 м и глубину 2,3 м. Прирост вершины оврага составил 0,6 м, ширина и		–

1	2	3	4	5	6	7	8	9	10	11	12	13	14
											глубина остались без изменения. У оврага развивается отвершек. Его длина увеличилась на 1,4 м и составил 4,9 м, ширина и глубина остались без изменения 2,6 и 2 м соответственно. Литологический состав пород представлен суглинками и супесями. Фактор активизации процесса – метеорологический (выпадение атмосферных осадков, интенсивный поверхностный сток в периоды ливней и весеннего снеготаяния). Площадь с/х земель, выведенных из оборота, составила 0,000006 км^2.		
38-22-00033	Сибирский	Иркутская область	Осинский район, в 0,06 км З п. Жданово	53,54731	103,69405	00.05.2026	Не завершилась	Эо	Атм.	Не отмечались	В 0,06 км западнее п. Жданово Осинского района (пункт наблюдений Жданово) на побережье залива Оса Братского водохранилища с мая 2026 г. отмечалась активизация овражной эрозии. Овраг № 2 имеет длину 5,42 м, ширину 4,45 м и глубину 0,95 м. Прирост по длине составил 0,1 м. Ширина и глубина остались без изменений. Литологический состав пород представлен суглинками и супесями. Фактор активизации процесса – метеорологический (выпадение атмосферных осадков).		–
38-22-00036	Сибирский	Иркутская область	Осинский район, в 0,145 км З п. Жданово	53,54539	103,69472	00.05.2026	Не завершилась	Эо	Атм.	Не отмечались	В 0,145 км западнее п. Жданово Осинского района (пункт наблюдений Жданово) с мая 2026 г. отмечалась активизация овражной эрозии. Овраг № 5 имеет длину 3,2 м, ширину 2,7 м и глубину 0,8 м. Параметры проявления остались без изменения. В стенках отмечаются трещины отрыва, мелкие осыпания. Литологический состав пород представлен суглинками и супесями. Фактор активизации процесса – метеорологический (выпадение атмосферных осадков).		–
38-22-00037	Сибирский	Иркутская область	Осинский район, в 0,3 км С п. Жданово	53,55011	103,69661	00.05.2026	Не завершилась	Эо	Атм.	Не отмечались	В 0,3 км севернее п. Жданово Осинского района (пункт наблюдений Жданово) с мая 2026 г. отмечалась активизация овражной эрозии. Овраг № 7 имеет длину 156 м, ширину 6,2 м и глубину 4 м. Размеры проявления остались без изменения. В бортах грунт свободен от растительности, пересекаемый трещинами. Отмечаются продукты осыпания в небольшом количестве. Литологический состав пород представлен суглинками и супесями. Фактор активизации процесса – метеорологический (выпадение атмосферных осадков).		–
38-22-00049	Сибирский	Иркутская область	Осинский район, в 0,4 км С п. Жданово	53,55145	103,69631	00.05.2026	Не завершилась	Эо	Атм.	Не отмечались	В 0,4 км севернее п. Жданово Осинского района (пункт наблюдений Жданово) с мая 2026 г. отмечалась активизация овражной эрозии. Овраг № 8 имеет длину 18,7 м, ширину 8,08 м и глубину 4,2 м. Размеры оврага не изменились. В стенках просматриваются обнаженные отложения, трещины отрыва, эрозионные явления в виде осыпания грунта, в вершине - небольшое количество свежего осыпавшегося материала. Литологический состав пород представлен суглинками и супесями. Фактор активизации процесса – метеорологический (выпадение атмосферных осадков).		–

1	2	3	4	5	6	7	8	9	10	11	12	13	14
38-22-00050	Сибирский	Иркутская область	Осинский район, в 0,46 км С п. Жданово	53,55208	103,69664	00.05.2026	Не завершилась	Эо	Атм.	Не отмечались	В 0,46 км севернее п. Жданово Осинского района (пункт наблюдений Жданово) с мая 2026 г. отмечалась активизация овражной эрозии. Овраг № 9 имеет длину 14,04 м, ширину 6,8 м и глубину 3,15 м и небольшой отвершек длиной 3,46 м, шириной 2,3 м. Прирост в вершине оврага составил 0,3 м, в отвершке 1,1 м. Литологический состав пород представлен суглинками и супесями. Фактор активизации процесса – метеорологический (выпадение атмосферных осадков).		–
38-22-00038	Сибирский	Иркутская область	Осинский район, в 0,53 км СЗ п. Жданово	53,55266	103,69699	00.05.2026	Не завершилась	Эо	Атм.	Не отмечались	В 0,53 км северо-западнее п. Жданово Осинского района (пункт наблюдений Жданово) с мая 2026 г. отмечалась активизация овражной эрозии. Овраг № 10 имеет длину 33,1 м, ширину 9,75 м и глубину 3,9 м. Длина оврага увеличилась на 0,5 м. К оврагу примыкает отвершек длиной 10,62 м, средней шириной – 5,55 м и глубиной 2,05 м. По ширине он прирос на 0,2 м и глубине на 0,3 м. Литологический состав пород представлен суглинками и супесями. Фактор активизации процесса – метеорологический (выпадение атмосферных осадков).		–
38-22-00039	Сибирский	Иркутская область	Осинский район, в 0,67 км СЗ п. Жданово	53,55409	103,69723	00.05.2026	Не завершилась	Эо	Атм.	Не отмечались	В 0,67 км северо-западнее п. Жданово Осинского района (пункт наблюдений Жданово) с мая 2026 г. отмечалась активизация овражной эрозии. Овраг № 11 имеет длину 24,6 м, ширину 6,9 м и глубину 6,53 м. Длина оврага увеличилась на 0,8 м, ширина и глубина остались без изменения. Литологический состав пород представлен суглинками и супесями. Фактор активизации процесса – метеорологический		–
38-22-00040	Сибирский	Иркутская область	Осинский район, в 0,76 км СЗ п. Жданово	53,55493	103,69720	00.05.2026	Не завершилась	Эо	Атм.	Не отмечались	В 0,76 км северо-западнее п. Жданово Осинского района (пункт наблюдений Жданово) с мая 2026 г. отмечалась активизация овражной эрозии. Овраг № 12 имеет длину 16 м, ширину 8,2 м и глубину 6,25 м. Вершина оврага продвинулась на 0,9 м, ширина увеличилась на 0,3 м, глубина осталась без изменения. Литологический состав пород представлен суглинками и супесями. Фактор активизации процесса – метеорологический (выпадение атмосферных осадков).		–
38-22-00051	Сибирский	Иркутская область	Осинский район, в 0,64 км СЗ п. Жданово	53,55360	103,69722	00.05.2026	Не завершилась	Эо	Атм.	Не отмечались	В 0,64 км северо-западнее п. Жданово Осинского района (пункт наблюдений Жданово) с мая 2026 г. отмечалась активизация овражной эрозии. Овраг № 13 имеет длину 10,1 м, ширину 5,2 м и глубину 4,24 м. Длина оврага увеличилась на 1 м, ширина на 0,1 м. Литологический состав пород представлен суглинками и супесями. Фактор активизации процесса – метеорологический (выпадение атмосферных осадков).		–
38-10-00007	Сибирский	Иркутская область	Осинский район, в 0,08 км СЗ п. Жданово	53,55003	103,69580	00.05.2026	Не завершилась	Об	Атм.	Не отмечались	В 0,08 км СЗ п. Жданово Осинского района (пункт наблюдений Жданово) с мая 2026 г. отмечалась активизация обвального процесса на коренном склоне высотой до 20 м на протяжении 1345 м. Склон пронизан трещинами, у подножья и средней его части фиксируются свежие сорванные блоки		–

1	2	3	4	5	6	7	8	9	10	11	12	13	14
											пород и осыпавшийся материал, скопившиеся на ранее сорванных отложениях. Средняя величина обрушения бровки составила 0,15 м. Литологический состав пород представлен суглинками и супесями. Фактор активизации процесса – метеорологический (выпадение атмосферных осадков).		
38-22-00001	Сибирский	Иркутская область	Слюдянский район, уч. а/дороги А-146 Иркутск – Монды, 8 км, в 2,9 км СЗ п. Култук	51,73791	103,59537	00.05.2026	Не завершилась	Эо	Атм., техн.	Отмечались	В 2,9 км северо-западнее п. Култук, на участке а/дороги А-146 Иркутск – Монды, 8 км (пункт наблюдений Быстринский) на землях лесного фонда с мая 2026 г. отмечалась активизация овражной эрозии. Длина оврага №1 составила 52,6 м, глубина - 5 м, ширина - 11 м. Вершина оврага продвинулась на 1,6 м. Литологический состав пород представлен супесями, суглинками. Факторы активизации процесса – метеорологический (выпадение атмосферных осадков), техногенный (нарушение стока атмосферных осадков). Прирост площади разрушенных земель лесного фонда составил 0,000018 км^2.		–
38-22-00002	Сибирский	Иркутская область	Слюдянский район, уч. а/дороги А-146 Иркутск – Монды, 8 км, в 2,8 км СЗ п. Култук	51,73798	103,59549	00.05.2026	Не завершилась	Эо	Атм., техн.	Не отмечались	В 2,8 км северо-западнее п. Култук, на участке а/дороги А-146 Иркутск – Монды, 8 км (пункт наблюдений Быстринский) на землях лесного фонда с мая 2026 г. отмечалась активизация овражной эрозии. Овраг № 2 имеет длину 11,3 м, ширину 3,5 м и глубину 0,9 м. Прироста не отмечено. В русле отмечаются следы течения и выноса рыхлого и щебенистого материала, за счет чего глубина уменьшилась на 0,1 м. Литологический состав пород представлен супесями, суглинками. Факторы активизации процесса – метеорологический (выпадение атмосферных осадков), техногенный (нарушение стока атмосферных осадков).	–	–
38-22-00004	Сибирский	Иркутская область	Слюдянский район, уч. а/дороги А-146 Иркутск – Монды, 8 км, в 3 км СЗ п. Култук	51,73830	103,59413	00.05.2026	Не завершилась	Эо	Атм., техн.	Не отмечались	В 3 км северо-западнее п. Култук, на участке а/дороги А-146 Иркутск – Монды, 8 км (пункт наблюдений Быстринский) на землях лесного фонда с мая 2026 г. отмечалась активизация овражной эрозии. Овраг № 4 имеет длину 43 м, ширину 3,5 м и глубину 1,8 м. Размеры проявления не изменились. Русло свободно от растительности, наблюдаются следы течения и выноса рыхлого и щебенистого материала. В бортах ближе к вершине отмечаются мелкие эрозионные явления в виде осыпания рыхлых отложений. Литологический состав пород представлен супесями, суглинками. Факторы активизации процесса – метеорологический (выпадение атмосферных осадков), техногенный (нарушение стока атмосферных осадков).	–	–
38-22-00014	Сибирский	Иркутская область	Нукутский округ, В окраина с. Закулей	53,69138	103,03587	00.05.2026	Не завершилась	Эо	Атм.	Не отмечались	На восточной окраине с. Закулей Нукутского округа (пункт наблюдений Закулей) с мая 2026 г. отмечалась активизация овражной эрозии. Овраг №1 имеет длину 1460 м, среднюю ширину 9,3 м и глубину 3-3,5 м. Изменений в размерах проявления не отмечено. Правый высокий борт пронизан трещинами, у его подножья массы осыпавшегося и обвалившегося свежего грунта. Литологический		

1	2	3	4	5	6	7	8	9	10	11	12	13	14
											состав пород представлен суглинками, лессовидными суглинками, дресвой, щебнем, алевролитами, аргиллитами, гипсами. Фактор активизации процесса – метеорологический (выпадение атмосферных осадков, интенсивный поверхностный сток в периоды ливней и весеннего снеготаяния).		
38-22-00016	Сибирский	Иркутская область	Нукутский округ, с. Закулей	53,68913	103,02843	00.05.2026	Не завершилась	Эо	Атм.	Не отмечались	В с. Закулей Нукутского округа (пункт наблюдений Закулей) с мая 2026 г. отмечалась активизация овражной эрозии. Овраг №3 имеет длину 131 м, среднюю ширину 2,95 м и глубину 1-2,9 м. Изменений в размерах проявления не отмечено. Борта пронизаны трещинами, присутствуют мелкие эрозионные явления в виде осыпного материала и промоин. На дне - следы течения воды. Литологический состав пород представлен суглинками, лессовидными суглинками, дресвой, щебнем, алевролитами, аргиллитами, гипсами. Фактор активизации процесса – метеорологический (выпадение атмосферных осадков, интенсивный поверхностный сток в периоды ливней и весеннего снеготаяния).		–
38-22-00017	Сибирский	Иркутская область	Нукутский округ, ЮВ окраина с. Закулей	53,68869	103,02706	00.05.2026	Не завершилась	Эо	Атм.	Не отмечались	На юго-восточной окраине с. Закулей Нукутского округа (пункт наблюдений Закулей) с мая 2026 г. отмечалась активизация овражной эрозии. Овраг №4 имеет длину 111 м, среднюю ширину 3,4 м и глубину 1-2,8 м. Размеры проявления остались без изменения. В бортах отмечается наличие трещин, эрозионные явления в виде промоин и осыпавшегося рыхлого материала. На дне присутствуют продукты осыпания. Литологический состав пород представлен суглинками, лессовидными суглинками, дресвой, щебнем, алевролитами, аргиллитами, гипсами. Фактор активизации процесса – метеорологический (выпадение атмосферных осадков, интенсивный поверхностный сток в периоды ливней и весеннего снеготаяния).		–
38-22-00019	Сибирский	Иркутская область	Нукутский округ, ЮЗ окраина с. Закулей	53,68644	103,02073	00.05.2026	Не завершилась	Эо	Атм.	Не отмечались	На юго-западной окраине с. Закулей Нукутского округа (пункт наблюдений Закулей) с мая 2026 г. отмечалась активизация овражной эрозии. Овраг №6 имеет длину 128 м, среднюю ширину 2,4 м и глубину 0,5-1,7 м. Размеры остались без изменений. В бортах наблюдаются трещины и свежие эрозионные явления в виде размывания грунта за счет плоскостного смыва с левого склона. На дне присутствуют следы течения и выноса щебенистого материала. Литологический состав пород представлен суглинками, лессовидными суглинками, дресвой, щебнем, алевролитами, аргиллитами, гипсами. Фактор активизации процесса – метеорологический (выпадение атмосферных осадков, интенсивный поверхностный сток в периоды ливней и весеннего снеготаяния).		–

1	2	3	4	5	6	7	8	9	10	11	12	13	14
38-22-00020	Сибирский	Иркутская область	Нукутский округ, ЮЗ окраина с. Закулей	53,68502	103,02113	00.05.2026	Не завершилась	Эо	Атм.	Не отмечались	На юго-западной окраине с. Закулей Нукутского округа (пункт наблюдений Закулей) с мая 2026 г. отмечалась активизация овражной эрозии. Овраг №7 имеет длину 811 м, среднюю ширину 2,3 м и глубину 1-2,6 м. Глубина увеличились на 0,2 м. В бортах отмечается наличие трещин, эрозионных явлений в виде осыпания рыхлого материала, следы течения воды и выноса рыхлого материала. Литологический состав пород представлен суглинками, лессовидными суглинками, дресвой, щебнем, алевролитами, аргиллитами, гипсами. Фактор активизации процесса – метеорологический (выпадение атмосферных осадков, интенсивный поверхностный сток в периоды ливней и весеннего снеготаяния).		–
38-22-00021	Сибирский	Иркутская область	Нукутский округ, ЮЗ окраина с. Закулей	53,68563	103,01354	00.05.2026	Не завершилась	Эо	Атм.	Отмечались	На юго-западной окраине с. Закулей Нукутского округа (пункт наблюдений Закулей) на сельскохозяйственных землях в мае 2026 г. отмечалась активизация овражной эрозии. Овраг №8 имеет длину 133,7 м, среднюю ширину 13,76 м и глубину 2-3 м. Его длина увеличилась на 4,7 м. Отвершек оврага характеризуется длиной 26,9 м и средней шириной 11,2 м. Прирост отвершка по длине составил 2,9 м. Литологический состав пород представлен суглинками, лессовидными суглинками, дресвой, щебнем, алевролитами, аргиллитами, гипсами. Фактор активизации процесса – метеорологический (выпадение атмосферных осадков, интенсивный поверхностный сток в периоды ливней и весеннего снеготаяния). Площадь разрушенных с/х земель составила 0,000061 км^2.		–
38-22-00022	Сибирский	Иркутская область	Нукутский округ, СЗ окраина с. Закулей	53,68783	103,00832	00.05.2026	Не завершилась	Эо	Атм.	Не отмечались	На северо-западной окраине с. Закулей Нукутского округа (пункт наблюдений Закулей) на сельскохозяйственных землях с мая 2026 г. отмечалась активизация овражной эрозии. Овраг №9 имеет длину 594 м, среднюю ширину 3,05 м и глубину 1-1,6 м. Изменений в размерах не отмечено. В стенках, свободных от растительности наблюдаются трещины, фрагменты отсевшей бровки. В днище отмечается свежий осыпавшийся материал в небольшом количестве. Литологический состав пород представлен суглинками, лессовидными суглинками, дресвой, щебнем, алевролитами, аргиллитами, гипсами. Фактор активизации процесса – метеорологический (выпадение атмосферных осадков, интенсивный поверхностный сток в периоды ливней и весеннего снеготаяния).		–
38-22-00023	Сибирский	Иркутская область	Нукутский округ, СЗ окраина с. Закулей	53,69008	103,01175	00.05.2026	Не завершилась	Эо	Атм.	Не отмечались	На северо-западной окраине с. Закулей Нукутского округа (пункт наблюдений Закулей) на сельскохозяйственных землях с мая 2026 г. отмечалась активизация овражной эрозии. Овраг №10 имеет размеры: длина 305 м, средняя ширина 2,85 м и глубина 0,3-1,5 м. Изменения произошли по глубине, она увеличилась на 0,2 м. Литологический состав пород представлен суглинками,		–

1	2	3	4	5	6	7	8	9	10	11	12	13	14
											лессовидными суглинками, дресвой, щебнем, алевролитами, аргиллитами, гипсами. Фактор активизации процесса – метеорологический (выпадение атмосферных осадков, интенсивный поверхностный сток в периоды ливней и весеннего снеготаяния).		
38-22-00024	Сибирский	Иркутская область	Нукутский округ, СЗ окраина с. Закулей	53,69176	103,01514	00.05.2026	Не завершилась	Эо	Атм.	Отмечались	На северо-западной окраине с. Закулей Нукутского округа (пункт наблюдений Закулей) на сельскохозяйственных землях в мае 2026 г. отмечалась активизация овражной эрозии. Овраг №11 имеет размеры: длина 803,3 м, средняя ширина 4,45 м и глубина 1-2,2 м. Длина увеличилась на 0,3 м, глубина на 0,2 м. Литологический состав пород представлен суглинками, лессовидными суглинками, дресвой, щебнем, алевролитами, аргиллитами, гипсами. Фактор активизации процесса – метеорологический (выпадение атмосферных осадков, интенсивный поверхностный сток в периоды ливней и весеннего снеготаяния). Площадь разрушенных с/х земель составила 0,000006 км^2.		–
38-22-00026	Сибирский	Иркутская область	Нукутский округ, в 0,22 км С с. Нукуты	53,72629	102,79526	00.05.2026	Не завершилась	Эо	Атм.	Не отмечались	В 0,22 км севернее с. Нукуты Нукутского округа (пункт наблюдений Нукуты) на сельскохозяйственных землях с мая 2026 г. отмечалась активизация овражной эрозии. Овраг № 2 характеризуется длиной 86,1 м, средней шириной 4,5 м и глубиной 0,3-3,6 м. Вершина оврага продвинулась на 0,2 м. В овраге наблюдается активный отвершек длиной 19 м, шириной 6,2 м, глубиной 3 м. Длина увеличилась на 0,2 м, по ширине и глубине изменений не произошло, Литологический состав пород представлен суглинками, лессовидными суглинками, дресвой, щебнем, алевролитами, аргиллитами, гипсами. Фактор активизации процесса – метеорологический (выпадение атмосферных осадков, интенсивный поверхностный сток в периоды ливней и весеннего снеготаяния).		–
38-22-00027	Сибирский	Иркутская область	Нукутский округ, в 0,5 км СЗ с. Нукуты	53,72489	102,78832	00.05.2026	Не завершилась	Эо	Атм.	Не отмечались	В 0,5 км северо-западнее с. Нукуты Нукутского округа (пункт наблюдений Нукуты) на сельскохозяйственных землях с мая 2026 г. отмечалась активизация овражной эрозии. Овраг № 3 имеет длину 61,7 м, среднюю ширину 3,85 м, глубину 2,6 м и небольшой отвершек. Изменений в основном русле оврага по длине и ширине не отмечено, глубина увеличилась на 0,15 м. Длина отвершка увеличилась на 0,15 м и составила 2,95 м, средняя ширина и глубина остались без изменения. Литологический состав пород представлен суглинками, лессовидными суглинками, дресвой, щебнем, алевролитами, аргиллитами, гипсами. Фактор активизации процесса – метеорологический (выпадение атмосферных осадков, интенсивный поверхностный сток в периоды ливней и весеннего снеготаяния).		–
22 - 38	Сибирский	Иркутская	Нукутский округ,	53,71972	102,78142	00.05.2026	Не	Эо	Атм.	Не	В 1,1 км западнее с. Нукуты Нукутского округа	–	–

1	2	3	4	5	6	7	8	9	10	11	12	13	14
		область	в 1,1 км З с. Нукуты				завершилась			отмечались	(пункт наблюдений Нукуты) на сельскохозяйственных землях с мая 2026 г. отмечалась активизация овражной эрозии. Овраг № 7 имеет длину 117 м, среднюю ширину 5,85 м и глубину 5-7,1 м. Изменений в размерах проявления не отмечено. В бортах фиксируются трещины отрыва, эрозионные явления, в русле - следы течения воды и выноса рыхлого материала. Литологический состав пород представлен суглинками, лессовидными суглинками, дресвой, щебнем, алевролитами, аргиллитами, гипсами. Фактор активизации процесса – метеорологический (выпадение атмосферных осадков, интенсивный поверхностный сток в периоды ливней и весеннего снеготаяния).		
38-11-00002	Сибирский	Иркутская область	Ольхонский район, о. Ольхон, побережье залива Сарайский оз. Байкал, в 0,76 км СЗ д. Харанцы	53,21610	107,39235	00.05.2026	00.09.2026	Оп	Атм., сейсм.	Не отмечались	В 0,76 км северо-западнее д. Харанцы Ольхонского района (пункт наблюдений Сарайский) с мая 2026 г. отмечалась активизация оползневого процесса. Размеры оползня № 2 остались без изменения: длина составила 31 м, ширина 114 м. Высота оползневого склона 1,7 м. Активные деформации наблюдаются в нижней части склона: отрыв и отседание небольших масс пород, сопровождаемые осыпанием рыхлого материала, свежими сплывами грунта Площадь проявления 0,003534 км^2. Литологический состав пород представлен суглинками. Факторы активизации процесса – метеорологический (выпадение атмосферных осадков), сейсмический (сейсмические события до 3 баллов).		
38-11-00003	Сибирский	Иркутская область	Ольхонский район, о. Ольхон, побережье залива Сарайский оз. Байкал, в 0,76 км СЗ д. Харанцы	53,21753	107,39316	00.05.2026	00.09.2026	Оп	Атм., сейсм.	Не отмечались	В 0,76 км северо-западнее д. Харанцы Ольхонского района (пункт наблюдений Сарайский) с мая 2026 г. отмечалась активизация оползневого процесса. Размеры оползня № 3 остались без изменения. Его длина составила 34 м, ширина - 75 м. Высота оползневого склона 5,7 м. Активные деформации наблюдаются в средней и нижней частях проявления- террасовидные уступы и бугристость, деформированные оплывинами и свежим рыхлым материалом. В верхней части склона бровка обрушается небольшими фрагментами. Площадь проявления 0,00225 км^2. Литологический состав пород представлен суглинками. Факторы активизации процесса – метеорологический (выпадение атмосферных осадков), сейсмический (сейсмические события до 3 баллов).		–
38-11-00004	Сибирский	Иркутская область	Ольхонский район, о. Ольхон, побережье залива Сарайский оз. Байкал, в 0,73 км СЗ д. Харанцы	53,21695	107,39317	00.05.2026	00.09.2026	Оп	Атм., сейсм.	Не отмечались	В 0,73 км северо-западнее д. Харанцы Ольхонского района (пункт наблюдений Сарайский) с мая 2026 г. отмечалась активизация оползневого процесса в виде смещения покровных суглинков по стенке срыва. Длина оползня № 4 увеличилась по длине на 0,7 м и составила 32,7 м, ширина осталась без изменения - 65 м. Высота оползневого склона 5,8 м. Оползневое тело гладкое, деформированное свежими оплывинами и блоками сползшего грунта в нижней части. Площадь проявления приросла на 0,000046 м^2		–

1	2	3	4	5	6	7	8	9	10	11	12	13	14
											и составила 0,00213 км^2. Литологический состав пород представлен суглинками. Факторы активизации процесса – метеорологический (выпадение атмосферных осадков), сейсмический (сейсмические события до 3 баллов).		
38-11-00005	Сибирский	Иркутская область	Ольхонский район, о. Ольхон, побережье оз. Байкал, участок от мыса Харанцы до мыса Харалдой, в 0,5 км СЗ д. Харанцы	53,23135	107,41935	00.05.2026	00.09.2026	Оп	Атм., сейсм.	Не отмечались	В 0,5 км северо-западнее д. Харанцы Ольхонского района (пункт наблюдений Харанцынский) с мая 2026 г. отмечалась активизация оползневого процесса. Размеры оползня № 1 остались без изменений, длина - 25 м, ширина - 170 м. Высота оползневого склона 4,3 м. В правой части склона отмечаются фрагменты отделившейся бровки и небольшие блоки грунта, соскальзывающие вниз. Центральная и левая части склона характеризуются бугристым микрорельефом, где прослеживаются свежие эрозионные явления в виде выноса суглинка, фиксируются трещины отрыва шириной до 10 см. У подножья небольшое количество осыпавшегося материала. Площадь проявления составила 0,00425 км^2. Литологический состав пород представлен суглинками. Факторы активизации процесса - метеорологический (выпадение атмосферных осадков), сейсмический (сейсмические события до 3 баллов).		–
38-11-00006	Сибирский	Иркутская область	Ольхонский район, о. Ольхон, побережье оз. Байкал, участок от мыса Харанцы до мыса Харалдой, в 0,1 км С д. Харанцы	53,22976	107,42522	00.05.2026	00.09.2026	Оп	Атм., сейсм.	Не отмечались	В 0,1 км севернее д. Харанцы Ольхонского района (пункт наблюдений Харанцынский) с мая 2026 г. отмечалась активизация оползневого процесса. Длина оползня № 2 увеличилась на 0,5 м и составила 32,5 м, ширина осталась без изменения - 370 м. Высота оползневого склона достигает 22,1 м. Площадь оползня увеличилась на 0,000185 км^2 и составила 0,012025 км^2. В верхней части склона, вдоль ранее наблюдаемых трещин отрыва, фиксируются отделившиеся и обвалившиеся блоки грунта средней шириной 0,5 м. В левой и центральной частях склона наблюдается бугристость, эрозионные явления в виде выноса суглинка, трещины отрыва, в нижней части – блоки отделившихся пород, свежие сплывы грунта, сопровождаемые осыпанием рыхлого материала. Литологический состав пород представлен суглинками. Факторы активизации процесса - метеорологический (выпадение атмосферных осадков), сейсмический (сейсмические события до 3 баллов).		–
38-11-00007	Сибирский	Иркутская область	Ольхонский район, о. Ольхон, побережье оз. Байкал, участок от мыса Харанцы до мыса Харалдой, в 0,9 км СВ д. Харанцы	53,23104	107,43918	00.05.2026	00.09.2026	Оп	Атм., сейсм.	Не отмечались	В 0,9 км северо-восточнее д. Харанцы Ольхонского района (пункт наблюдений Харанцынский) с мая 2026 г. отмечалась активизация оползневого процесса. Оползень № 3 в размерах не изменился: длина составила 85 м, ширина 150 м, площадь 0,01275 км^2. Высота оползневого склона 38,4 м. Активные деформации наблюдаются в нижней части. Масса пород пронизана мелкими трещинами, у подножья –обвалившиеся блоки пород шириной до 0,3- 0,5 м и осыпавшийся материал. Литологический		–

1	2	3	4	5	6	7	8	9	10	11	12	13	14
											состав пород представлен суглинками. Факторы активизации процесса - метеорологический (выпадение атмосферных осадков), сейсмический (сейсмические события до 3 баллов).		
38-11-00008	Сибирский	Иркутская область	Ольхонский район, о. Ольхон, побережье оз. Байкал, участок от мыса Харанцы до мыса Харалдой, в 0,83 км СВ д. Харанцы	53,23227	107,44268	00.05.2026	00.09.2026	Оп	Атм., сейсм.	Не отмечались	В 0,83 км северо-восточнее д. Харанцы Ольхонского района (пункт наблюдений Харанцынский) с мая 2026 г. отмечалась активизация оползневого процесса. Размеры оползня № 4 не изменились: длина 120 м, ширина 180 м, площадь 0,0216 км^2. Высота оползневого склона 32 м. Активные деформации наблюдаются в нижней части склона. Грунт пронизан вертикальными трещинами, по которым отседают и обваливаются небольшие блоки грунта. Литологический состав пород представлен суглинками. Факторы активизации процесса - метеорологический (выпадение атмосферных осадков), сейсмический (сейсмические события до 3 баллов).		–
38-21-00001	Сибирский	Иркутская область	Ольхонский район, о. Ольхон, д. Харанцы	53,22048	107,41797	00.05.2026	00.09.2026	Эа	Атм.	Отмечались	На западном побережье о. Ольхон в д. Харанцы (пункт наблюдений Ольхон) с мая 2026 г. по ул. Намшеевой, Совхозная, Лесная, Байкальская отмечалось развитие эоловой аккумуляции. Свежие наносы песка наблюдались на открытых пространствах и вдоль обочин дорог небольшими островками в виде бугров на площади 0,01 км^2, включающей 21 приусадебных участков. Литологический состав пород представлен песками. Фактор активизации процесса – метеорологический (отсутствие атмосферных осадков в теплый период).		–
38-21-00002	Сибирский	Иркутская область	Ольхонский район, о. Ольхон, д. Харанцы	53,22410	107,41402	00.05.2026	00.09.2026	Эа	Атм.	Отмечались	На западном побережье о. Ольхон в д. Харанцы (пункт наблюдений Ольхон) по ул. Намшеевой, Песчаная с мая 2026 г. отмечалось развитие эоловой аккумуляции. Площади с участками произрастания растительности не увеличились. Вдоль обочин дороги продолжает скапливаться песок в виде бугров. Проявлением охвачена территория 22-х приусадебных участков и 2-х баз отдыха, общая площадь составила 0,09512 км^2. Литологический состав пород представлен песками. Фактор активизации процесса – метеорологический (отсутствие атмосферных осадков в теплый период).		–
38-21-00003	Сибирский	Иркутская область	Ольхонский район, о. Ольхон, п. Хужир	53,19978	107,35376	00.05.2026	00.09.2026	Эа	Атм.	Отмечались	На западном побережье о. Ольхон в п. Хужир (пункт наблюдений Ольхон) по ул. Ворошилова, Северная, Сарайская, Солнечная с мая 2026 г. отмечалось развитие эоловой аккумуляции. Свежие наносы песка в виде ряби отмечаются на территориях 14-ти приусадебных участков и 4-х объектов отдыха общей площадью 0,040637 км^2. Площадь проявления увеличилась на 0,001197 км^2 относительно 2025 г. Литологический состав пород представлен песками. Фактор активизации процесса – метеорологический (отсутствие атмосферных осадков в теплый период).		–

1	2	3	4	5	6	7	8	9	10	11	12	13	14
38-03-00001	Сибирский	Иркутская область	Ольхонский район, о. Ольхон, п. Хужир	53,19062	107,33018	00.05.2026	00.09.2026	Де	Атм.	Отмечались	На западном побережье о. Ольхон в п. Хужир (пункт наблюдений Ольхон) с мая 2026 г. отмечалось развитие дефляции по ул. Береговая, Горького, Байкальская, Мира, Прибойная, Песчаная, 60 лет Победы, Прибрежная, пер. Пионерский, Спортивный. Вынос и аккумуляция песка отмечались на территории 13-ти приусадебных участков и 9-ти объектов отдыха. Площадь проявления увеличилась на 0,00874 км^2 и составила в целом 0,06767 км^2. Литологический состав пород представлен песками. Фактор активизации процесса – метеорологический (отсутствие атмосферных осадков в теплый период).		–
38-21-00004	Сибирский	Иркутская область	Ольхонский район, о. Ольхон, п. Хужир, дорога 25Н-055 Паром-Хужир	53,18449	107,32022	00.05.2026	00.09.2026	Эа	Атм.	Отмечались	На западном побережье о. Ольхон в п. Хужир (пункт наблюдений Ольхон) по ул. Береговая, Сосновая, Энергетиков, Прибрежная с мая 2026 г. отмечалось развитие эоловой аккумуляции. Свежие следы наносов песка отмечаются на открытых пространствах и небольшими островками вдоль обочин в виде бугров и на территориях 31-го приусадебного участка и 9-ти объектов отдыха. Площадь проявления осталась без изменения - 0,2226 км^2. Литологический состав пород представлен песками. Фактор активизации процесса – метеорологический (отсутствие атмосферных осадков в теплый период).		–
38-03-00002	Сибирский	Иркутская область	Ольхонский район, о. Ольхон, в 0,15 км В д. Ялга	53,13871	107,19006	00.05.2026	00.09.2026	Де	Атм.	Отмечались	На западном побережье о. Ольхон, в 0,15 км восточнее д. Ялга на землях с/х назначения с мая 2026 г. развивается процесс дефляции. Проявление отмечается в виде небольших отдельных котловин выдувания, деформированных в процессе выпаса животных на землях сельскохозяйственного назначения площадью 0,016 км^2. Литологический состав пород представлен песками. Фактор активизации процесса – метеорологический (отсутствие атмосферных осадков в теплый период).		–
38-21-00005	Сибирский	Иркутская область	Ольхонский район, п. Песчаная, район урочища Песчаное	53,28226	107,58768	00.05.2026	Не завершилась	Эа	Атм.	Отмечались	В Ольхонском районе, в п. Песчаная и районе урочища Песчаное с мая 2026 г. отмечалось развитие эоловой аккумуляции. Проявление отмечается в виде свежих следов наносов песка, слабо зарастающих травой, местами песчаных валов полностью свободных от нее, осложненных мелкой рябью. Площадь проявления составила 1,47 км^2. Литологический состав пород представлен песками. Фактор активизации процесса – метеорологический (скорость, направление и сила ветра). Активность процесса высокая. В п. Песчаная по ул. Прибрежная и Молодежная аккумуляция песка отмечена на территориях 16 участков и 1 объекта социального назначения.		Плановое обследование

1	2	3	4	5	6	7	8	9	10	11	12	13	14
38-13-00001	Сибирский	Иркутская область	г. Черемхово	53,15101	103,06540	00.05.2026	Не завершилась	Пт	Атм., техн.	Отмечались	В г. Черемхово (пункт наблюдений Черемхово) с мая 2026 г. отмечалась активизация процесса. Площадь территории подтопления составила 0,02278 км^2. Подтоплена территория жилой застройки по ул. Павлова, Графитная, пер. Шахтовый. В зоне подтопления 2 приусадебных участка, 1-этажный и 2-х этажный жилые дома. Литологический состав пород представлен суглинками, глинами. Факторы активизации процесса – метеорологический (выпадение атмосферных осадков выше нормы), техногенный (затрудненный сток атмосферных осадков в отсутствие вертикальной планировки). Активность процесса низкая. Дебит родника составил 2,7 л/с, что выше значения 2025 г.		–
38-13-00002	Сибирский	Иркутская область	г. Тулун	54,56799	100,58147	00.05.2026	Не завершилась	Пт	Атм., техн., гидрогеол.	Отмечались	В г. Тулун (пункт наблюдений Тулун) с мая 2026 г. на территории жилой застройки по ул. Калинина, Ленина, Тухачевского, Сергея Лазо, пер. Тухачевского, Первомайской отмечалась активизация процесса подтопления на площади 0,1188 км^2. 44 приусадебных участка оказались в зоне подтопления. Факторы активизации процесса – метеорологический (выпадение атмосферных осадков выше нормы), техногенный (отсутствие централизованной системы водоотведения), гидрогеологический (уровень грунтовых вод на глубине 0,65-1,6 м). Активность процесса средняя.		–
42-10-00003	Сибирский	Кемеровская область-Кузбасс	Крапивинский округ, пгт. Крапивинский	55,01286	86,81268	00.04.2026	Не завершилась	Об	Атм., гидрол.	Отмечались	В пгт. Крапивинский Крапивинского округа (пункт наблюдений Крапивинский) с апреля 2026 г. отмечалась активизация обвального процесса. Процесс в стадии развития. Базис развития - р. Томь. Морфологические показатели: длина уступа 1790 м, высота уступа 20-22 м. Разрушению подвержены верхнечетвертичные отложения. Возраст проявления ЭГП современный. Факторы активизации: метеорологический (атмосферные осадки, интенсивное снеготаяние), гидрологический. Активность процесса низкая. Максимальная величина обрушения уступа составила 2,65 м, при среднем значении 0,26 м. Наиболее активно процесс развивается на 3-х участках. В зоне воздействия находятся огороды по ул. Совхозная, 40, 42, ул. Калинина, 25, 27, 29, приусадебный участок по ул. Калинина, 1а. Защитные сооружения отсутствуют.	–	–
42-10-00005	Сибирский	Кемеровская область-Кузбасс	г. Кемерово, Рудничный район, в районе ул. Гравийная, 40/1	55,376344	86,06366	00.04.2026	Не завершилась	Об	Атм.	Не отмечались	В г. Кемерово, в районе ул. Гравийная, 40/1 (Рудничный район) с апреля 2026 г. отмечалась активизация обвального процесса. Процесс в стадии развития. Базис развития - р. Томь. Морфологические показатели обвального склона: длина – 24,5 м, ширина – 182,3 км, площадь – 0,004466 км^2. Разрушению подвержены верхнечетвертичные отложения. Возраст проявления ЭГП современный. Факторы активизации: метеорологический (атмосферные осадки, интенсивное снеготаяние). Активность процесса		Плановое обследование

1	2	3	4	5	6	7	8	9	10	11	12	13	14
											низкая. Склон зоны обрушения задернован на локальных участках, видны следы свежих обрушений, прослеживаются трещины отрыва. Средняя величина обрушения уступа составила 0,31 м. Защитные сооружения отсутствуют.		
42-11-00001	Сибирский	Кемеровская область-Кузбасс	Новокузнецкий округ, ЮЗ п. Ерунаково	54,07650	87,45132	00.04.2026	Не завершилась	Оп	Атм.	Отмечались	В Новокузнецком округе, ЮЗ п. Ерунаково (пункт наблюдений п. Ерунаково) отмечена активизация оползневого процесса с апреля 2026 г. Процесс в стадии развития. Базис развития - р. Томь. Длина тела оползня 250,75 м, ширина 353,13 м, площадь 0,088547 км^2. Процесс развивается в верхнечетвертичных отложениях. Возраст проявления ЭГП современный. Фактор активизации: метеорологический (атмосферные осадки, интенсивное снеготаяние). Активность процесса низкая. Оползень продолжает увеличиваться. Развитие происходит за счет переувлажнения пород и последующего ослабления их устойчивости. Разрушено 0,000149 км^2 земель лесного фонда. Защитные сооружения отсутствуют, противооползневые мероприятия не проводятся.		–
42-11-00003	Сибирский	Кемеровская область-Кузбасс	Новокузнецкий округ, уч. а/дороги Р-366 Бийск – Мартыново – Кузедеево – Новокузнецк, 186,7-186,8 км, на северном склоне водораздела, в 2,51 км СВ п. Кандалеп, в 2,64 км ЮЗ п. Юла	53,28383	86,96359	22.04.2026	Не завершилась	Оп	Атм., гидрогеол., техн.	Не отмечались	В Новокузнецком округе, на уч. а/дороги Р-366 Бийск – Мартыново – Кузедеево – Новокузнецк, 186,7-186,8 км, в 2,51 км СВ п. Кандалеп, в 2,64 км ЮЗ п. Юла 22.04.2026 зафиксирована активизация оползневого процесса в результате чего было разрушено 0,1 км а/дороги. На момент обследования (18.08.2026) проведены восстановительные работы - был снят слой техногенных образований и часть коренных отложений, залегавших под дорожным полотном. Высота надоползневого уступа значительно снизилась. Активность на момент обследования низкая, процесс в стадии развития. Базис развития – подножие склона, сопряженного с днищем ложбины стока. Процесс оползания по вертикали ограничивается кровлей коренных пород. Процесс развит в техногенных и верхнечетвертичных отложениях, представленных лессовидными суглинками, супесями, щебнем, глинами, песками. Возраст проявления ЭГП современный. Фактор активизации: метеорологический (интенсивное снеготаяние, атмосферные осадки), гидрогеологический, техногенный. Площадь проявления составляет 0,0133 км^2, максимальная ширина оползня – 0,112 км, максимальная длина – 0,119 км.		–
42-11-00004	Сибирский	Кемеровская область-Кузбасс	Новокузнецкий округ, уч. а/дороги Р-366 Бийск – Мартыново – Кузедеево – Новокузнецк, 179,13 км, на северном склоне водораздела, в	53,26393	86,86317	00.04.2026	Не завершилась	Оп	Атм., гидрогеол., техн.	Отмечались	В Новокузнецком округе, на уч. а/дороги Р-366 Бийск – Мартыново – Кузедеево – Новокузнецк, 179,13 км, в 3,1 км ЮЗ п. Кандалеп, в 3,6 км В с. Бенжереп 2-й с апреля 2026 г. зафиксирована активизация оползневого процесса. Процесс в стадии развития. Базис развития – подножие склона, сопряженного с днищем ложбины стока. Процесс оползания по вертикали ограничивается кровлей коренных пород. Процесс развит в техногенных и		–

1	2	3	4	5	6	7	8	9	10	11	12	13	14
			3,1 км ЮЗ п. Кандалеп, в 3,6 км В с. Бенжереп 2-й								верхнечетвертичных отложениях, представленных лессовидными суглинками, супесями, щебнем, глинами, песками. Возраст проявления ЭГП современный. Фактор активизации: метеорологический (интенсивное снеготаяние, атмосферные осадки), гидрогеологический, техногенный. Активность процесса средняя. Площадь проявления составляет 0,00225 км^2, максимальная ширина оползня – 0,040 км, максимальная длина – 0,057 км. Высота уступа, сформировавшаяся на дорожном полотне, составила: максимальная – 0,19 м, средняя – 0,07 м. Под склоном дорожной насыпи присутствует частично разрушенные водоотводные каналы, способствующие накоплению влаги в теле оползня. Негативное воздействие: разрушение участка а/дороги протяженностью 0,037 км.		
42-11-00005	Сибирский	Кемеровская область-Кузбасс	Новокузнецкий округ, уч. а/дороги Р-366 Бийск – Мартыново – Кузедеево – Новокузнецк, 179,49 км, на южном склоне водораздела, в 2,7 км ЮЗ п. Кандалеп, в 3,9 км ЮВ с. Бенжереп 2-й	53,26363	86,86882	00.04.2026	Не завершилась	Оп	Атм., гидрогеол., техн.	Отмечались	В Новокузнецком округе, на уч. а/дороги Р-366 Бийск – Мартыново – Кузедеево – Новокузнецк, 179,49 км, в 2,7 км ЮЗ п. Кандалеп, в 3,9 км ЮВ с. Бенжереп 2-й с апреля 2026 г. зафиксирована активизация оползневого процесса. Процесс в стадии развития. Базис развития – р. Урнас. Процесс оползания по вертикали ограничивается кровлей коренных пород. Процесс развит в техногенных и верхнечетвертичных отложениях, представленных лессовидными суглинками, супесями, щебнем, глинами, песками. Возраст проявления ЭГП современный. Фактор активизации: метеорологический (интенсивное снеготаяние, атмосферные осадки), гидрогеологический, техногенный. Активность процесса средняя. Площадь проявления составляет 0,00696 км^2, максимальная ширина оползня – 0,052 км, максимальная длина – 0,134 км. Высота уступа, сформировавшаяся на дорожном полотне, составила: максимальная – 0,29 м, средняя – 0,09 м. Прирост площади составил около 0,000201 км^2. Под склоном дорожной насыпи присутствует частично разрушенные водоотводные каналы, способствующие накоплению влаги в теле оползня. Негативное воздействие: разрушение участка а/дороги протяженностью 0,056 км.		–
42-11-00006	Сибирский	Кемеровская область-Кузбасс	Новокузнецкий округ, уч. а/дороги Р-366 Бийск – Мартыново – Кузедеево – Новокузнецк, 179,68 км, на северном склоне водораздела, в 2,5 км ЮЗ п. Кандалеп, в 4,3 км В	53,26486	86,87160	00.04.2026	Не завершилась	Оп	Атм., гидрогеол., техн.	Отмечались	В Новокузнецком округе, на уч. а/дороги Р-366 Бийск – Мартыново – Кузедеево – Новокузнецк, 179,68 км, в 2,5 км ЮЗ п. Кандалеп, в 4,3 км В с. Бенжереп 2-й с апреля 2026 г. зафиксирована активизация оползневого процесса. Процесс в стадии развития. Базис развития – подножие склона, сопряженного с днищем ложбины стока. Процесс оползания по вертикали ограничивается кровлей коренных пород. Процесс развит в техногенных и верхнечетвертичных отложениях, представленных лессовидными суглинками, супесями, щебнем, глинами, песками. Возраст проявления ЭГП	–	–

1	2	3	4	5	6	7	8	9	10	11	12	13	14
			с. Бенжереп 2-й								современный. Фактор активизации: метеорологический (интенсивное снеготаяние, атмосферные осадки), гидрогеологический, техногенный. Активность процесса средняя. Площадь проявления составляет 0,00562 км^2, максимальная ширина оползня – 0,085 км, максимальная длина – 0,066 км. Высота уступа, сформировавшаяся на дорожном полотне, составила: максимальная – 0,05 м, средняя – 0,03 м. Под склоном дорожной насыпи присутствует водоотводные каналы. Негативное воздействие: разрушение участка а/дороги протяженностью 0,082 км.		
42-11-00007	Сибирский	Кемеровская область-Кузбасс	Новокузнецкий округ, уч. а/дороги Р-366 Бийск – Мартыново – Кузедеево – Новокузнецк, 179,85 км, на южном склоне водораздела, в 2,4 км ЮЗ п. Кандалеп, в 4,4 км В с. Бенжереп 2-й	53,26501	86,87442	00.04.2026	Не завершилась	Оп	Атм., гидрогеол., техн.	Отмечались	В Новокузнецком округе, на уч. а/дороги Р-366 Бийск – Мартыново – Кузедеево – Новокузнецк, 179,85 км, в 2,4 км ЮЗ п. Кандалеп, в 4,4 км В с. Бенжереп 2-й с апреля 2026 г. зафиксирована активизация оползневого процесса. Процесс в стадии развития. Базис развития – р. Урнас. Процесс оползания по вертикали ограничивается кровлей коренных пород. Процесс развит в техногенных и верхнечетвертичных отложениях, представленных лессовидными суглинками, супесями, щебнем, глинами, песками. Возраст проявления ЭГП современный. Фактор активизации: метеорологический (интенсивное снеготаяние, атмосферные осадки), гидрогеологический, техногенный. Активность процесса средняя. Площадь проявления составляет 0,00649 км^2, максимальная ширина оползня – 0,085 км, максимальная длина – 0,076 км. Высота уступа, сформировавшаяся на дорожном полотне, составила: максимальная – 0,17 м, средняя – 0,06 м. Под склоном дорожной насыпи присутствует частично разрушенные водоотводные каналы. Негативное воздействие: разрушение участка а/дороги протяженностью 0,104 км.		–
42-11-00008	Сибирский	Кемеровская область-Кузбасс	Новокузнецкий округ, уч. а/дороги Р-366 Бийск – Мартыново – Кузедеево – Новокузнецк, 179,96 км, на южном склоне водораздела, в 2,3 км ЮЗ п. Кандалеп, в 4,5 км В с. Бенжереп 2-й	53,26543	86,87548	00.04.2026	Не завершилась	Оп	Атм., гидрогеол., техн.	Отмечались	В Новокузнецком округе, на уч. а/дороги Р-366 Бийск – Мартыново – Кузедеево – Новокузнецк, 179,96 км, в 2,3 км ЮЗ п. Кандалеп, в 4,5 км В с. Бенжереп 2-й с апреля 2026 г. зафиксирована активизация оползневого процесса. Процесс в стадии развития. Базис развития – р. Урнас. Процесс оползания по вертикали ограничивается кровлей коренных пород. Процесс развит в техногенных и верхнечетвертичных отложениях, представленных лессовидными суглинками, супесями, щебнем, глинами, песками. Возраст проявления ЭГП современный. Фактор активизации: метеорологический (интенсивное снеготаяние, атмосферные осадки), гидрогеологический, техногенный. Активность процесса средняя. Площадь проявления составляет 0,00156 км^2, максимальная ширина оползня – 0,034 км, максимальная длина – 0,046 км. Величина просадки	–	–

1	2	3	4	5	6	7	8	9	10	11	12	13	14
											дорожного полотна, составила: максимальная – 0,06 м, средняя – 0,02 м. Негативное воздействие: разрушение участка а/дороги протяженностью 0,032 км.		
42-11-00009	Сибирский	Кемеровская область-Кузбасс	Новокузнецкий округ, уч. а/дороги Р-366 Бийск – Мартыново – Кузедеево – Новокузнецк, 186,4 км, на южном склоне водораздела, в 2,23 км СВ п. Кандалеп, в 2,83 км ЮЗ п. Юла	53,28191	86,96050	00.04.2026	Не завершилась	Оп	Атм., гидрогеол., техн.	Отмечались	В Новокузнецком округе, на уч. а/дороги Р-366 Бийск – Мартыново – Кузедеево – Новокузнецк, 186,4 км, в 2,23 км СВ п. Кандалеп, в 2,83 км ЮЗ п. Юла с апреля 2026 г. зафиксирована активизация оползневого процесса. Процесс в стадии развития. Базис развития – р. Кандалеп. Процесс оползания по вертикали ограничивается кровлей коренных пород. Процесс развит в техногенных и верхнечетвертичных отложениях, представленных лессовидными суглинками, супесями, щебнем, глинами, песками. Возраст проявления ЭГП современный. Фактор активизации: метеорологический (интенсивное снеготаяние, атмосферные осадки), гидрогеологический, техногенный. Активность процесса средняя. Площадь проявления составляет 0,00542 км^2, максимальная ширина оползня – 0,061 км, максимальная длина – 0,089 км. Негативное воздействие: разрушение участка а/дороги протяженностью 0,019 км.		–
42-11-00010	Сибирский	Кемеровская область-Кузбасс	Новокузнецкий округ, уч. а/дороги Р-366 Бийск – Мартыново – Кузедеево – Новокузнецк, 186,6 км, на северном склоне водораздела, в 2,33 км СВ п. Кандалеп, в 2,69 км ЮЗ п. Юла	53,28315	86,96190	00.04.2026	Не завершилась	Оп	Атм., гидрогеол., техн.	Отмечались	В Новокузнецком округе, на уч. а/дороги Р-366 Бийск – Мартыново – Кузедеево – Новокузнецк, 186,6 км, в 2,33 км СВ п. Кандалеп, в 2,69 км ЮЗ п. Юла с апреля 2026 г. зафиксирована активизация оползневого процесса. Процесс в стадии развития. Базис развития – подножие склона, сопряженного с днищем ложбины стока. Процесс оползания по вертикали ограничивается кровлей коренных пород. Процесс развит в техногенных и верхнечетвертичных отложениях, представленных лессовидными суглинками, супесями, щебнем, глинами, песками. Возраст проявления ЭГП современный. Фактор активизации: метеорологический (интенсивное снеготаяние, атмосферные осадки), гидрогеологический, техногенный. Активность процесса средняя. Площадь проявления составляет 0,00393 км^2, максимальная ширина оползня – 0,042 км, максимальная длина – 0,093 км. Прирост площади составил около 0,000184 км^2. Высота уступа, сформировавшаяся на дорожном полотне, составила: максимальная – 0,25 м, средняя – 0,10 м. Величина просадки дорожного полотна, составила: максимальная – 0,19 м, средняя – 0,03 м. Негативное воздействие: разрушение участка а/дороги протяженностью 0,053 км.		–
42-11-00011	Сибирский	Кемеровская область-Кузбасс	Новокузнецкий округ, уч. а/дороги Р-366 Бийск – Мартыново – Кузедеево –	53,28288	86,96382	00.04.2026	Не завершилась	Оп	Атм., гидрогеол., техн.	Не отмечались	В Новокузнецком округе, на уч. а/дороги Р-366 Бийск – Мартыново – Кузедеево – Новокузнецк, 186,7-186,8 км, в 2,50 км СВ п. Кандалеп, в 2,63 км ЮЗ п. Юла с апреля 2026 г. зафиксирована активизация оползневого процесса. Процесс в стадии	–	–

1	2	3	4	5	6	7	8	9	10	11	12	13	14
			Новокузнецк, 186,7-186,8 км, на южном склоне водораздела, в 2,50 км СВ п. Кандалеп, в 2,63 км ЮЗ п. Юла								развития. Базис развития – р. Кандалеп. Процесс оползания по вертикали ограничивается кровлей коренных пород. Процесс развит в техногенных и верхнечетвертичных отложениях, представленных лессовидными суглинками, супесями, щебнем, глинами, песками. Возраст проявления ЭГП современный. Фактор активизации: метеорологический (интенсивное снеготаяние, атмосферные осадки), гидрогеологический, техногенный. Активность процесса низкая. Площадь проявления составляет 0,01227 км^2, максимальная ширина оползня – 0,156 км, максимальная длина – 0,079 км. В результате активизации оползня №42-11-00003 22.04.2026 г и последующих восстановительных работ был частично ликвидирован, ввиду чего отсутствуют четкие границы на местности. Негативное воздействие отсутствует.		
42-11-00012	Сибирский	Кемеровская область-Кузбасс	Новокузнецкий округ, уч. а/дороги Р-366 Бийск – Мартыново – Кузедеево – Новокузнецк, 187 км, на северном склоне водораздела, в 2,35 км З п. Юла, в 2,60 км СВ п. Кандалеп	53,28535	86,96711	00.04.2026	Не завершилась	Оп	Атм., гидрогеол., техн.	Отмечались	В Новокузнецком округе, на уч. а/дороги Р-366 Бийск – Мартыново – Кузедеево – Новокузнецк, 187 км, в 2,35 км З п. Юла, в 2,60 км СВ п. Кандалеп с апреля 2026 г. зафиксирована активизация оползневого процесса. Процесс в стадии развития. Базис развития – подножие склона, сопряженного с днищем ложбины стока. Процесс оползания по вертикали ограничивается кровлей коренных пород. Процесс развит в техногенных и верхнечетвертичных отложениях, представленных лессовидными суглинками, супесями, щебнем, глинами, песками. Возраст проявления ЭГП современный. Фактор активизации: метеорологический (интенсивное снеготаяние, атмосферные осадки), гидрогеологический, техногенный. Активность процесса средняя. Площадь проявления составляет 0,00694 км^2, максимальная ширина оползня – 0,099 км, максимальная длина – 0,070 км. Прирост площади составил около 0,000317 км^2. Высота уступа, сформировавшаяся на дорожном полотне, составила: максимальная – 0,34 м, средняя – 0,10 м. Величина просадки дорожного полотна, составила: максимальная – 0,21 м, средняя – 0,05 м. Негативное воздействие: разрушение участка а/дороги протяженностью 0,1 км.		–
42-12-00001	Сибирский	Кемеровская область-Кузбасс	Таштагольский округ, пгт. Мундыбаш, уч. а/дороги Кузедеево – Таштагол, 24-25 км	53,20966	87,26186	00.04.2026	Не завершилась	Ос	Атм., техн.	Не отмечались	В пгт. Мундыбаш Таштагольского округа, на уч. а/дороги Кузедеево – Таштагол, 24-25 км (пункт наблюдений пгт. Мундыбаш) отмечалась активизация осыпного процесса с апреля 2026 г. Процесс в стадии развития. Базис развития - р. Кондома. Процесс развит в верхнечетвертичных отложениях и отложениях тамалинской свиты нижне-среднего девона. Возраст проявления ЭГП современный. Факторы активизации: метеорологический (атмосферные осадки, интенсивное снеготаяние), техногенный (подрезка		–

1	2	3	4	5	6	7	8	9	10	11	12	13	14
											склона). Активность процесса высокая. Морфологические показатели осыпного склона: длина – 32 м, ширина – 367 м, площадь – 0,0117 км^2. Осыпной процесс развивается на склоне, расположенном вдоль участка а/дороги Кузедеево-Таштагол. Склоны зоны осыпания не задернованы, видны конусы выноса осыпного материала, промоины и упавшие деревья. Негативное воздействие отсутствует.		
42-12-00002	Сибирский	Кемеровская область-Кузбасс	Таштагольский округ, пгт. Темиртау	53,13647	87,45907	00.04.2026	Не завершилась	Ос	Атм., техн.	Не отмечались	В пгт. Темиртау Таштагольского округа (пункт наблюдений пгт. Темиртау) отмечалась активизация осыпного процесса с апреля 2026 г. Процесс в стадии развития. Базис развития – уровень отработки шахты Темиртауского рудника. Процесс развит в верхнечетвертичных отложениях. Возраст проявления ЭГП современный. Факторы активизации: метеорологический (атмосферные осадки, интенсивное снеготаяние), техногенный (подземные горные выработки). Активность процесса средняя. Морфологические показатели: длина 23,57 м, ширина – 2108,68 м, площадь проявления – 0,0497 км^2. Склоны зоны осыпания не задернованы, видны конусы выноса осыпного материала и упавшие деревья. На локальных участках видны следы свежих обрушений, прослеживаются трещины отрыва. Негативное воздействие отсутствует.		–
42-13-00006	Сибирский	Кемеровская область-Кузбасс	Крапивинский округ, с. Борисово	54,81475	86,54751	00.04.2026	Не завершилась	Пт	Атм., гидрогеол.	Отмечались	В с. Борисово Крапивинского округа (пункт наблюдений с. Борисово) отмечена активизация процесса подтопления с апреля 2026 г. Процесс в стадии развития. Процесс подтопления развит в верхнечетвертичных отложениях. Возраст проявления ЭГП современный. Факторы активизации: метеорологический (атмосферные осадки, интенсивное снеготаяние), гидрогеологический. Активность процесса низкая. В период активного снеготаяния происходит подтопление погребов и подпольев жилых строений на ул. Молодежная и ул. Перспективная, наблюдается деформация строений. В дренажных канавах, сооруженных вдоль ул. Молодежная и ул. Перспективная, сток затруднен вследствие не выдержанной глубины, наличия мусора. Площадь подтопления снизилась по сравнению с 2025 г. и составила 0,0899 км^2.		–
42-13-00007	Сибирский	Кемеровская область-Кузбасс	Яйский округ, пгт. Яя	56,21203	86,42201	00.04.2026	Не завершилась	Пт	Атм., гидрогеол.	Отмечались	В пгт. Яя Яйского округа (пункт наблюдений пгт. Яя) отмечена активизация процесса подтопления с апреля 2026 г. Процесс подтопления развит в верхнечетвертичных отложениях. Возраст проявления ЭГП современный. Факторы активизации: метеорологический (атмосферные осадки, интенсивное снеготаяние), гидрогеологический. Активность процесса низкая. Площадь подтопления снизилась по сравнению с 2025 г. и составила 0,035 км^2, что приблизительно		–

1	2	3	4	5	6	7	8	9	10	11	12	13	14
											соответствует значению 2023 г. Негативному воздействию подвержены здание центральной больницы по ул. Авиационная, 32, дома по пер. Дружбы, 1, 3, 5, 7 и ул. Дружбы, 4. В подвальном помещении центральной больницы оборудован насос, вода откачивается и сбрасывается ниже по потоку.		
42-13-00008	Сибирский	Кемеровская область-Кузбасс	г. Белово	54,43471	86,28772	00.04.2026	Не завершилась	Пт	Атм., техн. гидрогеол.	Отмечались	В г. Белово (пункт наблюдений г. Белово) отмечена активизация процесса подтопления с апреля 2026 г. Процесс в стадии развития. Процесс подтопления развит в верхнечетвертичных отложениях. Возраст проявления ЭГП современный. Факторы активизации: метеорологический (атмосферные осадки, интенсивное снеготаяние), техногенный (утечки из водопроводной сети, неудовлетворительное состояние систем дренажа), гидрогеологический. Активность процесса низкая. Площадь подтопления составляет 1,524 км^2. За счет выпавших атмосферных осадков, порывов на сетях водоснабжения и сокращения работ по борьбе с опасным ЭГП, площадь подтопления в 2026 г. увеличилась по сравнению с 2025 г., однако за счет высокого температурного режима и неравномерного распределения осадков интенсивность процесса снизилась. Практически на всей территории населенного пункта организован дренаж, значительная часть дренажных систем требуют контроля их функционального состояния и своевременного ремонта.		–
42-13-00009	Сибирский	Кемеровская область-Кузбасс	г. Новокузнецк, Орджоникидзевский район	53,78999	87,35695	00.04.2026	Не завершилась	Пт	Атм., гидрогеол., техн.	Отмечались	В г. Новокузнецке (Орджоникидзевский район) (пункт наблюдений г. Новокузнецк) отмечена активизация процесса подтопления с апреля 2026 г. Процесс в стадии развития. Базис развития - р. Томь. Процесс подтопления развит в верхнечетвертичных отложениях. Возраст проявления ЭГП современный. Факторы активизации: метеорологический (атмосферные осадки, интенсивное снеготаяние), гидрогеологический и техногенный (утечки из водопроводной сети, неудовлетворительное состояние систем дренажа). Активность процесса низкая. Площадь подтопления составляет 0,317 км^2. За счет работ, направленных на борьбу с опасным ЭГП, высоким температурным режимом и нестабильным режимом увлажнения, площадь подтопления в 2026 г. снизилась по сравнению с 2025 г., активность процесса низкая. На локальных участках дренажные канавы требуют ремонта либо полного восстановления, ввиду чего возможно ухудшение ситуации.		–

1	2	3	4	5	6	7	8	9	10	11	12	13	14
42-13-00010	Сибирский	Кемеровская область-Кузбасс	г. Междуреченск	53,71687	87,97179	00.04.2026	Не завершилась	Пт	Гидрогеол., атм., техн.	Отмечались	В г. Междуреченске Междуреченского округа (пункт наблюдений г. Междуреченск) отмечена активизация процесса подтопления с апреля 2026 г. Процесс в стадии развития. Базис развития - р. Томь. Процесс подтопления развит в верхнечетвертичных отложениях. Возраст проявления ЭГП современный. Факторы активизации: гидрогеологический, метеорологический (атмосферные осадки, интенсивное снеготаяние), техногенный (барражный эффект, утечки из водопроводной сети, неудовлетворительное состояние систем дренажа). Активность процесса низкая. Площадь подтопления составляет 1,488 км^2. На подтапливаемой территории сооружены дренажные канавы, часть дренажей требует технического обслуживания. Подтоплены приусадебные участки по ул. Чебалсинская, Новоулусинская, Куйбышева, Проходчиков, Леонова, Льва Толстого, Гагарина, Геологов, Маяковского, Беляева, Зеленая, Новая, пер. Дорожный, Болотный.		–
42-13-00011	Сибирский	Кемеровская область-Кузбасс	г. Мариинск	56,20438	87,76033	00.04.2026	Не завершилась	Пт	Гидрогеол., атм., техн.	Отмечались	В г. Мариинске Мариинского округа (пункт наблюдений г. Мариинск) отмечена активизация процесса подтопления с апреля 2026 г. Процесс в стадии развития. Базис развития - р. Кия. Процесс подтопления развит в верхнечетвертичных отложениях. Возраст проявления ЭГП современный. Факторы активизации: гидрогеологический, метеорологический (атмосферные осадки, интенсивное снеготаяние), техногенный (барражный эффект, утечки из водопроводной сети, неудовлетворительное состояние систем дренажа). Активность процесса низкая. Площадь подтопления составляет 2,528 км^2. На подтапливаемой территории сооружены дренажные канавы, часть дренажей требует технического обслуживания.		–
42-26-00001	Сибирский	Кемеровская область-Кузбасс	г. Ленинск-Кузнецкий	54,62570	86,17962	00.04.2026	Не завершилась	От	Техн., атм.	Отмечались	В г. Ленинск-Кузнецке Ленинск-Кузнецкого округа (пункт наблюдений г. Ленинск-Кузнецкий) отмечена активизация процесса оседания и обрушения поверхности над горными выработками с апреля 2026 г. Процесс в стадии развития. Базис развития – подземные горные выработки. Процесс развит в верхнечетвертичных и пермских отложениях. Возраст проявления ЭГП современный. Факторы активизации – техногенный (подземные горные выработки), метеорологический. Активность процесса низкая. Зафиксирована деформация зданий и сооружений на ул. Есенина, Ивановка, пер. Щербакова. Мероприятия по расселению местного населения находятся на заключительном этапе.	–	–
42-11-00013	Сибирский	Кемеровская область-Кузбасс	Ленинск-Кузнецкий округ, северная окраина д. Красноярка, в 0,39 км ЮВ моста	54,64457	86,33442	00.04.2026	Не завершилась	Оп	Атм.	Не отмечались	В Ленинск-Кузнецком округе, у северной окраины д. Красноярка, в 0,39 км на ЮВ от моста через р. Мереть отмечалась активизация оползневого процесса с апреля 2026 г. Процесс в стадии развития. Базис развития – р. Мереть. Процесс развит в		Плановое обследование

1	2	3	4	5	6	7	8	9	10	11	12	13	14
			через р. Мереть								верхнечетвертичных отложениях, представленных лессовидными суглинками, супесями, глинами, песками. Возраст проявления ЭГП современный. Фактор активизации: метеорологический (атмосферные осадки, интенсивное снеготаяние). Активность процесса низкая. Длина тела оползня 50,8 м, ширина 51,5 м, площадь 0,002616 км^2. Тело оползня имеет структурное ступенчатое строение, разбито трещинами растяжения и сброса, переувлажнено. На надоползневом уступе присутствуют блоки отрыва. Негативное воздействие отсутствует.		
42-22-00004	Сибирский	Кемеровская область-Кузбасс	Ленинск-Кузнецкий округ, северная окраина д. Красноярка, в 0,3 км ЮВ моста через р. Мереть	54,64468	86,33255	00.04.2026	Не завершилась	Эо	Атм.	Не отмечались	В Ленинск-Кузнецком округе, у северной окраины д. Красноярка, в 0,3 км на ЮВ от моста через р. Мереть отмечалась активизация процесса овражной эрозии с апреля 2026 г. в виде обрушения в бортах и роста вершины. Процесс в стадии развития. Базис развития – р. Мереть. Процесс развит в верхнечетвертичных отложениях, представленных лессовидными суглинками, супесями, глинами, песками. Возраст проявления ЭГП современный. Фактор активизации: метеорологический (атмосферные осадки, интенсивное снеготаяние). Активность процесса средняя. Морфологические показатели проявления овражной эрозии: длина – 38,1 м, ширина – 7,2 м, площадь – 0,00027 км^2. Прирост в вершине около 1,5 м. Негативное воздействие отсутствует.		Плановое обследование
42-22-00005	Сибирский	Кемеровская область-Кузбасс	Ленинск-Кузнецкий округ, северная окраина д. Красноярка, в 0,35 км на ЮВ от моста через р. Мереть	54,64476	86,33353	00.04.2026	Не завершилась	Эо	Атм.	Не отмечались	В Ленинск-Кузнецком округе, у северной окраины д. Красноярка, в 0,35 км на ЮВ от моста через р. Мереть отмечалась активизация процесса овражной эрозии с апреля 2026 г. в виде обрушения в бортах и роста вершины. Процесс в стадии развития. Базис развития – р. Мереть. Процесс развит в верхнечетвертичных отложениях, представленных лессовидными суглинками, супесями, глинами, песками. Возраст проявления ЭГП современный. Фактор активизации: метеорологический (атмосферные осадки, интенсивное снеготаяние). Активность процесса низкая. Морфологические показатели проявления овражной эрозии: длина – 53,1 м, ширина – 13,6 м, площадь – 0,00072 км^2. Прирост в вершине около 0,25 м. Негативное воздействие отсутствует.		Плановое обследование
54-13-00002	Сибирский	Новосибирская область	Татарский округ, г. Татарск	55,22215	75,98334	16.02.2026	Не завершилась	Пт	Атм., гидрогеол., техн.	Отмечались	В г. Татарске Татарского округа (пункт наблюдений Татарский) активизация подтопления отмечена с 16.02.2026 г. Уровни грунтовых вод в сентябре отмечаются ниже весенних максимумов в среднем на 0,48 м и залегают на глубине до 1 м. Подтоплены объекты жилой застройки и промышленного производства на площади 17,3 км^2. Литологический состав представлен илистыми суглинками ($saQ_{III}+N_2cn$) мощностью 2,4-7 м, сплошным чехлом покрывающими водоупорный горизонт павлодарских глин. Факторы активизации процесса	–	–

1	2	3	4	5	6	7	8	9	10	11	12	13	14
											– метеорологический (количество летних осадков превысило норму на 28 %, в том числе в августе на 109 %), гидрогеологический (распространение слабо фильтрующих и низко дренирующих грунтов чановской свиты, способных ухудшать свои фильтрационные свойства под воздействием строительства и эксплуатации зданий и сооружений, близкое залегание павлодарского водоупора), техногенный (насыпи автодорог, Транс-Сибирской ж. д. магистрали, засыпка естественных водоёмов, служивших местом сбора поверхностных вод с окружающей территории, отсутствие вертикальной планировки, неудовлетворительное состояние систем дренажа и ливневой канализации, дренаж выполнен без выдержанных уклонов в сторону водосборника, подвалы, построенные поперёк потока грунтовых вод, играют роль водопроводной плотины).		
54-13-00003	Сибирский	Новосибирская область	Баганский район, с. Баган	54,09711	77,67092	16.02.2026	Не завершилась	Пт	Атм., гидрогеол., техн.	Отмечались	В с. Баган Баганского района (пункт наблюдений Баганский) с 16.02.2026 г. отмечалась активизация подтопления. К сентябрю на площади 4,65 км^2 уровни грунтовых вод залегали на средней глубине 1,93 м и были ниже предвесенних минимумов в среднем на 0,39 м. Литологический состав представлен до глубины в среднем 1,1 м суглинками от лёгких до тяжёлых ($Q_{II-III}kr$), ниже глинистыми песками средней мощностью 2,9 м. Факторы активизации процесса – метеорологический (количество летних осадков – 96 % нормы, в том числе в августе 141%), гидрогеологический (весьма слабые фильтрационные свойства суглинков карасукской свиты, близкое залегание глинистого водоупора павлодарской свиты), техногенный (утечки из водонесущих коммуникаций, засыпка оврагов при строительстве, планировке, неудовлетворительное состояние систем дренажа и ливневой канализации, дренаж выполнен без выдержанных уклонов в сторону водосборника – озера Горькое).	–	–
54.-13-00012	Сибирский	Новосибирская область	Чистоозёрный район, пгт. Чистоозёрное	54,70735	76,58547	21.02.2026	Не завершилась	Пт	Атм., гидрогеол., техн.	Отмечались	В пгт. Чистоозёрное Чистоозёрного района (пункт наблюдений Чистоозёрненский) с 21.02.2026 г. отмечалась активизация подтопления. После прохождения максимума (10 апреля) наблюдалось монотонное снижение уровней до сентября на 1,63 м, осложнённое в первой половине августа подъёмом на 0,30 м. В июле-августе на территории площадью 3,18 км^2 они находились на глубине 1,5-2,3 м. Литологический состав представлен в кровле средними, реже лёгкими суглинками средней мощностью 2,1 м (saQ_{III}), ниже глинистыми тонкозернистыми песками средней мощностью 5,2 м (N_2cn). Факторы активизации процесса - метеорологический, гидрогеологический (весьма слабые фильтрационные свойства верхнечетвертичных субаэральных суглинков и глинистых песков чановской свиты, близкое	–	–

1	2	3	4	5	6	7	8	9	10	11	12	13	14
											залегание глинистого водоупора павлодарской свиты), техногенный (насыпи существующих автодорог, препятствующие поверхностному стоку талых и дождевых вод, утечка воды из водонесущих коммуникаций, канализационных ям, поливные воды зелёных насаждений и приусадебных участков, недостаточное количество систем дренажа и ливневой канализации).		
54-13-00004	Сибирский	Новосибирская область	г. Новосибирск	55,04861	82,93166	05.03.2026	Не завершилась	Пт	Атм., гидрогеол., техн.	Отмечались	В г. Новосибирске (пункт наблюдений Новосибирский) с 05.03.2026 г. отмечалась активизация подтопления. В сентябре уровни после плавного снижения относительно майского подъёма зафиксированы на уровне предвесенних минимумов и ниже максимумов в среднем на 1,1 м. На подтопляемой территории площадью около 20 км^2 они залегают на глубине до 3 м. Это северная часть Дзержинского района в районе р. Каменка, Калининского района в верховьях р. 1-я Ельцовка, Кировского и Ленинского районов - жилмассивы Затон, Юго-западный, Чемской, Паласса. Литологический состав представлен на левобережье аллювиальными суглинками с редкими не выдержанными прослоями песка и супеси (aQ_{IV}, a^1Q_{III} - a^3Q_{III}), на правобережье - плотными суглинками ($Q_{I-II}kd$). Факторы активизации процесса – метеорологический (количество летних осадков - 77 % нормы), гидрогеологический (широкое распространение слабофильтрующих лёссовых грунтов и лессовидных суглинков, способных ухудшать свои фильтрационные свойства под воздействием строительства и эксплуатации), техногенный (утечки из городских водонесущих коммуникаций, строительство подпорных стенок и набережных, перекрывающих выход грунтовых вод в естественные речные потоки, зарегулированность русел естественных дрен речек Каменка, Ельцовка-1 и др., недостаточная обеспеченность ливневой канализацией и её неудовлетворительное состояние, засыпка естественных водоемов, служивших местом сбора поверхностных вод с окружающей территории, отсутствие соответствующей вертикальной планировки при строительстве города и системы дренажных и ливневых коллекторов, наличие железнодорожных насыпей и многочисленных автодорог, препятствующих естественному стоку).	–	–
54-13-00008	Сибирский	Новосибирская область	Чулымский район, г. Чулым	55,09199	80,96415	11.03.2026	Не завершилась	Пт	Атм., гидрогеол., техн.	Отмечались	В г. Чулыме Чулымского района (пункт наблюдений Чулымский) активизация подтопления отмечается с 11.03.2026 г. На территории площадью 10,565 км^2 уровни снизились к сентябрю до отметок с глубиной 1,5-2 м. Литологический состав представлен илистыми суглинками с весьма слабыми фильтрационными свойствами мощностью 37-39 м, с линзами или пачками тонко-мелкозернистых песков мощностью 2,2-6,8 м, приуроченных к средней и нижней частям разреза ($laQ_{I-II}fd$). Факторы	–	–

1	2	3	4	5	6	7	8	9	10	11	12	13	14
											активизации процесса – метеорологический (количество летних осадков – 61% нормы), гидрогеологический (весьма слабые фильтрационные свойства суглинков федосовской свиты, близкое залегание глинистого водоупора), техногенный (утечки из водонесущих коммуникаций, засыпка оврагов при строительстве, планировки). Редкая сеть водосточных канав частично обеспечивает водоотвод с территории города в р. Чулым.		
54-13-00013	Сибирский	Новосибирская область	Купинский район, г. Купино	54,37912	77,31134	20.03.2026	Не завершилась	Пт	Атм., гидрогеол., техн.	Отмечались	В г. Купино Купинского района (пункт наблюдения Купинский) с 20.03.2026 г. отмечалась активизация подтопления. Грунтовые воды на подтопляемой территории площадью 4,9 км^2 в июле-сентябре находились на глубине 1,5-2 м. Литологический состав представлен в кровле эоловыми в основном лёгкими суглинками и супесями мощностью от 1 до 4,2 м при средней 2,1 м (vQ_{III}), ниже преобладающими лёгкими супесями, реже глинистыми тонкозернистыми песками общей мощностью 1,2-5,2 м при средней 3,3 м ($Q_{II-III}kr$). Факторы активизации процесса - метеорологический (количество летних осадков – 92 % нормы), гидрогеологический (весьма слабые фильтрационные свойства верхнечетвертичных эоловых суглинков и глинистых песков карасукской свиты, близкое залегание глинистого водоупора павлодарской свиты), техногенный (насыпи существующих автодорог, препятствующие поверхностному стоку талых и дождевых вод, утечка воды из водонесущих коммуникаций, канализационных ям, поливные воды зелёных насаждений и приусадебных участков, недостаточное количество систем дренажа и ливневой канализации).	–	–
54-13-00007	Сибирский	Новосибирская область	Искитимский район, с. Лебедевка	54,66833	83,23148	21.03.2026	Не завершилась	Пт	Атм., гидрогеол., техн.	Отмечались	В с. Лебедевка Искитимского района (пункт наблюдений Лебедевский) с 21.03.2026 г. отмечалась активизация подтопления. На подтопляемой территории площадью 0,236 км^2 грунтовые воды в июне-августе находились на глубине 1,5-2 м, в сентябре – на глубине более 2 м. По скважинам на ул. Мира и Ленина, расположенным рядом с дренами, глубина уровня в сентябре 2,59-2,7 м. Литологический состав представлен сверху пылеватыми лёссовидными суглинками от средних до тяжёлых, подстилаемыми с глубины 2,2-3,0 м горизонтом погребенной почвы, состоящим из переслаивающихся тугопластичных тяжелых суглинков и глин и являющимся водоупорным слоем мощностью до 2,5 м ($saQ_{III}+saQ_{I-II}kd$). Факторы активизации – метеорологический (количество летних осадков -121 % нормы), гидрогеологический (слабо фильтрующие и низко дренирующие грунты краснодубровской свиты, подстилаемые с глубины 2,2-3,0 м горизонтом погребенной почвы, являющимся водоупором), техногенный (полив приусадебных участков, сброс бытовых вод, утечки	–	–

1	2	3	4	5	6	7	8	9	10	11	12	13	14
											из водопроводной сети, наличие в каждом дворе негерметичных выгребных ям, отсутствие вертикальной планировки села, а также недостаточное количество систем дренажа и ливневой канализации). С 2016 г. осушение ведётся с помощью дренажной системы, по огородам и улицам Мира, Ленина, Солнечная проложены 4 параллельных дрены на глубине 5-5,5 м. Отведение дренажных вод самотёком производится в оз. Цыганское по полиэтиленовым трубопроводам с 0,36-1,6 $м^3$/час.		
54-13-00010	Сибирский	Новосибирская область	Коченёвский район, пгт. Коченёво	55,02067	82,20585	21.03.2026	Не завершилась	Пт	Атм., гидрогеол., техн.	Отмечались	В пгт. Коченёво Коченёвского района (пункт наблюдений Коченёвский) с 21.03.2026 г. отмечалась активизация подтопления. К сентябрю снижение уровенной поверхности грунтовых вод достигло величины 2,23 м. Процесс сезонного подтопления остался в западной (ул. Фабричная, Трудовая, Аргунова, Толстого) и восточной (воинская часть, нефтебаза) частях посёлка площадью 1,971 $км^2$, где уровни залегали на глубине 1,5-2 м. Литологический состав представлен илистыми суглинками и глинами с невыдержанными прослоями супесей и тонко-мелкозернистых глинистых песков общей мощностью 15-35 м (saQ_{III}+ $saQ_{I-II}kd$). Факторы активизации – метеорологический (количество летних осадков - 61 % нормы), гидрогеологический (слабо фильтрующие и низко дренирующие грунты краснодубровской свиты, способные ухудшать свои фильтрационные свойства под воздействием строительства и эксплуатации зданий и сооружений), техногенный (насыпи существующих автодорог и под Транс-Сибирскую железнодорожную магистраль, проложенные поперёк естественного уклона к р. Камышинка, препятствуют поверхностному стоку талых и дождевых вод, засыпка естественных водоёмов, служивших местом сбора поверхностных вод с окружающей территории, отсутствие вертикальной планировки при строительстве посёлка, а также отсутствие систем дренажа и ливневой канализации).	–	–
54-13-00001	Сибирский	Новосибирская область	Барабинский район, г. Барабинск	55,34908	78,34944	21.03.2026	Не завершилась	Пт	Атм., гидрогеол., техн.	Отмечались	В г. Барабинске Барабинского района (пункт наблюдений Барабинский) активизация подтопления зафиксирована с 21.03.2026 г. На территории площадью 12,4 $км^2$ в сентябре уровни залегали на глубине 1-2 м. Литологический состав представлен в кровле средними, реже лёгкими суглинками мощностью от 4,3 до 10 м при средней 6,4 м (saQ_{III}), ниже илистыми средними суглинками мощностью от 2,1 до 6,8 м при средней 3,7 м ($Q_{I-II}fd$), с глубины 7,6-13,8 м (средняя 10,1 м) плотные глины убинской свиты ($Q_{EI}ub$). Факторы активизации – метеорологический (количество летних осадков - 87 % нормы), гидрогеологический (наличие слабо фильтрующих и низко дренирующих грунтов федосовской свиты, способных ухудшать свои	–	–

1	2	3	4	5	6	7	8	9	10	11	12	13	14
											фильтрационные свойства под воздействием строительства и эксплуатации зданий и сооружений, близкое залегание глинистого водоупора убинской свиты), техногенный (насыпи автодорог, засыпка естественных водоёмов, служивших местом сбора поверхностных вод с окружающей территории, отсутствие вертикальной планировки, неудовлетворительное состояние систем дренажа и ливневой канализации, дренаж выполнен без выдержанных уклонов в сторону водосборника, подвалы, построенные поперёк потока грунтовых вод играют роль водопроводной плотины).		
54-13-00005	Сибирский	Новосибирская область	г. Бердск	54,75183	83,07065	21.03.2026	Не завершилась	Пт	Атм., гидрогеол., техн.	Отмечались	В г. Бердске (пункт наблюдений Бердский) активизация подтопления зафиксирована с 21.03.2026 г. В сентябре на территории площадью 0,233 км^2 уровни залегали на глубине 1-2 м. Наиболее напряжённая обстановка сохраняется на пониженных участках ул. Октябрьская, Гагарина, Искитимская, Толбухина. Литологический состав до глубины 2-5 м представлен лессовидными супесями с линзами и прослоями суглинков (saQ_{III}), ниже лессовидными слабопроницаемыми суглинками и супесями ($saQ_{I-II}kd$) мощностью до 20 - 25 м, в толще которых прослеживаются почвенные горизонты мощностью до 0,5-1,5 м, обладающие повышенной водопрочностью. Осушение ведётся с помощью дренажной системы, сооружены 7 колодцев, из которых пробурено по 5-10 горизонтальных скважин длиной по 80 м, расположенных веером. Откачка воды ведётся из колодцев с дебитами от 3 до 8 м^3/час. Факторы активизации – метеорологический (количество летних осадков -121 % нормы, в том числе в июле 164 %), гидрогеологический (наличие водоупорных погребённых почв в толще краснодубровской свиты), техногенный (утечки из водонесущих коммуникаций, засыпка оврагов при строительстве, планировке и асфальтировании).	–	–
54-13-00006	Сибирский	Новосибирская область	Мошковский район, пгт. Мошково	55,30784	83,61242	26.03.2026	Не завершилась	Пт	Атм., гидрогеол., техн.	Отмечались	В пгт. Мошково Мошковского района (пункт наблюдений Мошковский) активизация подтопления отмечается с 26.03.2026 г. После весеннего подъёма (28 апреля) наблюдалось монотонное снижение уровней до сентября в среднем на 0,65 м. При этом уровни оставались выше предвесенних минимумов в среднем на 0,61 м и залегали на преобладающей глубине 0,5-1,8 м. Площадь подтопления составила 1,41 км^2 и наиболее подтоплена в районе ул. Народная, Пионерская, Комсомольская. Литологический состав представлен лёгкими и средними лёссовидными суглинками с прослоями и линзами супесей и тонкозернистых песков суммарной мощностью 38-49 м (saQ_{III}+$saQ_{I-II}kd$), маломощные горизонты погребённых почв (до 0,5-1,0 м), сложенные тяжёлыми суглинками и глинами разделяют эту толщу на 6 ритмопачек и служат локальными водоупорами. Факторы активизации –	–	–

1	2	3	4	5	6	7	8	9	10	11	12	13	14
											метеорологический (количество летних осадков -76 % нормы), гидрогеологический (наличие погребённых почв в толще краснодубровской свиты, служащих локальными водоупорами, низкие фильтрационные свойства суглинков), техногенный (полив огородов, планировочные работы при строительстве, утечки из водонесущих коммуникаций, засыпка оврагов).		
54-10-00025	Сибирский	Новосибирская область	Новосибирский район, 0,1 км СВ с. Боровое	54,70207	82,66054	00.04.2026	Не завершилась	Об	Атм., гидрол.	Отмечались	В 0,1 км северо-восточнее с. Боровое Новосибирского района на уступе вдоль Новосибирского водохранилища высотой 3-6 м на протяжении 280 м отмечалась активизация обвального процесса, выражавшаяся в отслоениях в виде глыб столбчатой структуры, многочисленных обнажение корней, козырьках ПРС, скоплении почво-грунта у подножья уступа. Параметры проявления опасного ЭГП: длина 280 м, ширина 0,7 м, площадь 196 м². Ориентировочная величина обвального процесса колеблется от 0,5 до 2 м/год, средняя 0,7 м/год. Уровень активности низкий. В разрезе уступа наблюдаются сухие лёссовидными супеси и суглинки третьей надпойменной террасы р. Оби (a^3Q_{III}). Факторы активизации – метеорологический (количество осадков в зимний период 169 % нормы, летних -77 % нормы), гидрологический. Разрушены земли лесного фонда площадью 0,000196 км². Защитные мероприятия не проводятся.		Плановое обследование
54-10-00001	Сибирский	Новосибирская область	Новосибирский район, 0,65 км СВ с. Боровое	54,72496	82,67989	00.04.2026	Не завершилась	Об	Атм., гидрол.	Отмечались	В 0,65 км северо-восточнее с. Боровое Новосибирского района на уступе вдоль Новосибирского водохранилища высотой 3-13 м на протяжении 5600 м отмечалась активизация обвального процесса, выражавшаяся в отслоениях в виде глыб столбчатой структуры, многочисленных обнажение корней, козырьках ПРС, скоплении почво-грунта у подножья уступа. Параметры проявления опасного ЭГП: длина 5600 м, ширина 1,3 м, площадь 7280 м². Ориентировочная величина обвального процесса колеблется от 0,3 до 4 м/год, средняя 1,3 м/год. Уровень активности средний. В разрезе уступа наблюдаются сухие лёссовидными супеси и суглинки третьей надпойменной террасы р. Оби (a^3Q_{III}). Факторы активизации – метеорологический (количество осадков в зимний период 169 % нормы, летних -77 % нормы), гидрологический. Разрушены земли сельскохозяйственного назначения площадью 0,00625 км² и лесного фонда площадью 0,000332 км². Защитные мероприятия не проводятся.		Плановое обследование

1	2	3	4	5	6	7	8	9	10	11	12	13	14
54-22-00072	Сибирский	Новосибирская область	Новосибирский район, 1,7 км СВ с. Боровое	54,71461	82,66771	00.04.2026	Не завершилась	Эо	Атм., гидрол.	Не отмечались	В 1,7 км северо-восточнее с. Боровое Новосибирского района развивается овраг № 21. Параметры проявления опасного ЭГП: длина 4,7 м, ширина у устья 7 м, в середине 3,6 м, у вершины 2,6 м, площадь 17 м², глубина 3-6 м. Профиль сечения – V-образный. Учитывая, что при обследовании 2016 г. оврага еще не было, то ежегодный прирост условно составляет в среднем 0,5 м/год. Уровень активности низкий. Геологический разрез представлен сухими лёссовидными супесями и суглинками третьей надпойменной террасы р. Оби (a^3Q_{III}). Факторы активизации – метеорологический (количество осадков в зимний период 169 % нормы, летних -77 % нормы), гидрологический. Защитные мероприятия не проводятся.		Плановое обследование
54-22-00001	Сибирский	Новосибирская область	Новосибирский район, 1,75 км СВ с. Боровое	54,71528	82,66792	00.04.2026	Не завершилась	Эо	Атм., гидрол.	Отмечались	В 1,75 км северо-восточнее с. Боровое Новосибирского района развивается овраг № 1. Прирост вершинной части оврага по сравнению с 2016 г. составил 29 м или в среднем 2,9 м/год. Параметры проявления опасного ЭГП: длина 40 м, ширина у устья 9 м, в середине 13 м, у вершины 2,5 м, площадь 403 м², глубина 2,5-5 м. Профиль сечения V-образный. Уровень активности средний. Геологический разрез представлен сухими лёссовидными супесями и суглинками третьей надпойменной террасы р. Оби (a^3Q_{III}). Факторы активизации – метеорологический (количество осадков в зимний период 169 % нормы, летних -77 % нормы), гидрологический. Разрушены земли сельскохозяйственного назначения площадью 0,0000292 км^2. Защитные мероприятия не проводятся.		Плановое обследование
54-22-00002	Сибирский	Новосибирская область	Новосибирский район, 1,8 км СВ с. Боровое	54,71572	82,66833	00.04.2026	Не завершилась	Эо	Атм., гидрол.	Отмечались	В 1,8 км северо-восточнее с. Боровое Новосибирского района развивается овраг № 2. Прирост вершинной части оврага по сравнению с 2016 г. составил 12 м или в среднем 1,2 м/год. Параметры проявления опасного ЭГП: длина 4 м, ширина у устья 7,5 м, в середине 6,2 м, у вершины 1,5 м, площадь 25 м², глубина 1,5-3 м. Профиль сечения ящикообразный. Уровень активности средний. Геологический разрез представлен сухими лёссовидными супесями и суглинками третьей надпойменной террасы р. Оби (a^3Q_{III}). Факторы активизации – метеорологический (количество осадков в зимний период 169 % нормы, летних -77 % нормы), гидрологический. Разрушены земли сельскохозяйственного назначения площадью 0,0000075 км^2. Защитные мероприятия не проводятся.		Плановое обследование
54-22-00003	Сибирский	Новосибирская область	Новосибирский район, 1,86 км СВ с. Боровое	54,71586	82,66853	00.04.2026	Не завершилась	Эо	Атм., гидрол.	Отмечались	В 1,86 км северо-восточнее с. Боровое Новосибирского района развивается овраг № 3. Прирост вершинной части оврага по сравнению с 2016 г. составил 8 м или в среднем 0,8 м/год. Параметры проявления опасного ЭГП: длина 5,5 м, ширина у устья 11,6 м, в середине 6,9 м, у вершины		Плановое обследование

1	2	3	4	5	6	7	8	9	10	11	12	13	14
											2,7 м, площадь 38 м², глубина 2,5-3 м. Профиль сечения ящикообразный. Уровень активности низкий. Геологический разрез представлен сухими лёссовидными супесями и суглинками третьей надпойменной террасы р. Оби (a^3Q_{III}). Факторы активизации – метеорологический (количество осадков в зимний период 169 % нормы, летних -77 % нормы), гидрологический. Разрушены земли сельскохозяйственного назначения площадью 0,0000055 км^2. Защитные мероприятия не проводятся.		
54-22-00005	Сибирский	Новосибирская область	Новосибирский район, 2 км СВ с. Боровое	54,71708	82,66948	00.04.2026	Не завершилась	Эо	Атм., гидрол.	Отмечались	В 2 км северо-восточнее с. Боровое Новосибирского района развивается овраг № 5. Прирост вершинной части оврага по сравнению с 2016 г. составил 4 м или в среднем 0,4 м/год. Параметры проявления опасного ЭГП: длина 12 м, ширина у устья 16,5 м, в середине 8,7 м, у вершины 2,5 м, площадь 38 м², глубина 1-4 м. Профиль сечения V-образный. Уровень активности низкий. Геологический разрез представлен сухими лёссовидными супесями и суглинками третьей надпойменной террасы р. Оби (a^3Q_{III}). Факторы активизации – метеорологический (количество осадков в зимний период 169 % нормы, летних -77 % нормы), гидрологический. Разрушены земли сельскохозяйственного назначения площадью 0,0000035 км^2. Защитные мероприятия не проводятся.		Плановое обследование
54-22-00006	Сибирский	Новосибирская область	Новосибирский район, 2,2 км СВ с. Боровое	54,71833	82,67066	00.04.2026	Не завершилась	Эо	Атм., гидрол.	Отмечались	В 2,2 км северо-восточнее с. Боровое Новосибирского района развивается овраг № 6. Прирост вершинной части оврага по сравнению с 2016 г. составил 7 м или в среднем 0,7 м/год. Овраг с левым отвершком первого порядка шириной 4 м. Параметры проявления опасного ЭГП: длина 32,5 м, ширина у устья 34 м, в середине 15 м, у вершины 4 м, площадь 600 м², глубина 3-9 м. Профиль сечения ящикообразный. Уровень активности низкий. Геологический разрез представлен сухими лёссовидными супесями и суглинками третьей надпойменной террасы р. Оби (a^3Q_{III}). Факторы активизации – метеорологический (количество осадков в зимний период 169 % нормы, летних -77 % нормы), гидрологический. Разрушены земли сельскохозяйственного назначения площадью 0,0000129 км^2. Защитные мероприятия не проводятся, вершина левого отвершка выположена трактором.		Плановое обследование
54-22-00073	Сибирский	Новосибирская область	Новосибирский район, 2,3 км СВ с. Боровое	54,71900	82,67136	00.04.2026	Не завершилась	Эо	Атм., гидрол.	Отмечались	В 2,3 км северо-восточнее с. Боровое Новосибирского района развивается овраг № 22. Параметры проявления опасного ЭГП: длина 7 м, ширина у устья 7 м, в середине 6 м, у вершины 1,5 м, площадь 42 м², глубина 0,5-3,5 м. Профиль сечения V-образный. Учитывая, что при обследовании 2016 г. оврага еще не было, то ежегодный прирост условно составляет в среднем 0,7 м/год. Уровень активности низкий. Геологический разрез		Плановое обследование

1	2	3	4	5	6	7	8	9	10	11	12	13	14
											представлен сухими лёссовидными супесями и суглинками третьей надпойменной террасы р. Оби (a^3Q_{III}). Факторы активизации – метеорологический (количество осадков в зимний период 169 % нормы, летних -77 % нормы), гидрологический. Разрушены земли сельскохозяйственного назначения площадью 0,0000042 км^2. Защитные мероприятия не проводятся.		
54-22-00007	Сибирский	Новосибирская область	Новосибирский район, 2,5 км СВ с. Боровое	54,72075	82,67297	00.04.2026	Не завершилась	Эо	Атм., гидрол.	Отмечались	В 2,5 км северо-восточнее с. Боровое Новосибирского района развивается овраг № 7. Прирост вершинной части оврага по сравнению с 2016 г. составил 6,5 м или в среднем 0,65 м/год. Параметры проявления опасного ЭГП: длина 42 м, ширина у устья 17 м, в середине 15 м, у вершины 1,5 м, площадь 549 м², глубина 0,7-9 м. Профиль сечения V-образный. Уровень активности низкий. Геологический разрез представлен сухими лёссовидными супесями и суглинками третьей надпойменной террасы р. Оби (a^3Q_{III}). Факторы активизации – метеорологический (количество осадков в зимний период 169 % нормы, летних -77 % нормы), гидрологический. Разрушены земли сельскохозяйственного назначения площадью 0,0000085 км^2. Защитные мероприятия не проводятся.		Плановое обследование
54-22-00008	Сибирский	Новосибирская область	Новосибирский район, 3,1 км СВ с. Боровое	54,72498	82,67989	00.04.2026	Не завершилась	Эо	Атм., гидрол.	Отмечались	В 3,1 км северо-восточнее с. Боровое Новосибирского района развивается овраг № 8. Прирост вершинной части оврага по сравнению с 2016 г. составил 28 м или в среднем 2,8 м/год. Параметры проявления опасного ЭГП: длина 32 м, ширина у устья 14 м, в середине 8 м, у вершины 4,7 м, площадь 278 м², глубина 4,6-6 м. Профиль сечения ящикообразный. Уровень активности средний. Геологический разрез представлен сухими лёссовидными супесями и суглинками третьей надпойменной террасы р. Оби (a^3Q_{III}). Факторы активизации – метеорологический (количество осадков в зимний период 169 % нормы, летних -77 % нормы), гидрологический. Разрушены земли сельскохозяйственного назначения площадью 0,0000243 км^2. Защитные мероприятия не проводятся.		Плановое обследование
54-22-00009	Сибирский	Новосибирская область	Новосибирский район, 3,6 км СВ с. Боровое	54,72800	82,68640	00.04.2026	Не завершилась	Эо	Атм., гидрол.	Отмечались	В 3,6 км северо-восточнее с. Боровое Новосибирского района развивается овраг № 9. Прирост вершинной части оврага по сравнению с 2016 г. составил 3 м или в среднем 0,3 м/год. Параметры проявления опасного ЭГП: длина 18 м, ширина у устья 29 м, в середине 14 м, у вершины 2,5 м, площадь 255 м², глубина 0,5-2,5 м. Профиль сечения ящикообразный. Уровень активности низкий. Геологический разрез представлен сухими лёссовидными супесями и суглинками третьей надпойменной террасы р. Оби (a_3Q_{III}). Факторы активизации – метеорологический (количество осадков в зимний период 169 % нормы, летних -77 %		Плановое обследование

1	2	3	4	5	6	7	8	9	10	11	12	13	14
											нормы), гидрологический. Разрушены земли сельскохозяйственного назначения площадью 0,0000043 км^2. Защитные мероприятия не проводятся.		
54-22-00074	Сибирский	Новосибирская область	Новосибирский район, 3,8 км СВ с. Боровое	54,72883	82,68844	00.04.2026	Не завершилась	Эо	Атм., гидрол.	Отмечались	В 3,8 км северо-восточнее с. Боровое Новосибирского района развивается овраг № 23. Параметры проявления опасного ЭГП: длина 7 м, ширина у устья 13 м, в середине 8 м, у вершины 1,5 м, площадь 55 м², глубина 0,5-2,5 м. Профиль сечения ящикообразный. Учитывая, что при обследовании 2016 г. оврага еще не было, то ежегодный прирост условно составляет в среднем 0,7 м/год. Уровень активности низкий. Геологический разрез представлен сухими лёссовидными супесями и суглинками третьей надпойменной террасы р. Оби (a^3Q_{III}). Факторы активизации – метеорологический (количество осадков в зимний период 169 % нормы, летних -77 % нормы), гидрологический. Разрушены земли сельскохозяйственного назначения площадью 0,0000055 км^2. Защитные мероприятия не проводятся.		Плановое обследование
54-22-00075	Сибирский	Новосибирская область	Новосибирский район, 3,82 км СВ с. Боровое	54,72894	82,68858	00.04.2026	Не завершилась	Эо	Атм., гидрол.	Отмечались	В 3,82 км северо-восточнее с. Боровое Новосибирского района развивается овраг № 24. Параметры проявления опасного ЭГП: длина 5 м, ширина у устья 4,7 м, в середине 3 м, у вершины 0,7 м, площадь 14 м², глубина 0,5-2 м. Профиль сечения ящикообразный. Учитывая, что при обследовании 2016 г. оврага еще не было, то ежегодный прирост условно составляет в среднем 0,5 м/год. Уровень активности низкий. Геологический разрез представлен сухими лёссовидными супесями и суглинками третьей надпойменной террасы р. Оби (a^3Q_{III}). Факторы активизации – метеорологический (количество осадков в зимний период 169 % нормы, летних -77 % нормы), гидрологический. Разрушены земли сельскохозяйственного назначения площадью 0,0000014 км^2. Защитные мероприятия не проводятся.		Плановое обследование
54-22-00076	Сибирский	Новосибирская область	Новосибирский район, 4,12 км СВ с. Боровое	54,73144	82,69050	00.04.2026	Не завершилась	Эо	Атм., гидрол.	Отмечались	В 4,12 км северо-восточнее с. Боровое Новосибирского района развивается овраг № 25. Параметры проявления опасного ЭГП: длина 15 м, ширина у устья 7,5 м, в середине 5 м, у вершины 2 м, площадь 81 м², глубина 1,5-4 м. Профиль сечения V–образный. Учитывая, что при обследовании 2016 г. оврага еще не было, то ежегодный прирост условно составляет в среднем 1,5 м/год. Уровень активности средний. Геологический разрез представлен сухими лёссовидными супесями и суглинками третьей надпойменной террасы р. Оби (a^3Q_{III}). Факторы активизации – метеорологический (количество осадков в зимний период 169 % нормы, летних -77 % нормы), гидрологический. Разрушены земли сельскохозяйственного назначения площадью 0,0000081 км^2. Защитные мероприятия не проводятся.		Плановое обследование

1	2	3	4	5	6	7	8	9	10	11	12	13	14
54-22-00077	Сибирский	Новосибирская область	Новосибирский район, 4,15 км СВ с. Боровое	54,73167	82,69086	00.04.2026	Не завершилась	Эо	Атм., гидрол.	Отмечались	В 4,15 км северо-восточнее с. Боровое Новосибирского района развивается овраг № 26. Параметры проявления опасного ЭГП: длина 3 м, ширина у устья 6 м, в середине 5 м, у вершины 2 м, площадь 14 м², глубина 1,5-2,5 м. Профиль сечения ящикообразный. Учитывая, что при обследовании 2016 г. оврага еще не было, то ежегодный прирост условно составляет в среднем 0,3 м/год. Уровень активности низкий. Геологический разрез представлен сухими лёссовидными супесями и суглинками третьей надпойменной террасы р. Оби (a^3Q_{III}). Факторы активизации – метеорологический (количество осадков в зимний период 169 % нормы, летних -77 % нормы), гидрологический. Разрушены земли сельскохозяйственного назначения площадью 0,0000014 км^2. Защитные мероприятия не проводятся.		Плановое обследование
54-22-00078	Сибирский	Новосибирская область	Новосибирский район, 4,37 км СВ с. Боровое	54,73339	82,69247	00.04.2026	Не завершилась	Эо	Атм., гидрол.	Отмечались	В 4,37 км северо-восточнее с. Боровое Новосибирского района развивается овраг № 27. Параметры проявления опасного ЭГП: длина 5 м, ширина у устья 11 м, в середине 7 м, у вершины 1,5 м, площадь 35,5 м², глубина 1-3 м. Профиль сечения ящикообразный. Учитывая, что при обследовании 2016 г. оврага еще не было, то ежегодный прирост условно составляет в среднем 0,5 м/год. Уровень активности низкий. Геологический разрез представлен сухими лёссовидными супесями и суглинками третьей надпойменной террасы р. Оби (a^3Q_{III}). Факторы активизации – метеорологический (количество осадков в зимний период 169 % нормы, летних -77 % нормы), гидрологический. Разрушены земли сельскохозяйственного назначения площадью 0,0000036 км^2. Защитные мероприятия не проводятся.		Плановое обследование
54-22-00079	Сибирский	Новосибирская область	Новосибирский район, 4,43 км СВ с. Боровое	54,73383	82,69281	00.04.2026	Не завершилась	Эо	Атм., гидрол.	Отмечались	В 4,43 км северо-восточнее с. Боровое Новосибирского района развивается овраг № 28. Параметры проявления опасного ЭГП: длина 4,5 м, ширина у устья 6 м, в середине 4,2 м, у вершины 2,3 м, площадь 19 м², глубина 1-3 м. Профиль сечения ящикообразный. Учитывая, что при обследовании 2016 г. оврага еще не было, то ежегодный прирост условно составляет в среднем 0,45 м/год. Уровень активности низкий. Геологический разрез представлен сухими лёссовидными супесями и суглинками третьей надпойменной террасы р. Оби (a^3Q_{III}). Факторы активизации – метеорологический (количество осадков в зимний период 169 % нормы, летних -77 % нормы), гидрологический. Разрушены земли сельскохозяйственного назначения площадью 0,0000019 км^2. Защитные мероприятия не проводятся.		Плановое обследование

1	2	3	4	5	6	7	8	9	10	11	12	13	14
54-22-00080	Сибирский	Новосибирская область	Новосибирский район, 4,63 км СВ с. Боровое	54,73533	82,69444	00.04.2026	Не завершилась	Эо	Атм., гидрол.	Отмечались	В 4,63 км северо-восточнее с. Боровое Новосибирского района развивается овраг № 29. Параметры проявления опасного ЭГП: длина 4 м, ширина у устья 10,5 м, в середине 7 м, у вершины 3 м, площадь 27 м², глубина 1-2 м. Профиль сечения ящикообразный. Учитывая, что при обследовании 2016 г. оврага еще не было, то ежегодный прирост условно составляет в среднем 0,4 м/год. Уровень активности низкий. Геологический разрез представлен сухими лёссовидными супесями и суглинками третьей надпойменной террасы р. Оби (a^3Q_{III}). Факторы активизации – метеорологический (количество осадков в зимний период 169 % нормы, летних -77 % нормы), гидрологический. Разрушены земли сельскохозяйственного назначения площадью 0,0000027 км^2. Защитные мероприятия не проводятся.		Плановое обследование
54-22-00025	Сибирский	Новосибирская область	Новосибирский район, 5,2 км СВ с. Боровое	54,73967	82,69900	00.04.2026	Не завершилась	Эо	Атм., гидрол.	Отмечались	В 5,2 км северо-восточнее с. Боровое Новосибирского района развивается овраг № 30. Параметры проявления опасного ЭГП: длина 10 м, ширина у устья 10,5 м, в середине 14 м, у вершины 2,8 м, площадь 123 м², глубина 5-7 м. Профиль сечения ящикообразный. Учитывая, что при обследовании 2016 г. оврага еще не было, то ежегодный прирост условно составляет в среднем 1,0 м/год. Уровень активности низкий. Геологический разрез представлен сухими лёссовидными супесями и суглинками третьей надпойменной террасы р. Оби (a^3Q_{III}). Факторы активизации – метеорологический (количество осадков в зимний период 169 % нормы, летних -77 % нормы), гидрологический. Разрушены земли сельскохозяйственного назначения площадью 0,0000123 км^2. Защитные мероприятия не проводятся.		Плановое обследование
54-17-00001	Сибирский	Новосибирская область	г. Новосибирск, ул. Горская, 10	54,99640	82,90535	12.07.2026	17.07.2026	Су	Техн.	Отмечались	В Ленинском районе г. Новосибирска по улице Горская, 10 12.07.2026 г. в результате порывом канализационного коллектора диаметром 1,8 м на глубине 15,0 м отмечалась активизация суффозионного процесса, выражавшаяся в провале грунта. Параметры проявления опасного ЭГП: длина 33 м, ширина 22 м, глубина 15 м, площадь 726 м², объём 10890 м^3. Литологический состав представлен переслаиванием супесей, суглинков и песков ($saQ_{I-II}kd$). Факторы активизации – техногенный (износ оборудования). Повреждена водопроводная труба длиной 15 м. На 17.07.2026 г. произведено укрепление стенок провала железобетонными сваями, ведётся засыпка пространства между стенкой обвала и сваями грунтом.	–	Оперативное обследование

1	2	3	4	5	6	7	8	9	10	11	12	13	14
55-22-00001	Сибирский	Омская область	муниципальный округ Кормиловский район, в 0,2 км СЗ д. Игнатьево	55,05695	74,19497	00.04.2026	00.09.2026	Эо	Атм.	Не отмечались	В 0,2 км СЗ д. Игнатьево муниципального округа Кормиловский район (пункт наблюдений Нижнеомский) с апреля 2026 г. отмечена активизация овражной эрозии на овраге № 2-1 в виде роста вершины оврага, осыпания грунта в бортах оврага. Овраг имеет один правый отвершек длиной 51,2 м, шириной 6,4 м. Морфометрические показатели оврага: длина – 188,0 м, ширина – 11,9 м, площадь – 2761,8 м^2, глубина до 10 м. В 2026 г. прирост в среднем составил 0,4 м. Базис развития: русло р. Омь. Овраг развивается в высоком и крутом борту 2-ой надпойменной террасы р. Омь, сложенным переслаиванием супесей и глин. Фактор активизации – метеорологический (количество атмосферных осадков, интенсивное весеннее снеготаяние).		–
55-22-00006	Сибирский	Омская область	муниципальный округ Кормиловский район, в 1,6 км СЗ пгт. Кормиловка	55,03706	74,06827	00.04.2026	00.09.2026	Эо	Атм.	Отмечались	В 1,6 км СЗ пгт. Кормиловка муниципального округа Кормиловский район (пункт наблюдений Нижнеомский) с апреля 2026 г. отмечена активизация овражной эрозии на овраге № 2-9 в виде роста вершины отвершка оврага. Овраг извилистой формы, имеет один правый и два левых отвершка. Морфометрические показатели оврага: длина – 326,9 м, ширина – 24,3 м, площадь – 9863,1 м^2, глубина до 2 м. В 2026 г. прирост в среднем составил 0,25 м. Базис развития: русло р. Омь. Овраг развивается в высоком и крутом борту 2-ой надпойменной террасы р. Омь, сложенным переслаиванием суглинков и глин. Фактор активизации – метеорологический (количество атмосферных осадков, интенсивное весеннее снеготаяние). Разрушены земли сельскохозяйственного назначения площадью 0,000014 км^2.		–
55-22-00007	Сибирский	Омская область	муниципальный округ Нижнеомский район, в 1,5 км СЗ с. Соловецкое	55,32444	74,97280	00.04.2026	00.09.2026	Эо	Атм.	Отмечались	В 1,5 км СЗ с. Соловецкое муниципального округа Нижнеомский район (пункт наблюдений Нижнеомский) с апреля 2026 г. отмечена активизация овражной эрозии на овраге № 2-16 в виде роста вершины оврага, осыпания грунта в левом борту оврага. Овраг разветвленный. Основное левое русло имеет два отвершка (правый и левый) длиной 13,7 м, 8,3 м, шириной 5,8 м, 5,1 м, 2-е русло (правое) имеет один отвершек (левый) длиной 11,6 м, шириной 4,2 м. Морфометрические показатели оврага: длина – 69,3 м, ширина – 11,8 м, площадь – 1400,9 м^2, глубина до 12 м. В 2026 г. прирост в вершине оврага составил 0,5 м, в среднем – 0,1 м. Базис развития: русло р. Омь. Овраг развивается в высоком и крутом борту 2-ой надпойменной террасы р. Омь, сложенным переслаиванием суглинков и глин. Фактор активизации – метеорологический (количество атмосферных осадков, интенсивное весеннее снеготаяние). Разрушены земли сельскохозяйственного назначения площадью 0,000006 км^2.	–	–
22 - 8	Сибирский	Омская	муниципальный	55,19449	75,06169	00.04.2026	00.09.2026	Эо	Атм.	Отмечались	В 3 км В д. Старый Ревель муниципального округа	–	–

1	2	3	4	5	6	7	8	9	10	11	12	13	14
		область	округ Калачинский район, в 3 км В д. Старый Ревель								Калачинский район (пункт наблюдений Нижнеомский) с апреля 2026 г. отмечена активизация овражной эрозии на овраге № 2-17 в виде роста вершин оврага и отвершков. Морфометрические показатели оврага: длина – 322,3 м, ширина – 22,7 м, площадь – 9238,33 м^2, глубина до 6 м. Овраг имеет крупные отвершки, из них 1 левый и 3 правых. В 2026 г. прирост в вершине оврага составил 1,3 м, в среднем – 0,68 м. Базис развития: русло р. Омь. Овраг развивается в высоком и крутом борту 2-ой надпойменной террасы р. Омь, сложенным переслаиванием суглинков и глин. Фактор активизации – метеорологический (количество атмосферных осадков, интенсивное весеннее снеготаяние). Разрушены земли сельскохозяйственного назначения площадью 0,000055 км^2.		
55-22-00010	Сибирский	Омская область	муниципальный округ Калачинский район, в 1 км З с. Глуховка	55,08339	74,68663	00.04.2026	00.09.2026	Эо	Атм.	Отмечались	В 1 км З с. Глуховка муниципального округа Калачинский район (пункт наблюдений Нижнеомский) с апреля 2026 г. отмечена активизация овражной эрозии на овраге № 2-19 в виде роста вершин оврага и отвершков. Морфометрические показатели оврага: длина – 454,1 м, ширина – 19,5 м, площадь – 19352,2 м^2, глубина до 6 м. Овраг разветвленный, выделяется 3 вершины со множеством отвершков. В 2026 г. прирост в вершине оврага составил 10,3 м, в среднем – 2,48 м. Базис развития: русло р. Омь. Овраг развивается в высоком и крутом борту 2-ой надпойменной террасы р. Омь, сложенным суглинками. Фактор активизации – метеорологический (количество атмосферных осадков, интенсивное весеннее снеготаяние). Разрушены земли сельскохозяйственного назначения площадью 0,000212 км^2.		–
55-22-00011	Сибирский	Омская область	муниципальный округ Кормиловский район, в 0,8 км СЗ пгт. Кормиловка	55,02192	74,07530	00.04.2026	00.09.2026	Эо	Атм.	Отмечались	В 0,8 км СЗ пгт. Кормиловка муниципального округа Кормиловский район (пункт наблюдений Нижнеомский) с апреля 2026 г. отмечена активизация овражной эрозии на овраге № 2-20 в виде роста вершин оврага и отвершка, осыпания грунта в борту оврага. Овраг сложной формы с отвершками. Морфометрические показатели оврага: длина – 1404,7 м, ширина – 26,4 м, площадь – 38436,3 м^2, глубина до 8 м. В 2026 г. прирост в вершине оврага составил 0,1 м, в среднем – 0,53 м. Базис развития: русло р. Омь. Овраг развивается в высоком и крутом борту 2-ой надпойменной террасы р. Омь, сложенным суглинками. Фактор активизации – метеорологический (количество атмосферных осадков, интенсивное весеннее снеготаяние). Разрушены земли сельскохозяйственного назначения площадью 0,000017 км^2.		–

1	2	3	4	5	6	7	8	9	10	11	12	13	14
55-22-00013	Сибирский	Омская область	Омский муниципальный район, в 0,35 км ЮЗ д. Прудки (Урманское лесничество)	55,02639	73,78988	00.04.2026	00.09.2026	Эо	Атм.	Отмечались	В 0,35 км ЮЗ д. Прудки Омского муниципального района (пункт наблюдений Нижнеомский) с апреля 2026 г. отмечена активизация овражной эрозии на овраге № 2-23 в виде роста вершин оврага и отвершка, осыпания грунта в бортах оврага. Овраг донный, местами отмечается выход грунтовых вод. Морфометрические показатели оврага: длина – 496,4 м, ширина – 11,7 м, площадь – 6243,8 м^2, глубина до 7 м. В 2026 г. прирост в вершине оврага составил 0,5 м, в среднем – 1,1 м. Базис развития: русло р. Омь. Овраг развивается в высоком и крутом борту 2-ой надпойменной террасы р. Омь, сложенным супесями. Фактор активизации – метеорологический (количество атмосферных осадков, интенсивное весеннее снеготаяние). Разрушены земли сельскохозяйственного назначения площадью 0,000021 км^2.		–
55-22-00014	Сибирский	Омская область	муниципальный округ Кормиловский район, в 1 км ЮЗ д. Сыропятская	55,03081	73,83922	00.04.2026	00.09.2026	Эо	Атм.	Отмечались	В 1 км ЮЗ д. Сыропятская муниципального округа Кормиловский район (пункт наблюдений Нижнеомский) с апреля 2026 г. отмечена активизация овражной эрозии на овраге № 2-24 в виде роста вершины оврага. Морфометрические показатели оврага: длина – 612,0 м, ширина – 32,3 м, площадь – 19767,5 м^2, глубина до 4 м. В 2026 г. прирост оврага составил 5,8 м. Базис развития: русло р. Омь. Овраг развивается в высоком и крутом борту 2-ой надпойменной террасы р. Омь, сложенным суглинками. Фактор активизации – метеорологический (количество атмосферных осадков, интенсивное весеннее снеготаяние). Разрушены земли сельскохозяйственного назначения площадью 0,000187 км^2.		–
55-22-00023	Сибирский	Омская область	Черлакский муниципальный район, в 2,7 км ЮВ д. Бердниково	54,39929	74,47694	00.04.2026	00.09.2026	Эо	Атм.	Отмечались	В 2,7 км ЮВ д. Бердниково Черлакского муниципального района (пункт наблюдений Черлакский) с апреля 2026 г. отмечена активизация овражной эрозии на овраге № 1-7 в виде роста вершины оврага. Борта оврага обрывистые. Морфометрические показатели оврага: длина – 331,6 м, ширина – 18,8 м, площадь – 6234,1 м^2, глубина до 4 м. В 2026 г. прирост оврага составил 2,4 м. Базис развития: русло р. Иртыш. Овраг развивается в высоком и крутом борту 2-ой надпойменной террасы р. Иртыш, сложенным переслаиванием суглинков и глин. Фактор активизации – метеорологический (количество атмосферных осадков, интенсивное весеннее снеготаяние). Разрушены земли сельскохозяйственного назначения площадью 0,000045 км^2.		–
55-22-00025	Сибирский	Омская область	Черлакский муниципальный район, в 0,4 км ЮВ с. Татарка	53,94844	75,07518	00.04.2026	00.09.2026	Эо	Атм.	Не отмечались	В 0,4 км ЮВ с. Татарка Черлакского муниципального района (пункт наблюдений Черлакский) с апреля 2026 г. отмечена активизация овражной эрозии на овраге № 1-11 в виде роста вершин оврага и отвершка, осыпания грунта в бортах оврага. Овраг сложной формы, с 4-мя вершинами и множеством отвершков. Морфометрические		–

1	2	3	4	5	6	7	8	9	10	11	12	13	14
											показатели оврага: длина – 217,4 м, ширина – 30,9 м, площадь – 37945 м^2, глубина до 3 м. В 2026 г. прирост в вершине оврага составил 0,1 м, в среднем – 0,13 м. Базис развития: русло р. Иртыш. Овраг развивается в высоком и крутом борту 2-ой надпойменной террасы р. Иртыш, сложенным переслаиванием супесей и песков. Фактор активизации – метеорологический (количество атмосферных осадков, интенсивное весеннее снеготаяние).		
55-22-00029	Сибирский	Омская область	Омский муниципальный район, в 4 км В д. Покрово-Иртышское	54,56079	74,22971	00.04.2026	00.09.2026	Эо	Атм.	Не отмечались	В 4 км В д. Покрово-Иртышское Омского муниципального района (пункт наблюдений Черлакский) с апреля 2026 г. отмечена активизация овражной эрозии на овраге № 1-20 в виде роста вершины оврага, осыпания грунта в левом борту оврага. Морфометрические показатели оврага: длина – 28,5 м, ширина – 8,2 м, площадь – 233,6 м^2, глубина до 5 м. В 2026 г. прирост оврага составил 0,2 м. Базис развития: русло р. Иртыш. Овраг развивается в высоком и крутом борту 2-ой надпойменной террасы р. Иртыш, сложенным переслаиванием супесей и суглинков. Фактор активизации – метеорологический (количество атмосферных осадков, интенсивное весеннее снеготаяние).		–
55-22-00032	Сибирский	Омская область	Черлакский муниципальный район, в 1 км СЗ с. Елизаветинка	54,27421	74,65426	00.04.2026	00.09.2026	Эо	Атм.	Не отмечались	В 1 км СЗ с. Елизаветинка Черлакского муниципального района (пункт наблюдений Черлакский) с апреля 2026 г. отмечена активизация овражной эрозии на овраге № 1-24 в виде роста вершины отвершка, осыпания грунта в бортах оврага (период весеннего снеготаяния). Овраг сложной формы. Морфометрические показатели оврага: длина – 144,7 м, ширина – 20,4 м, площадь – 3416,16 м^2, глубина до 5,5 м. В 2026 г. прирост по оврагу в среднем составил 0,2 м. Базис развития: русло р. Иртыш. Овраг развивается в высоком и крутом борту 2-ой надпойменной террасы р. Иртыш, сложенным переслаиванием супесей и суглинков. Фактор активизации – метеорологический (количество атмосферных осадков, интенсивное весеннее снеготаяние).		–
55-22-00033	Сибирский	Омская область	Черлакский муниципальный район, в 1 км СЗ с. Елизаветинка	54,27170	74,65851	00.04.2026	00.09.2026	Эо	Атм.	Не отмечались	В 1 км СЗ с. Елизаветинка Черлакского муниципального района (пункт наблюдений Черлакский) с апреля 2026 г. отмечена активизация овражной эрозии на овраге № 1-25 в виде роста вершины оврага. Овраг сложной формы, разветвленный, имеет 4 русла длиной от 71,3 м до 155,4 м. Морфометрические показатели оврага: длина – 155,4 м, ширина – 17,2 м, площадь – 6875,4 м^2, глубина до 7 м. В 2026 г. прирост оврага в среднем составил 0,05 м. Базис развития: русло р. Иртыш. Овраг развивается в высоком и крутом борту 2-ой надпойменной террасы р. Иртыш, сложенным переслаиванием супесей и суглинков. Фактор активизации – метеорологический (количество атмосферных осадков, интенсивное весеннее		

1	2	3	4	5	6	7	8	9	10	11	12	13	14
											снеготаяние).		
55-22-00035	Сибирский	Омская область	Черлакский муниципальный район, в 1,8 км ЮВ пгт. Черлак	54,12969	74,82134	00.04.2026	00.09.2026	Эо	Атм.	Отмечались	В 1,8 км ЮВ пгт. Черлак Черлакского муниципального района (пункт наблюдений Черлакский) с апреля 2026 г. отмечена активизация овражной эрозии на овраге № 1-27 в виде роста вершины оврага и отвершков. Овраг извилистой формы, выделяются две вершины. Морфометрические показатели оврага: длина – 138 м, ширина – 14,8 м, площадь – 3425,2 м^2, глубина до 2 м. В 2026 г. прирост в вершине оврага составил 1,5 м, в среднем – 0,74 м. Базис развития: русло р. Иртыш. Овраг развивается в высоком и крутом борту 2-ой надпойменной террасы р. Иртыш, сложенным переслаиванием суглинков и глин. Фактор активизации – метеорологический (количество атмосферных осадков, интенсивное весеннее снеготаяние). Разрушены земли сельскохозяйственного назначения площадью 0,000038 км^2.		–
55-22-00048	Сибирский	Омская область	Русско-Полянский муниципальный район, в 10 км СВ с. Калинино	53,70196	73,42667	00.04.2026	00.09.2026	Эо	Атм.	Не отмечались	В 10 км СВ с. Калинино Русско-Полянского муниципального района (пункт наблюдений Калининский) с апреля 2026 г. отмечена активизация овражной эрозии на овраге № 5-1 в виде роста вершины оврага. Овраг линейной извилистой формы. Морфометрические показатели оврага: длина – 48,9 м, ширина – 8,5 м, площадь – 415,7 м^2, глубина до 2 м. В 2026 г. прирост оврага составил 0,2 м. Базис развития: р. Тлеусай. Овраг развивается на склонах крутизной 30-70 град прилегающих к логу Тлеусай, сложенных суглинками и глинами. Фактор активизации – метеорологический (количество атмосферных осадков, интенсивное весеннее снеготаяние).		–
55-22-00050	Сибирский	Омская область	Русско-Полянский муниципальный район, в 10,3 км СВ с. Калинино	53,70145	73,40007	00.04.2026	00.09.2026	Эо	Атм.	Отмечались	В 10,3 км СВ с. Калинино Русско-Полянского муниципального района (пункт наблюдений Калининский) с апреля 2026 г. отмечена активизация овражной эрозии на овраге № 5-4 в виде роста вершин оврага и отвершка, обрушений грунта в бортах оврага. Овраг линейной извилистой формы. Морфометрические показатели оврага: длина – 474,9 м, ширина – 17,0 м, площадь – 8123,2 м^2, глубина до 3 м. В 2026 г. прирост в вершине оврага составил 2,4 м, в среднем – 1,45 м. Базис развития: р. Тлеусай. Овраг развивается на склонах крутизной 30-70 град. прилегающих к логу Тлеусай, сложенных суглинками и глинами. Фактор активизации – метеорологический (количество атмосферных осадков, интенсивное весеннее снеготаяние). Разрушены земли сельскохозяйственного назначения площадью 0,000043 км^2.	–	–

1	2	3	4	5	6	7	8	9	10	11	12	13	14
55-22-00051	Сибирский	Омская область	Русско-Полянский муниципальный район, в 10,6 км СВ с. Калинино	53,71461	73,37691	00.04.2026	00.09.2026	Эо	Атм.	Отмечались	В 10,6 км СВ с. Калинино Русско-Полянского муниципального района (пункт наблюдений Калининский) с апреля 2026 г. отмечена активизация овражной эрозии на овраге № 5-5 в виде роста вершины оврага. Вытянутый овраг извилистой формы. Морфометрические показатели оврага: длина – 516,1 м, ширина – 17,6 м, площадь – 9083,4 м^2, глубина до 5 м. В 2026 г. прирост оврага составил 2,4 м. Базис развития: р. Тлеусай. Овраг развивается на склонах крутизной 30-70 град. прилегающих к логу Тлеусай, сложенных суглинками и глинами. Фактор активизации – метеорологический (количество атмосферных осадков, интенсивное весеннее снеготаяние). Разрушены земли сельскохозяйственного назначения площадью 0,000042 км^2.		–
55-22-00052	Сибирский	Омская область	муниципальный округ Москаленский район, в 3,9 км З аула Кзыл-Агаш	54,72376	71,79033	00.04.2026	00.09.2026	Эо	Атм.	Не отмечались	В 3,9 км З аула Кзыл-Агаш муниципального округа Москаленский район (пункт наблюдений оз. Эбейты) с апреля 2026 г. отмечена активизация овражной эрозии на овраге № 8-1 в виде роста вершины оврага. Овраг линейной формы. В средней части оврага под дорогой проложена водопропускная труба по руслу оврага. Морфометрические показатели оврага: длина – 1501,4 м, ширина – 3,9 м, площадь – 5855,5 м^2, глубина до 2 м. В 2026 г. прирост оврага составил 3,2 м. Базис развития: оз. Эбейты. Овраг развивается на пологонаклонной слаборасчлененной озерной равнине оз. Эбейты, сложенной супесями и суглинками. Фактор активизации – метеорологический (количество атмосферных осадков, интенсивное весеннее снеготаяние).		–
55-22-00048	Сибирский	Омская область	Русско-Полянский муниципальный район, в 10 км СВ с. Калинино	53,70196	73,42667	00.04.2026	00.09.2026	Эо	Атм.	Не отмечались	В 10 км СВ с. Калинино Русско-Полянского муниципального района (пункт наблюдений Калининский) с апреля 2026 г. отмечена активизация овражной эрозии на овраге № 5-1 в виде роста вершины оврага. Овраг линейной извилистой формы. Морфометрические показатели оврага: длина – 48,9 м, ширина – 8,5 м, площадь – 415,7 м^2, глубина до 2 м. В 2026 г. прирост оврага составил 0,2 м. Базис развития: р. Тлеусай. Овраг развивается на склонах крутизной 30-70 град прилегающих к логу Тлеусай, сложенных суглинками и глинами. Фактор активизации – метеорологический (количество атмосферных осадков, интенсивное весеннее снеготаяние).		–
55-22-00054	Сибирский	Омская область	муниципальный округ Москаленский район, муниципальный округ Исилькульский район, в 2,3 км ЮЗ аула Тумба	54,71475	71,70805	00.04.2026	00.09.2026	Эо	Атм.	Не отмечались	В 2,3 км ЮЗ аула Тумба муниципального округа Москаленский район, муниципального округа Исилькульский район (пункт наблюдений оз. Эбейты) с апреля 2026 г. отмечена активизация овражной эрозии на овраге № 8-3 в виде роста вершины оврага. Овраг линейной формы. Морфометрические показатели оврага: длина – 388,1 м, ширина – 6,1 м, площадь – 2367,5 м^2, глубина до 1,5 м. В 2026 г. прирост оврага составил 2,9 м. Базис развития: оз. Эбейты. Овраг развивается на		–

1	2	3	4	5	6	7	8	9	10	11	12	13	14
											пологонаклонной слаборасчлененной озерной равнине оз. Эбейты, сложенной супесями, суглинками и глинами. Фактор активизации – метеорологический (количество атмосферных осадков, интенсивное весеннее снеготаяние).		
70-11-00026	Сибирский	Томская область	г. Томск, мкр. Солнечный	56,50694	85,03619	00.04.2026	Не завершилась	Оп	Атм.	Не отмечались	В г. Томске, в мкр. Солнечный (пункт наблюдений мкр. Солнечный) с апреля 2026 г. наблюдается активизация оползневого процесса. Базис развития – пойма р. Ларинка. Морфологические показатели оползня №1: длина 80 м, ширина 35 м, площадь 0,0028 км^2, мощность 8 м. Палеоген-четвертичные отложения представлены переслаиванием песчано-глинистых пород. Возраст проявления – четвертичный, активизация в бесснежный период (апрель-октябрь). Активность процесса низкая. Тело оползня имеет структурное ступенчатое строение. В июле зафиксированы смещения по реперам от 3 до 27 мм, в среднем 11,0 мм, в сентябре смещения по реперам – от 4 до 21 мм, в среднем 10,8 мм. В целом за 2026 г. смещения по оползню составили от 2 до 86 мм. Фактор активизации: метеорологический (количество атмосферных осадков). Негативное воздействие отсутствует.	–	–
70-11-00041	Сибирский	Томская область	г. Томск, мкр. Солнечный	56,50721	85,03789	00.04.2026	Не завершилась	Оп	Атм.	Не отмечались	В г. Томске, в мкр. Солнечный (пункт наблюдений мкр. Солнечный) с апреля 2026 г. отмечалась активизация оползневого процесса. Базис развития – пойма р. Ларинка. Оползень выдавливания 32 образовался в сентябре 2025 г. Морфологические показатели: длина 35,1 м, ширина 39,1 м, площадь 1108,2 м^2, мощность 7 м. Палеоген-четвертичные отложения представлены переслаиванием песчано-глинистых пород. Возраст проявления – четвертичный, активизация в бесснежный период (апрель-октябрь). Активность процесса средняя, поверхность оползневого тела разбита трещинами, формирующие блоки отпора. В июле отмечено появление свежих трещин закола до 5-7 см шириной раскрытия. В сентябре ширина увеличилась до 15 см, склон выположен, подножие склона расчищено. Фактор активизации: метеорологический (количество атмосферных осадков). Негативное воздействие отсутствует.		–
70-13-00001	Сибирский	Томская область	Колпашевский район, с. Озёрное	58,22618	82,89451	00.04.2026	00.07.2026	Пт	Атм., гидрол.	Отмечались	В с. Озерное Колпашевского района, (пункт наблюдений Озерное) с апреля 2026 г. отмечалась активизация процесса подтопления. Процесс в стадии развития. Отложения поймы р. Обь, представленные переслаиванием песков, супесей и суглинков. Возраст проявления – четвертичный. Активность процесса низкая. Уровень грунтовых вод в колодцах у жилых домов составляет около 0,95 м, в мае фиксировался подъем уровней воды до значений 0,2-0,4 м от уровня фундамента домов. На локальных участках отмечена стоячая вода. Подтопление развивается на площади 0,257 км^2. Факторы активизации: метеорологический (количество	–	–

1	2	3	4	5	6	7	8	9	10	11	12	13	14
											атмосферных осадков), гидрологический. Подтоплены земельные участки и хозяйственные постройки по ул. Совхозная, Трактовая, Луговая, Рабочая.		
70-10-00003	Сибирский	Томская область	Кривошеинский район, с. Кривошеино	57,32745	83,94034	00.04.2026	Не завершилась	Об	Атм., гидрол.	Не отмечались	В с. Кривошеино Кривошеинского района (пункт наблюдений Кривошеино) с апреля 2026 г. отмечалась активизация обвального процесса. Процесс в стадии развития. Базис развития – бечевник р. Обь. Морфологические показатели: длина уступа 0,6 км, высота уступа 28-34 м. Отложения 3 надпойменной террасы р. Обь, представленные переслаиванием супесей и суглинков. Возраст проявления – четвертичный, активизация в бесснежный период (апрель-октябрь). Активность процесса средняя. Обрушения имеют локальный характер, поверхность склона частично заросла травой. В районе ул. Южная обрушения представлены в виде осыпных конусов шириной до 1,0 м. В районе ул. Колхозная следы обрушений в виде блоков отпора протяжённостью около 0,8-1,0 м. Локально на уступе – козырьки ПРС с глубиной вреза до 0,5 м. Скорость разрушения за год составила от 0,0 до 2,57 м при среднем значении 0,33 м. Факторы активизации: метеорологический (количество атмосферных осадков), гидрологический. Негативное воздействие отсутствует.		–
70-10-00014	Сибирский	Томская область	ЗАТО Северск, п. Орловка	56,81709	84,63159	00.04.2026	Не завершилась	Об	Атм., гидрол.	Не отмечались	В п. Орловка ЗАТО Северск (пункт наблюдений Орловка) с апреля 2026 г. отмечалась активизация обвального процесса. Процесс в стадии развития. Базис развития – бечевник р. Томь. Морфологические показатели: длина уступа 1 км, высота 8-12 м. Отложения 2-ой надпойменной террасы р. Томь представлены переслаиванием супесей и суглинков. Возраст проявления – четвертичный, активизация в бесснежный период (апрель-октябрь). Активность процесса средняя. В районе ул. Чехова обрушения представлены в виде блоков отрыва размерами 1,0х1,0 м и козырьками ПРС с глубиной вреза 0,2-0,4 м. Уступ крутой, обнаженный. В районе ул. Кирова – локальные обрушения в виде блоков оседания протяженностью 5,0-6,0 м. Скорость разрушения уступа от 0,0 до 1,65 м, в среднем - 0,51 м. Факторы активизации: метеорологический (количество атмосферных осадков), гидрологический. Негативное воздействие отсутствует.	–	–
70-10-00001	Сибирский	Томская область	Колпашевский район, г. Колпашево	58,31401	82,93355	00.05.2026	Не завершилась	Об	Атм., гидрол.	Не отмечались	В г. Колпашево Колпашевского района (пункт наблюдений Колпашево) с мая 2026 г. отмечалась активизация обвального процесса. Процесс в стадии развития. Базис развития – бечевник р. Оби. Морфологические показатели: длина уступа 3,5 км, высота 14-18 м. Отложения 3 надпойменной террасы р. Оби, представлены переслаиванием супесей и суглинков. Возраст проявления – четвертичный,		–

1	2	3	4	5	6	7	8	9	10	11	12	13	14
											активизация в бесснежный период (май-октябрь). Активность процесса высокая. Склон крутой, обнаженный. На протяжении всего склона наблюдаются следы свежих обрушений в виде блоков отрыва протяжённостью до 2,5 м, блоков оседания протяженностью до 6,0 м, поваленных деревьев. На уступе встречаются козырьки ПРС с максимальной глубиной вреза до 2,5 м. Локально на склоне отмечаются осыпные конусы шириной от 2,0 до 4,0 м. Наибольшие обрушения уступа отмечаются от ул. Матьянговская до ул. Ватутина - от 7,7 до 9,1 м, в районе пер. Пристанской – до 11,5 м. Скорость разрушения уступа составила от 0,1 до 11,52 м, в среднем – 2,81 м. Факторы активизации: метеорологический (количество атмосферных осадков), гидрологический. Негативное воздействие отсутствует.		
70-13-00004	Сибирский	Томская область	Кожевниковский район, с. Кожевниково	56,25808	83,94489	00.05.2026	Не завершилась	Пт	Атм.	Отмечались	В с. Кожевниково Кожевниковского района с мая 2026 г. отмечалась активизация процесса подтопления. Процесс в стадии развития. Отложения 2 надпойменной террасы р. Обь представлены суглинками, песками, глинами, гравием с галькой. Возраст проявления – четвертичный. Активность процесса средняя. Уровень грунтовых вод в колодцах у жилых домов составляет около 0,9-1,0 м от дневной поверхности. В конце мая, по словам местных жителей, фиксировался подъем уровней воды до 0,1-0,2 м от уровня пола в домах. На момент обследования уровень грунтовых вод составил в среднем 0,7 м от дневной поверхности. На локальных участках отмечена стоячая вода в дренажных канавах. Подтопление развивается на площади 0,0865 км^2. Факторы активизации: метеорологический (количество атмосферных осадков). Подтоплению подвержены земельные участки, погреба, хозяйственные постройки по ул. Мира, Октябрьская, пер. Спортивный.		Плановое обследование
70-11-00001	Сибирский	Томская область	г. Томск, Лагерный сад	56,45205	84,94466	00.09.2026	Не завершилась	Оп	Атм., гидрогеол.	Не отмечались	В г. Томске, в Лагерном саду (пункт наблюдений Лагерный сад) с сентября 2026 г. наблюдалась активизация оползневого процесса. Оползень-поток № 1 имеет длину 65 м, ширину 33 м, площадь 0,002145 км^2, мощность 5 м. Палеоген-четвертичные отложения представлены переслаиванием супесей и суглинков. Возраст проявления – четвертичный, активизация в бесснежный период (апрель-октябрь). Активность процесса низкая. Поверхность оползневого тела разбита трещинами растяжения и сброса, оползневое тело зарастает травой и древесной растительностью. Зафиксированы смещения в сентябре – от 20 до 90 мм, в целом за 2026 г. смещения по маркам составили от 0 до 120 мм. Факторы активизации: метеорологический (количество атмосферных осадков), гидрогеологический (разгрузка грунтовых вод по склону). Проведено уполаживание (террасирование		–

1	2	3	4	5	6	7	8	9	10	11	12	13	14
											склона), построены дренажные сооружения), включающие дренажную горную выработку (ДГВ), дренажные прорези, присклоновые дренажи), контрбанкет. Необходимо полное завершение строительства противооползневых сооружений, в соответствии с проектом.		
70-11-00014	Сибирский	Томская область	г. Томск, Лагерный сад	56,44513	84,96893	00.09.2026	Не завершилась	Оп	Атм., гидрогеол.	Не отмечались	В г. Томске, в Лагерном саду (пункт наблюдений Лагерный сад) с сентября 2026 г. наблюдалась активизация оползневого процесса. Оползень скольжения № 15а имеет длину 30 м, ширину 15 м, площадь 0,000450 км^2, мощность 2,5 м. Палеоген-четвертичные отложения представлены переслаиванием супесей и суглинков. Возраст проявления – четвертичный, активизация в бесснежный период (апрель-октябрь). Активность процесса низкая. Тело оползня разбито на 3 блока трещинами растяжения и сброса, имеющие замытый вид, оползневое тело зарастает травой и древесной растительностью. Зафиксированы смещения в сентябре – от 10 до 40 мм, в целом за 2026 г. смещения по маркам составили от 10 до 30 мм. Факторы активизации: метеорологический (количество атмосферных осадков), гидрогеологический (разгрузка грунтовых вод по склону). Проведено уполаживание (террасирование склона), построены дренажные сооружения), включающие дренажную горную выработку (ДГВ), дренажные прорези, присклоновые дренажи), контрбанкет. Необходимо полное завершение строительства противооползневых сооружений, в соответствии с проектом.		–
70-11-00017	Сибирский	Томская область	г. Томск, Лагерный сад	56,44513	84,96893	00.09.2026	Не завершилась	Оп	Атм., гидрогеол.	Не отмечались	В г. Томске, в Лагерном саду (пункт наблюдений Лагерный сад) с сентября 2026 г. наблюдалась активизация оползневого процесса. Оползень скольжения № 16 имеет длину 180 м, ширину 85 м, площадь 0,0153 км^2, мощность 16 м. Палеоген-четвертичные отложения представлены переслаиванием супесей и суглинков. Возраст проявления – четвертичный, активизация в бесснежный период (апрель-октябрь). Активность процесса низкая. Тело оползня разбито трещинами растяжения и сброса длиной до 15 м, имеет ступенчатое строение, активность проявляется в виде смещения блоков на склоне, оползневое тело зарастает травой и древесной растительностью. Зафиксированы смещения в сентябре – от 1 до 50 мм, в целом за 2026 г. смещения по маркам составили от 20 до 40 мм. Факторы активизации: метеорологический (количество атмосферных осадков), гидрогеологический (разгрузка грунтовых вод по склону). Проведено уполаживание (террасирование склона), построены дренажные сооружения), включающие дренажную горную выработку (ДГВ), дренажные прорези, присклоновые дренажи), контрбанкет. Необходимо полное	–	–

1	2	3	4	5	6	7	8	9	10	11	12	13	14
											завершение строительства противооползневых сооружений, в соответствии с проектом.		
70-11-00018	Сибирский	Томская область	г. Томск, Лагерный сад	56,44521	84,96794	00.09.2026	Не завершилась	Оп	Атм., гидрогеол.	Не отмечались	В г. Томске, в Лагерном саду (пункт наблюдений Лагерный сад) с сентября 2026 г. наблюдалась активизация оползневого процесса. Оползень скольжения № 16а имеет длину 60 м, ширину 35 м, площадь 0,0021 м^2, мощность 3 м. Палеоген-четвертичные отложения представлены переслаиванием супесей и суглинков. Возраст проявления – четвертичный, активизация в бесснежный период (апрель-октябрь). Активность процесса низкая. Тело оползня разбито трещинами растяжения и сброса, отмечается свежие оползания блоков с ПРС. Локально трещины заросли травой и имеют замытый вид. Свежие оползания отмечаются в районе языка, оползневое тело зарастает травой и древесной растительностью. Зафиксированные смещения в сентябре – от 0 до 100 мм, в целом за 2026 г. смещения составили от 10 до 60 мм. Факторы активизации: метеорологический (количество атмосферных осадков), гидрогеологический (разгрузка грунтовых вод по склону). Проведено уполаживание (террасирование склона), построены дренажные сооружения), включающие дренажную горную выработку (ДГВ), дренажные прорези, присклоновые дренажи), контрбанкет. Необходимо полное завершение строительства противооползневых сооружений, в соответствии с проектом.	–	–

ПРИЛОЖЕНИЕ 2

Фотоматериалы



Фото 04-11-00014. Надоползневый уступ по левому флангу с блоками оползания, в 9,2 км ЮЗ с. Бельтир, Кош-Агачский район, Республика Алтай, 27.09.2026



Оползень № 04-11-00016. Фронтальный уступ языка оползня со следами оползания, в 4,5 км севернее с. Ортолык, Кош-Агачский район, Республика Алтай, 28.09.2026



Фото 04-11-00020. Трещины сдвига с воздыманием по левому флангу, фиксирующие границы языка оползня, в 1,8 км С с. Чаган-Узун, Кош-Агачский район, Республика Алтай, 29.09.2026



Фото 04-11-00021. Аструктурный язык глетчерообразного оползня, в 2,15 км СЗ с. Чаган-Узун, Кош-Агачский район, Республика Алтай, 29.09.2026



Фото 04-11-00040. Боковой надоползневый уступ по левому флангу оползня , в 5,17 км С с. Ортолык Кош-Агачский район, Республика Алтай, 30.09.2026



Фото 04-11-00043. Оползень № 04-11-00043. Язык оползня, в 5,29 км С с. Ортолык, Кош-Агачский район, Республика Алтай, 30.09.2026



Фото 04-11-00047. Надоползневый уступ основной вершины оползня, высота первой ступени 5-8 м, в 1,86 км СВ с. Чаган-Узун, Кош-Агачский район, Республика Алтай, 29.09.2026



Фото 04-11-00048. Блоковый оползень развит по слоистости пород кош-агачской свиты, язык наползает на лиственницы, в 1,9 км С с. Чаган-Узун, Кош-Агачский район, Республика Алтай, 29.09.2026



Фото 04-11-00023. Незначительная активность в зоне надоползневого уступа в виде трещин растяжения глубиной до 0,5 м, в 3,55 км Ю с. Чаган-Узун, Кош-Агачский район, Республика Алтай, 29.09.2026



Фото 04-11-00024. Надоползневый уступ со свежими трещинами сдвига и растяжения, в 3,58 км Ю с. Чаган-Узун, Кош-Агачский район, Республика Алтай, 29.09.2026



Фото 04-11-00037. Замытые трещины сдвига и растяжения выше надоползневого уступа, в 3,18 км Ю с. Чаган-Узун, Кош-Агачский район, Республика Алтай, 29.09.2026



Фото 04-11-00044. Оползень № 04-11-00044. Язык оползня, в 4,02 км Ю с. Чаган-Узун, Кош-Агачский район, Республика Алтай, 30.09.2026

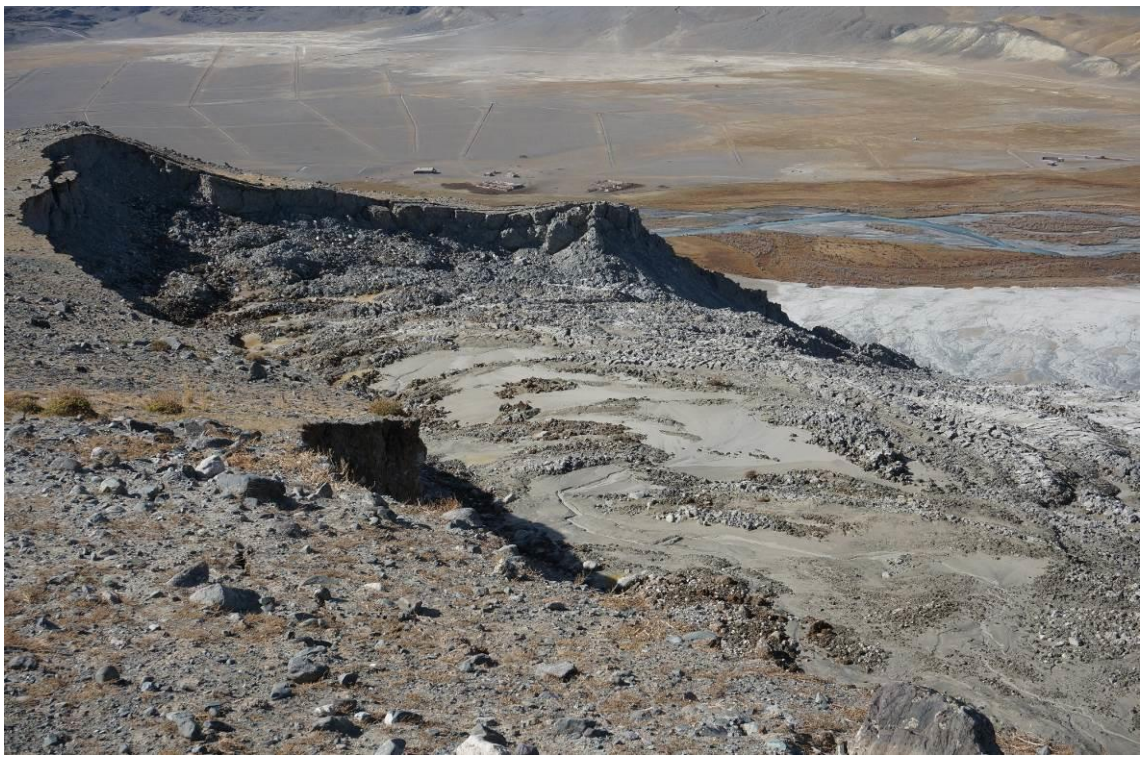


Фото 04-11-00067. Надоползневый уступ крупного оползня высотой от 5-7 м на левом фланге до 10-15 м на правом фланге, в 5,1 км ЮЗ с. Бельтир, Кош-Агачский район, Республика Алтай, 27.09.2026



Фото 04-11-00049. Оползень II порядка, зона транзита с валами выдавливания, зеркалами скольжения и блоками оползания, в 0,17 км СВ с. Чаган-Узун, Кош-Агачский район, Республика Алтай, 30.09.2026



Фото 04-11-00050. Блоки оползания и трещины растяжения в зоне надоползневого уступа, в 0,17 км СВ с. Чаган-Узун, Кош-Агачский район, Республика Алтай, 30.09.2026



Фото 04-11-00051. Трещины растяжения и сдвига на фронтальном уступе языка по правому флангу оползня, в 0,5 км СВ с. Чаган-Узун, Кош-Агачский район, Республика Алтай, 30.09.2026



Фото 04-11-00059. Левый борт, язык оползня в русле реки Кызыл-Чин, свежие обвалы глыб с фронтального уступа языка, в 10 км ЮЗ с. Чаган-Узун, Кош-Агачский район, Республика Алтай, 30.09.2026



Фото 04-22-00002. Развитие оврага на водовыпуске, уч. а/дороги Кош-Агач – Джазатор, 99,72 км, Кош-Агачский район, Республика Алтай, 28.09.2026



Фото 04-12-00017. Осыпание рыхлого материала в уступе склона, уч. а/дороги Кош-Агач – Джазатор, 101,2 км, Кош-Агачский район, Республика Алтай, 28.09.2026



Фото 04-22-00010. Вершина оврага в 3,8 м от дороги, уч. а/дороги Кош-Агач – Джазатор, 118,0 км, Кош-Агачский район, Республика Алтай, 128.09.2026



Фото 04-11-00064. Развитие трещин растяжения и сдвига с опусканием по бровке надополэневого уступа, уч. а/дороги Кош-Агач - Джазатор, 135,41 км, Кош-Агачский район, Республика Алтай, 28.09.2026



Фото 04-12-00018. Проявление осыпного процесса, уч. а/дороги Кош-Агач – Джазатор, 136,6-136,84 км, Кош-Агачский район, Республика Алтай, 28.09.2026



Фото 04-12-00016. Осыпные шлейфы в подножии уступа высокой террасы с блоками отпора ПРС, в 3 км СВ с. Курай, Кош-Агачский район, Республика Алтай, 01.10.2026



Фото 04-10-00015. Проявление обвального процесса на уч. а/дороги Р-256, 809,95-809,97 км. Щебнисто-глыбовый шлейф в подножии коренного выступа. Кош-Агачский район, Республика Алтай, 01.10.2026



Фото 04-12-00022. Проявление осыпного процесса на уч. а/дороги Р-256, 810,0-810,125 км. Щебнисто-глыбовый шлейф перекрывает кюветы. Кош-Агачский район, Республика Алтай, 01.10.2026



Фото 04-12-00023. Проявление осыпного процесса на уч. а/дороги Р-256, 810,515-810,665 км. Щебнисто-глыбовый шлейф с крупными глыбами в кюветах. Кош-Агачский район, Республика Алтай, 01.10.2026



Фото 04-12-00024. Проявление осыпного процесса на уч. а/дороги Р-256, 812,88-812,95 км. Щебнисто-глыбовый шлейф перекрывает кюветы. Кош-Агачский район, Республика Алтай, 01.10.2026

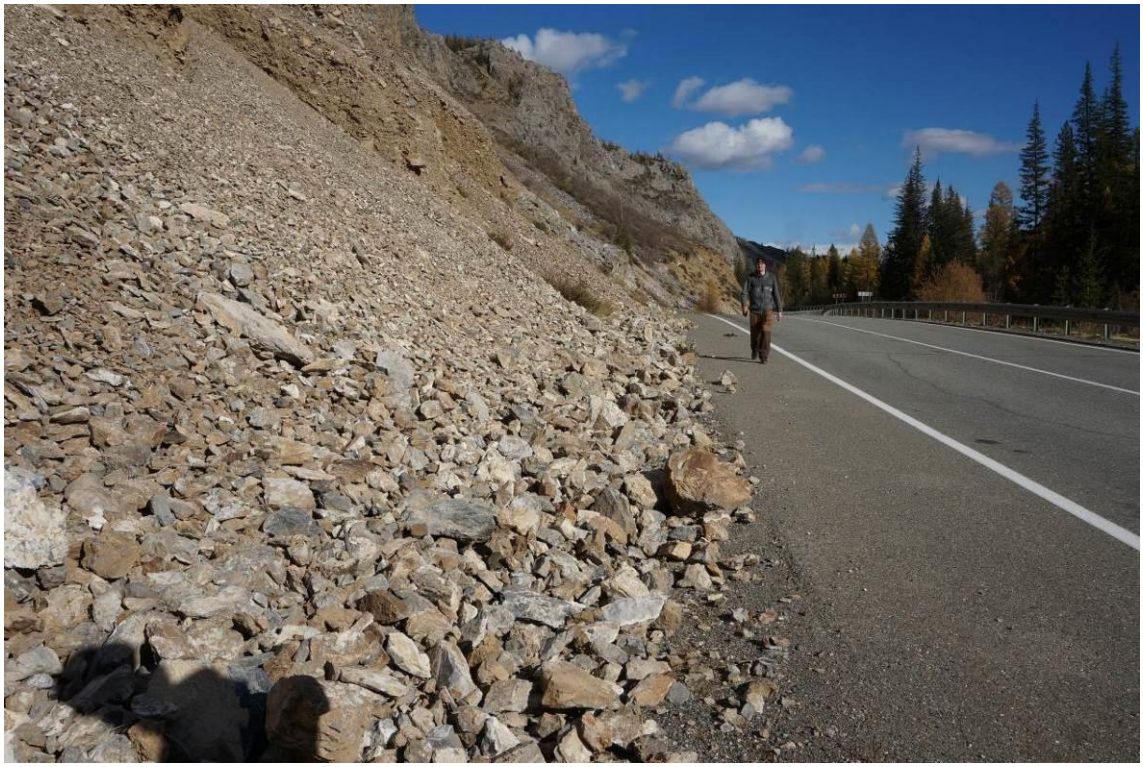


Фото 04-12-00025. Участок а/дороги Р-256, 813,06-813,405 км. Щебнисто-глыбовый осыпной шлейф перекрывает кюветы и обочину а/дороги. Кош-Агачский район, Республика Алтай, 01.10.2026



Фото 04-12-00026. Участок а/дороги Р-256, 813,68-813,735 км. Щебнисто-глыбовый осыпной шлейф с редкими крупными глыбами перекрывает кюветы и обочину а/дороги. Кош-Агачский район, Республика Алтай, 01.10.2026



Фото 04-12-00027. Участок а/дороги Р-256, 815,2-815,315 км. Щебнисто-мелкоглыбовый осыпной шлейф частично перекрывает кюветы и обочину а/дороги. Кош-Агачский район, Республика Алтай, 01.10.2026



Фото 04-12-00028. Участок а/дороги Р-256, 815,42-815,59 км. Щебнисто-мелкоглыбовый осыпной шлейф перекрывает кюветы и обочину а/дороги. Кош-Агачский район, Республика Алтай, 01.10.2026



Фото 04-11-00057. Деформации дорожного полотна в виде проседания оползня, уч. а/дороги в Алтайское подворье, 20,05 км, Онгудайский район, Республика Алтай, 17.08.2026



Фото 04-11-00058. Надоползневый уступ оползня, уч. а/дороги в Алтайское подворье, 19,5 км, Онгудайский район, Республика Алтай, 17.08.2026



Фото 04-11-00063. Надоползневый в вершине оползня, уч. а/дороги в Алтайское подворье, 19,5 км, Онгудайский район, Республика Алтай, 17.08.2026



Фото 04-10-00005. Пересыпание обочины и кювет а/дороги мелкими и средними глыбами с верховых откосов техногенной расчистки, уч. а/дороги Р-256, 764,5-764,875 км, Онгудайский район, Республика Алтай, 03.10.2026



Фото 04-10-00014. Пересыпание мелкими глыбами и щебнем кювет и обочины уч. а/дороги Р-256, 767,0-767,36 км, Онгудайский район, Республика Алтай, 03.10.2026



Фото 04-12-00019. Активное разрушение осыпного уступа высокой террасы, с. Кара-Кобы, Онгудайский район, Республика Алтай, 18.08.2026



Фото 04-22-00009. Овраг № 4, уч. а/дороги Туекта – Усть-Кан, 19,96 км, с. Кара-Кобы, Онгудайский район, Республика Алтай, 18.08.2026



Фото 04-12-00020. Разрушение отбойников и откосов а/дороги осыпным процессом на вираже серпантина на автодороге в с. Инегень, Онгудайский район, Республика Алтай, 26.09.2026



Фото 04-22-00011. Разрушение дорожного полотна, отбойников и откосов дороги в вершине оврага, автодорога в с. Инегень, Онгудайский район, Республика Алтай, 26.09.2026



Фото 04-12-00004. Осыпные шлейфы перекрывают кюветы и обочину на уч. а/дороги Акташ – Улаган, 12,5-13,3 км, Улаганский район, Республика Алтай, 03.10.2026



Фото 04-12-00005. Осыпной шлейф перекрывает кюветы а/дороги. Мелкое пересыпание обочин а/дороги, козырьки и блоки оползания ПРС, уч. а/дороги Акташ – Улаган, 11,8-12,3 км, Улаганский район, Республика Алтай, 03.10.2026



Фото 04-12-00006. Осыпной шлейф перекрывает кюветы, мелкое пересыпание на обочине а/дороги, уч. а/дороги Акташ – Улаган, 11,1-11,6 км, Улаганский район, Республика Алтай, 03.10.2026



Фото 04-12-00007. Блоки ПРС в кюветах а/дороги, пересыпание мелкими глыбами обочины а/дороги, уч. а/дороги Акташ – Улаган, 8,7-9,3 км, Улаганский район, Республика Алтай, 03.10.2026



Фото 04-11-00065. Фронтальное смещение глыбово-щебнистого материала, блоков ПРС с деревьями и кустарниками, уч. а/дороги Акташ - Улаган, 8,5-8,6 км, Улаганский район, Республика Алтай, 03.10.2026



Фото 04-12-00002. Пересыпание обочины а/дороги и автостоянки щебнем и мелкими глыбами, уч. а/дороги Акташ – Улаган, 8,0-8,15 км, Улаганский район, Республика Алтай, 03.10.2026



Фото 04-12-00008. Пересыпание кювет и обочины а/дороги щебнем и мелкими глыбами, уч. а/дороги Акташ – Улаган, 7,7-8,0 км, Улаганский район, Республика Алтай, 03.10.2026



Фото 04-12-00009. Глыбовые конуса выноса в кюветах на уч. а/дороги Акташ – Улаган, 6,9-7,4 км, Улаганский район, Республика Алтай, 03.10.2026



Фото 04-12-00010. Осыпные шлейфы перекрывают обочины на уч. а/дороги Акташ – Улаган, 6,1-6,8 км, Улаганский район, Республика Алтай, 03.10.2026



Фото 04-12-00011. Кюветы и обочина а/дороги частично перекрыты глыбово-щебнистым материалом осыпных конусов, уч. а/дороги Акташ – Улаган, 5,7-6,1 км, Улаганский район, Республика Алтай, 03.10.2026



Фото 04-12-00003. Подножие осыпи подрезано расчистками при строительстве а/дороги. Пересыпание кювет щебнисто-глыбовым материалом, уч. а/дороги Акташ – Улаган, 5,3-5,6 км, Улаганский район, Республика Алтай, 03.10.2026



Фото 04-12-00012. Подножие осыпи подрезано расчистками при строительстве а/дороги. Пересыпание кювет щебнисто-глыбовым материалом, уч. а/дороги Акташ – Улаган, 4,6-4,9 км, Улаганский район, Республика Алтай, 03.10.2026



Фото 04-10-00009. В вертикальных уступах террасы р. Катунь - козырьки ПРС, блоки отпора, с. Тюнгур, Усть-Коксинский район, Республика Алтай, 15.08.2026



Фото 04-22-00005. Овраг № 1 на въезде в с. Тюнгур, вершина достигает откосов дорожного полотна, с. Тюнгур, Усть-Коксинский район, Республика Алтай, 15.08.2026



Фото 04-22-00006. Вершина оврага № 2 в активной зоне отвершка в 1,8 м от а/дороги, с. Тюнгур, Усть-Коксинский район, Республика Алтай, 15.08.2026



Фото 04-12-00014. Пересыпание рыхлого материала в уступе высокой террасы, в зоне воздействия ограждения усадьбы по ул. Набережная, 127, с. Усть-Кокса, Усть-Коксинский район, Республика Алтай, 14.08.2026



Фото 04-10-00007. Свежие блоки обрушения в подошве уступа и козырьки ПРС в конце участка проявления, автодорога Усть-Кокса – Мараловодка, 21-22 км, Усть-Коксинский район, Республика Алтай, 13.08.2026



Фото 04-11-00069. Надоползневый уступ в вершине по правому флангу, с. Каспа, Шебалинский район, Республика Алтай, 03.10.2026



Фото 17-12-00012. Южный осыпной склон на уч. а/дороги Чадан – Суг-Аксы, 21 км, Сут-Хольский район, Республика Тыва, 30.08.2026



Фото 17-12-00013. Северный осыпной склон на уч. а/дороги Чадан – Суг-Аксы, 21 км, Сут-Хольский район, Республика Тыва, 30.08.2026



Фото 17-10-00001. Уступ в с. Сайлыг, Чеди-Хольский район, Республика Тыва, 27.08.2026



Фото 17-22-00024. Овраг № 4, с. Сайлыг, Чеди-Хольский район, Республика Тыва, 27.08.2026



Фото 17-22-00025. Овраг № 5, с. Сайлыг, Чеди-Хольский район, Республика Тыва, 27.08.2026



Фото 17-10-00002. Участок уступа с трещинами отседания и обрушения грунта, с. Хорум-Даг, Дзун-Хемчикский район, Республика Тыва, 30.08.2026



Фото 17-10-00003. Участок с обвальным процессом, с. Элегест, Чеди-Хольский район, Республика Тыва, 27.08.2026



Фото 17-22-00001. Свежие обрушения, обваливание грунта по левому борту оврага, уч. а/дороги Р-257 в районе с. Уюк, Пий-Хемский район, Республика Тыва, 24.08.2026



Фото 17-22-00008. Овраг №4, с. Сизим, Каа-Хемский район, Республика Тыва, 12.09.2026



Фото 17-22-00009. Овраг № 5, с. Сизим, Каа-Хемский район, Республика Тыва, 12.09.2026



Фото 17-22-00010. Отвершек оврага № 6, с. Сизим, Каа-Хемский район, Республика Тыва, 12.09.2026



Фото 17-22-00011 Вершина оврага № 7, с. Сизим, Каа-Хемский район, Республика Тыва, 12.09.2026



Фото 17-22-00012. Борт оврага № 1, уч. а/дороги Шагонар–Эйлиг-Хем, 10 км, Улуг-Хемский район, Республика Тыва, 17.08.2026



Фото 17-22-00013. Отвершек оврага № 2, уч. а/дороги Шагонар–Эйлиг-Хем, 10 км, Улуг-Хемский район, Республика Тыва, 26.08.2026



Фото 17-22-00018. Борт оврага № 1, уч. а/дороги Р-257 у г. Чадан, Дзун-Хемчикский район, Республика Тыва, 30.08.2026



Фото 19-13-00002. Подтопление погреба по ул. Чернышевского, г. Черногорск, Республика Хакасия, 31.07.2026



Фото 19-13-00014. Выход грунтовых вод на поверхность земли по ул. Советская, с. Боград, Боградский район, Республика Хакасия, 02.08.2026



Фото 19-13-00005. Регулярно подтапливаемое подполье по ул. Молодёжная, с. Новотроицкое, Бейский район, Республика Хакасия, 31.07.2026



Фото 19-11-00002. Общий вид оползня по левой стороне дороги на участке а/дороги Р-257, Братский мост, Алтайский район, Республика Хакасия, 22.08.2026



Фото 19-11-00003. Отступание стенки отрыва оползня № 1 на участке а/дороги Р-257, Братский мост, Алтайский район, Республика Хакасия, 22.08.2026



Фото 19-11-00004. Отступание стенки отрыва оползня № 2 на участке а/дороги Р-257, Братский мост, Алтайский район, Республика Хакасия, 22.08.2026



Фото 22-22-00051. Овражная эрозия на склоне надпойменной террасы долины р. Обь, овраг № 1, в окрестностях с. Новая Чемровка, муниципальный округ Зональный район, Алтайский край, 05.08.2026



Фото 22-22-00013. Овражная эрозия на склоне надпойменной террасы долины р. Обь, овраг № 2, в окрестностях с. Новая Чемровка, муниципальный округ Зональный район, Алтайский край, 05.08.2026



Фото 22-11-00056. Оползневой процесс на левом береговом склоне долины р. Обь, в окрестностях с. Бураново, Калманский район, Алтайский край, 31.08.2026



Фото 22-22-00052. Овражная эрозия на поверхности Приобского плато, овраг № 1, в окрестностях с. Бураново, Калманский район, Алтайский край, 31.08.2026



Фото 22-22-00053. Овражная эрозия на поверхности Приобского плато, овраг № 2, в окрестностях с. Бураново, Калманский район, Алтайский край, 31.08.2026



Фото 22-22-00054. Овражная эрозия на поверхности Приобского плато, овраг № 3, в окрестностях с. Бураново, Калманский район, Алтайский край, 31.08.2026



Фото 22-22-00055. Овражная эрозия на поверхности Приобского плато, овраг № 4, в окрестностях с. Бураново, Калманский район, Алтайский край, 31.08.2026



Фото 22-22-00056. Овражная эрозия на поверхности Приобского плато, овраг № 5, в окрестностях с. Бураново, Калманский район, Алтайский край, 31.08.2026



Фото 22-22-00057. Овражная эрозия на поверхности Приобского плато, овраг № 6, в окрестностях с. Бураново, Калманский район, Алтайский край, 31.08.2026



Фото 24-13-00001. Вода в подполье по ул. Утро Сентябрьское, ПН Минусинск, Минусинский округ, Красноярский край, 01.08.2026



Фото 24-13-00013. Подтопленное подполье, ул. Октябрьская, п. Интикуль, Балахтинско-Новоселовский округ, Красноярский край, 27.07.2026



Фото 24-11-00003. Западная часть левого борта оползня-потока, ПН Малосырский, Балахтинско-Новоселовский округ, Красноярский край, 23.08.2026



Фото 24-11-00004. Стенка отрыва в северной окраине участка блокового оползня, ПН Малосырский, Балахтинско-Новоселовский округ, Красноярский край, 23.08.2026



Фото 24-11-00007. Юго-восточная часть участка выше полотна ж/дороги, ПН Балайский Косогор, Манско-Уярский округ, Красноярский край, 06.07.2026



Фото 24-17-00008. Суффозионная воронка на северо-западной окраине участка над полотном ж/д, ПН Балайский Косогор, Манско-Уярский округ, Красноярский край, 06.07.2026



Фото 24-22-00027. Вершина оврага на северо-восточной окраине села, ПН Краснотуранск, Идринско-Краснотуранский округ, Красноярский край, 18.08.2026



Фото 24-22-00041. Участок с обрушениями по левому борту оврага, ПН уч. а/дороги Минусинск – Беллык, 93 км, Идринско-Краснотуранский округ, Красноярский край, 18.08.2026



Фото 24-22-00039. Вершина отвершка по левому борту «Основного» оврага, ПН уч. а/дороги Минусинск – Беллык, 98 км, Идринско-Краснотуранский округ, Красноярский край, 18.08.2026



Фото 24-22-00069. Вершина отвершка 1 оврага 3, ПН с/х угодья Краснотуранского района, Идринско-Краснотуранский округ, Красноярский край, 20.08.2026



Фото 24-22-00070. Вершина оврага 4, ПН с/х угодья Краснотуранского района, Идринско-Краснотуранский округ, Красноярский край, 20.08.2026



Фото 24-22-00053. Отвершек по левому борту оврага 3, ПН Спартак, Минусинский округ, Красноярский край, 21.08.2026



Фото 24-22-00056. Вершина (правая) оврага 6, ПН Спартак, Минусинский округ, Красноярский край, 21.08.2026



Фото 24-22-00021. Вершина отвершка 9, ПН Суходол, Минусинский округ, Красноярский край, 20.08.2026



Фото 24-22-00025. Вершина оврага «Восточный», ПН Пригородный, Минусинский округ, Красноярский край, 21.08.2026



Фото 24-22-00026. Вершина отвершка 4, ПН Новотроицкое, Минусинский округ, Красноярский край, 19.08.2026



Фото 24-17-00003. Русло второго суффозионного провала, ПН с/х угодья Минусинского района, Минусинский округ, Красноярский край, 19.08.2026



Фото 24-22-00088. Вершина отвершка 1 по правому борту оврага 1, ПН с/х угодья Минусинского района, Минусинский округ, Красноярский край, 19.08.2026



Фото 24-22-00089. Вершина оврага 2, ПН с/х угодья Минусинского района, Минусинский округ, Красноярский край, 19.08.2026



Фото 24-22-00090. Вершина оврага 3, ПН с/х угодья Минусинского района, Минусинский округ, Красноярский край, 19.08.2026



Фото 24-22-00031. Русло оврага 1, ПН уч. а/дороги Анцирь – Хаерино, Канский округ, Красноярский край, 10.07.2026



Фото 24-22-00032. Вершина оврага 2, ПН уч. а/дороги Анцирь – Хаерино, Канский округ, Красноярский край, 10.07.2026



Фото 24-22-00034. Вершина оврага 4, ПН уч. а/дороги Анцирь – Хаерино, Канский округ, Красноярский край, 10.07.2026



Фото 24-17-00005. Суффозионный провал 2, ПН уч. а/дороги Анцирь – Хаерино, Канский округ, Красноярский край, 10.07.2026



Фото 24-22-00029. Вершина оврага «Левый», ПН уч. а/дороги Р-257, 242 км, Балахтинско-Новоселовский округ, Красноярский край, 23.08.2026



Фото 24-22-00066. Вершина правого отвершка оврага 4, ПН п. Аешка, Балахтинско-Новоселовский округ, Красноярский край, 23.08.2026



Фото 24-22-00067. Вершина оврага 5, ПН п. Аешка, Балахтинско-Новоселовский округ, Красноярский край, 23.08.2026



Фото 24-22-00002. Вершина 2 оврага 2, ПН Приморск, Балахтинско-Новоселовский округ, Красноярский край, 17.08.2026



Фото 24-22-00012. Русло и правый борт оврага 8, ПН Куртак, Балахтинско-Новоселовский округ, Красноярский край, 17.08.2026



Фото 24-22-00015. Овраг 11, ПН Куртак, Балахтинско-Новоселовский округ, Красноярский край, 17.08.2026



Фото 24-22-00016. Обрушение левого борта оврага 12, ПН Куртак, Балахтинско-Новоселовский округ, Красноярский край, 17.08.2026



Фото 24-22-00017. Русло оврага 13, заваленное берёзами, ПН Куртак, Балахтинско-Новоселовский округ, Красноярский край, 17.08.2026



Фото 24-17-00002. Суффозионный провал 1, ПН Куртак, Балахтинско-Новоселовский округ, Красноярский край, 17.08.2026



Фото 24-17-00007. Суффозионный провал 2, ПН Куртак, Балахтинско-Новоселовский округ, Красноярский край, 17.08.2026



Фото 38-22-00005. Вершина оврага №1, ПН Бильчир-2, п. Бильчир, Осинский район, Иркутская область, 23.07.2026



Фото 38-22-00006. Русло оврага №2, ПН Бильчир-2, п. Бильчир, Осинский район, Иркутская область, 23.07.2026



Фото 38-22-00007. Вершина оврага №3, ПН Бильчир-2, п. Бильчир, Осинский район, Иркутская область, 23.07.2026



Фото 38-22-00009. Вершина оврага №5, ПН Бильчир-2, п. Бильчир, Осинский район, Иркутская область, 23.07.2026



Фото 38-22-00033. Овраг №2 на коренном склоне залива Оса вблизи п. Жданово, ПН Жданово, Осинский район, Иркутская область, 23.07.2026



Фото 38-22-00036. Овраг №5 на коренном склоне залива Оса вблизи п. Жданово, ПН Жданово, Осинский район, Иркутская область, 23.07.2026



Фото 38-22-00037. Овраг №7 вблизи п. Жданово, ПН Жданово, Осинский район, Иркутская область, 23.07.2026



Фото 38-22-00049. Овраг №8 на коренном склоне залива Оса вблизи п. Жданово, ПН Жданово, Осинский район, Иркутская область, 23.07.2026



Фото 38-22-00050. Отвершек оврага №9 вблизи п. Жданово, ПН Жданово, Осинский район, Иркутская область, 23.07.2026



Фото 38-22-00038. Отвершек оврага №10 вблизи п. Жданово, ПН Жданово, Осинский район, Иркутская область, 23.07.2026



Фото 38-22-00039. Овраг №12 на коренном склоне залива Оса вблизи п. Жданово, ПН Жданово, Осинский район, Иркутская область, 23.07.2026



Фото 38-22-00040. Овраг №12 на коренном склоне залива Оса вблизи п. Жданово, ПН Жданово, Осинский район, Иркутская область, 23.07.2026



Фото 38-22-00051. Овраг №13 на коренном склоне залива Оса вблизи п. Жданово, ПН Жданово, Осинский район, Иркутская область, 23.07.2026



Фото 38-10-00007. Обвальный склон вблизи п. Жданово, ПН Жданово, Осинский район, Иркутская область, 23.07.2026



Фото 38-22-00001. Основной овраг №1, ПН Быстринский, уч. а/дороги А-146 Иркутск – Монды, Слюдянский район, Иркутская область, 02.09.2026



Фото 38-22-22-00014. Верховье оврага № 1 ПН Закулей вблизи с. Закулей, Нукутский округ, Иркутская область, 21.07.2026



Фото 38-22-22-00016. Верховье оврага № 3 ПН Закулей вблизи с. Закулей, Нукутский округ, Иркутская область, 21.07.2026



Фото 38-22-00017. Овраг № 4 ПН Закулей вблизи с. Закулей, Нукутский округ, Иркутская область, 21.07.2026



Фото 38-22-00019. Активный овраг № 6 ПН Закулей вблизи с. Закулей, Нукутский округ, Иркутская область, 21.07.2026



Фото 38-22-00020. Овраг № 7 ПН Закулей вблизи с. Закулей, Нукутский округ, Иркутская область, 21.07.2026



Фото 38-22-00021. Вершина оврага № 8 ПН Закулей вблизи с. Закулей, Нукутский округ, Иркутская область, 21.07.2026



Фото 38-22-00022. Овраг № 9 ПН Закулей вблизи с. Закулей, Нукутский округ, Иркутская область, 21.07.2026



Фото 38-22-00023. Активный овраг № 10 ПН Закулей вблизи с. Закулей, Нукутский округ, Иркутская область, 21.07.2026



Фото 38-22-00024. Вершина оврага № 11 ПН Закулей вблизи с. Закулей, Нукутский округ, Иркутская область, 21.07.2026



Фото 38-22-00026. Русло оврага №2 ПН Нукуты вблизи с. Нукуты, Нукутский округ, Иркутская область, 21.07.2026



Фото 38-22-00027. Русло активного оврага №3 ПН Нукуты вблизи с. Нукуты, Нукутский округ, Иркутская область, 21.07.2026



Фото 38-11-00002. Оползень №2, побережье залива Сарайский оз. Байкал, Ольхонский район, Иркутская область, 27.07.2026



Фото 38-11-00003. Оползень №3, побережье залива Сарайский оз. Байкал, Ольхонский район, Иркутская область, 27.07.2026



Фото 38-11-00004. Оползень №4 (вид сверху), побережье залива Сарайский оз. Байкал, Ольхонский район, Иркутская область, 27.07.2026



Фото 38-11-00005. Оползень №1, участок от мыса Харанцы до мыса Харалдой оз. Байкал, Ольхонский район, Иркутская область, 27.07.2026



Фото 38-11-00006. Оползень №2, участок от мыса Харанцы до мыса Харалдой оз. Байкал, Ольхонский район, Иркутская область, 27.07.2026



Фото 38-11-00007. Оползень №3, участок от мыса Харанцы до мыса Харалдой оз. Байкал, Ольхонский район, Иркутская область, 27.07.2026



Фото 38-11-00008. Оползень №4, участок от мыса Харанцы до мыса Харалдой оз. Байкал, Ольхонский район, Иркутская область, 27.07.2026



Фото 38-21-00001. Проявление эоловой аккумуляции в д. Харанцы, Ольхонский район, Иркутская область, 28.07.2026



Фото 38-21-00002. Проявление эоловой аккумуляции в д. Харанцы по ул. Намшеевой, Ольхонский район, Иркутская область, 28.07.2026



Фото 38-21-00003. Проявление эоловой аккумуляции в п. Хужир, Ольхонский район, Иркутская область, 28.07.2026



Фото 38-03-00001. Проявление дефляции в п. Хужир, Ольхонский район, Иркутская область, 28.07.2026



Фото 38-21-00004. Проявление эоловой аккумуляции в п. Хужир, район ул. Береговая, 26, 28, Ольхонский район, Иркутская область, 28.07.2026



Фото 38-03-00002. Проявление ветровой дефляции на сельскохозяйственных угодьях в районе д. Ялга, Ольхонский район, Иркутская область, 28.07.2026



Фото 38-21-00005. Аккумулятивный рельеф в районе участков №№6, 8, 8/1 по ул. Прибрежнакя, п. Песчаная, Ольхонский район, Иркутская область, 28.07.2026



Фото 38-13-00001. Подтопленный подвал квартиры № 2 дома по ул. Павлова, 22, УГВ составляет 1,45 м от поверхности, г. Черемхово, Иркутская область, 26.08.2026



Фото 38-13-00002. Смотровой колодец вблизи водоразборной колонки по ул. Сергея Лазо, УГВ составляет 0,65 м от поверхности земли, г. Тулун, Иркутская область, 26.08.2026



Фото 42-10-00005. Обвальный процесс, обрушение уступа в районе ул. Гравийная, 40/1, Рудничный район, г. Кемерово, Кемеровская область-Кузбасс, 12.08.2026



Фото 42-11-00001. Центральная часть надоползневого уступа, наиболее узкая часть коренного склона, юго-западная окраина п. Ерунаково, Новокузнецкий округ, Кемеровская область-Кузбасс, 17.08.2026



Фото 42-11-00003. Вид на правый фланг оползня, с переувлажненным участком, уч. а/дороги Р366 Бийск – Новокузнецк, 186,7-186,8 км, Новокузнецкий округ, Кемеровская область-Кузбасс, 18.08.2026



Фото 42-11-00004. Вид на правый борт оползня (на снимке левая сторона дороги), уч. а/дороги Р366 Бийск – Новокузнецк, 179,13 км, Новокузнецкий округ, Кемеровская область-Кузбасс, 18.08.2026



Фото 42-11-00005. Вид на левый фланг оползня (на снимке правая сторона дороги), уч. а/дороги Р366 Бийск – Новокузнецк, 179,49 км, Новокузнецкий округ, Кемеровская область-Кузбасс, 18.08.2026



Фото 42-11-00007. Вид на вершину с правого фланга оползня (на снимке правая сторона дороги), уч. а/дороги Р366 Бийск – Новокузнецк, 179,85 км, Новокузнецкий округ, Кемеровская область-Кузбасс, 18.08.2026



Фото 42-11-00009. Вид на оползневой уступ с левого фланга, уч. а/дороги Р366 Бийск – Новокузнецк, 186,4 км, Новокузнецкий округ, Кемеровская область-Кузбасс, 18.08.2026



Фото 42-11-00010. Вид на просадку дорожного полотна в результате оползневого процесса, уч. а/дороги Р366 Бийск – Новокузнецк, 186,6 км, Новокузнецкий округ, Кемеровская область-Кузбасс, 18.08.2026



Фото 42-11-00012. Вид на деформацию дорожного полотна уч. а/дороги Р366 Бийск – Новокузнецк, 187 км в результате активизации оползневого процесса, Новокузнецкий округ, Кемеровская область-Кузбасс, 18.08.2026 (на снимке левая сторона дороги)



Фото 42-12-00001. Вид на склон с осыпным конусом, уч. а/дороги Кузедеево – Таштагол, 24-25 км, пгт. Мундыбаш, Таштагольский округ, Кемеровская область-Кузбасс, 18.08.2026



Фото 42-12-00002. Осыпной склон у северо-западного борта, пгт. Темиртау, Таштагольский округ, Кемеровская область-Кузбасс, 18.08.2026



Фото 42-13-00006. Дренажная канава, заросшая растительностью в районе дома по ул. Перспективная, 13, с. Борисово, Крапивинский округ, Кемеровская область-Кузбасс, 10.08.2026



Фото 42-13-00007. Деформация центрального здания больницы, на трещины установлены маячки, пгт. Яя, Яйский округ, Кемеровская область-Кузбасс, 14.08.2026



Фото 42-13-00008. Деформация дома по ул. Сенная, 33, г. Белово, Кемеровская область-Кузбасс, 16.08.2026



Фото 42-13-00009. Деформация дома по ул. Иртышская, 48, г. Новокузнецк, Кемеровская область-Кузбасс, 17.08.2026



Фото 42-13-00010. Дренажная канава по ул. Геологов, 12, г. Междуреченск, Междуреченский округ, Кемеровская область-Кузбасс, 17.08.2026



Фото 42-13-00011. Дренажная канава по ул. Алтайская, 30, г. Мариинск, Мариинский округ, Кемеровская область-Кузбасс, 13.08.2026



Фото 42-11-000013. Вид на разноуровневые оползневые блоки, северная окраина д. Красноярка, Ленинск-Кузнецкий округ, Кемеровская область-Кузбасс, 10.08.2026



Фото 42-22-00004. Вид с вершины оврага, северная окраина д. Красноярка, Ленинск-Кузнецкий округ, Кемеровская область-Кузбасс, 10.08.2026



Фото 42-22-00005. Вид на левый борт оврага, северная окраина д. Красноярка, Ленинск-Кузнецкий округ, Кемеровская область-Кузбасс, 10.08.2026



Фото 54-10-00025. Обвальный процесс уступа высотой 3-6 м, с. Боровое, Новосибирский район, Новосибирская область, 24.08.2026



Фото 54-10-00001. Обвальный процесс при высоте уступа 8-12 м, с. Боровое, Новосибирский район, Новосибирская область, 24.08.2026



Фото 54-22-00072. Овраг № 21, левый борт. с. Боровое, Новосибирский район, Новосибирская область, 24.08.2026



Фото 54-22-00001. Общий вид оврага № 1. с. Боровое, Новосибирский район, Новосибирская область, 24.08.2026



Фото 54-22-00002. Вершина оврага № 2. с. Боровое, Новосибирский район, Новосибирская область, 24.08.2026



Фото 54-22-00003. Общий вид оврага № 3. с. Боровое, Новосибирский район, Новосибирская область, 24.08.2026



Фото 54-22-00005. Вершина оврага № 5. с. Боровое, Новосибирский район, Новосибирская область, 24.08.2026



Фото 54-22-00006. Общий вид оврага № 6. с. Боровое, Новосибирский район, Новосибирская область, 24.08.2026



Фото 54-22-00073. Левый борт, устье оврага № 22. с. Боровое, Новосибирский район, Новосибирская область, 24.08.2026



Фото 54-22-00007. Общий вид оврага № 7. с. Боровое, Новосибирский район, Новосибирская область, 24.08.2026



Фото 54-22-00008.а. Середина правого борта оврага № 8. с. Боровое, Новосибирский район, Новосибирская область, 24.08.2026



Фото 54-22-00009. Левый борт оврага № 9. с. Боровое, Новосибирский район, Новосибирская область, 24.08.2026



Фото 54-22-00074. Общий вид оврага № 23. с. Боровое, Новосибирский район, Новосибирская область, 24.08.2026



Фото 54-22-00075. Общий вид оврага № 24. с. Боровое, Новосибирский район, Новосибирская область, 24.08.2026



Фото 54-22-00076. Общий вид оврага № 25. с. Боровое, Новосибирский район, Новосибирская область, 24.08.2026



Фото 54-22-00077. Общий вид оврага № 26. с. Боровое, Новосибирский район, Новосибирская область, 24.08.2026



Фото 54-22-00078. Общий вид оврага № 27. с. Боровое, Новосибирский район, Новосибирская область, 24.08.2026



Фото 54-22-00079. Вершина оврага № 28. с. Боровое, Новосибирский район, Новосибирская область, 24.08.2026



Фото 54-22-00080. Правый борт оврага № 29. с. Боровое, Новосибирский район, Новосибирская область, 24.08.2026



Фото 54-22-00025. Вершина оврага № 30. с. Боровое, Новосибирский район, Новосибирская область, 24.08.2026



Фото 55-22-00001. Овраг № 2-1 на ПН Нижнеомский, в 0,2 км северо-западнее д. Игнатьево, муниципальный округ Кормиловский район, Омская область, 14.08.2026



Фото 55-22-00006. Овраг № 2-9 на ПН Нижнеомский, в 1,6 км северо-западнее пгт. Кормиловка, муниципальный округ Кормиловский район, Омская область, 11.08.2026



Фото 55-22-00010. Правая вершина оврага № 2-19 на ПН Нижнеомский, в 1 км западнее с. Глуховка, муниципальный округ Калачинский район, Омская область, 12.08.2026



Фото 55-22-00011. Вершина левого отвершка 1 оврага № 2-20 на ПН Нижнеомский, в 0,8 км северо-западнее пгт. Кормиловка, муниципальный округ Кормиловский район, Омская область, 12.08.2026



Фото 55-22-00014. Овраг № 2-24 на ПН Нижнеомский, в 1 км юго-западнее д. Сыропятская, муниципальный округ Кормиловский район, Омская область, 14.08.2026



Фото 55-22-00023. Вершина оврага № 1-7 на ПН Черлакский, в 2,7 км юго-восточнее д. Бердниково, Черлакский муниципальный район, Омская область, 23.06.2026



Фото 55-22-00025. Правый отвершек 1 вершины 1 оврага № 1-11 на ПН Черлакский, в 0,4 км юго-восточнее с. Татарка, Черлакский муниципальный район, Омская область, 25.06.2026



Фото 55-22-00029. Овраг № 1-20 на ПН Черлакский, в 4 км восточнее д. Покрово-Иртышское, Омский муниципальный район, Омская область, 23.06.2026



Фото 55-22-00032. Правый отвершек оврага № 1-24 на ПН Черлакский, в 1 км северо-западнее с. Елизаветинка, Черлакский муниципальный район, Омская область, 24.06.2026



Фото 55-22-00033. Вершина 3 оврага № 1-25 на ПН Черлакский, в 1 км северо-западнее с. Елизаветинка, Черлакский муниципальный район, Омская область, 24.06.2026



Фото 55-22-00035. Левая вершина оврага № 1-27 на ПН Черлакский, в 1,8 км юго-восточнее пгт. Черлак, Черлакский муниципальный район, Омская область, 25.06.2026



Фото 55-22-00048. Вершина оврага № 5-1 на ПН Калининский, в 10 км северо-восточнее с. Калинино, Русско-Полянский муниципальный район, Омская область, 30.07.2026



Фото 55-22-00051. Вершина оврага № 5-5 на ПН Калининский, в 10,6 км северо-восточнее с. Калинино, Русско-Полянский муниципальный район, Омская область, 30.07.2026



Фото 55-22-00052. Овраг № 8-1 на ПН оз. Эбейты, в 3,9 км западнее аула Кзыл-Агаш, муниципальный округ Москаленский район, Омская область, 09.07.2026



Фото 55-22-00054. Вершина оврага № 8-3 на ПН оз. Эбейты, в 2,3 км юго-западнее аула Тумба, муниципальный округ Москаленский район, муниципальный округ Исилькульский район, Омская область, 09.07.2026



Фото 70-11-00041. Оползневой склон в районе гаражного комплекса, ПН мкр. Солнечный, г. Томск, Томская область, 17.09.2026



Фото 70-10-00003. Проявление обвального процесса в с. Кривошеино, Кривошеинский район, Томская область, 16.07.2026



Фото 70-10-00001. Проявление обвального процесса в районе бывшей ул. Ватутина в г. Колпашево, Колпашевский район, Томская область, 18.07.2026



Фото 70-13-00004. Дренажная канава у дома по ул. Мира, 16, с. Кожевниково, Кожевниковский район, Томская область, 19.07.2026



Фото 70-11-00001. Оползневой склон в районе оползневого цирка № 1, Лагерный сад, г. Томск, Томская область, 16.09.2026



Фото 70-11-00014. Проявление оползневого процесса в районе оползня скольжения № 15а, Лагерный сад, г. Томск, Томская область, 16.09.2026